

وزارت جهاد کشاورزی
سازمان تحقیقات، آموزش و ترویج کشاورزی
موسسه تحقیقات علوم شیلاتی کشور - پژوهشکده آبزی پروری جنوب کشور

عنوان :
بررسی فاکتورهای ایمنی
(THS, TPP, PO, SOD, POD)
میگوهای تغذیه شده با جلبک گراسیلاریا کورتیکاتا
در مقایسه با میگوهای تغذیه شده
بدون جلبک و مواجهه شده
با ویروس لکه سفید

مجری:
حسین هوشمند

شماره ثبت
۵۱۷۳۹

وزارت جهاد کشاورزی
سازمان تحقیقات، آموزش و ترویج کشاورزی
موسسه تحقیقات علوم شیلاتی کشور- پژوهشکده آبزی پروری جنوب کشور

عنوان طرح /پروژه : بررسی فاکتورهای ایمنی (THS,TPP,PO,SOD,POD) میگوهای تغذیه شده با جلبک گراسیلاریا کورتیکاتا در مقایسه با میگوهای تغذیه شده بدون جلبک و مواجهه شده با ویروس لکه سفید کد مصوب: ۹۴۰۱-۹۴۵۱-۱۲-۷۴

نام و نام خانوادگی نگارنده/ نگارنده گان : حسین هوشمند

نام و نام خانوادگی مجری مسئول (اختصاص به پروژه ها و طرحهای ملی و مشترک دارد) :

نام و نام خانوادگی مجری / مجریان : حسین هوشمند

نام و نام خانوادگی همکار(ان) : مینا آهنگرزاده، سیدرضا سیدمortsazai، محمد افشارنسب، لفته محسنی نژاد، مهرداد محمدی دوست، رضا بنادرخshan

نام و نام خانوادگی مشاور(ان) : -

نام و نام خانوادگی ناظر(ان) : -

محل اجرا : استان خوزستان

تاریخ شروع: ۹۴/۱/۱:

مدت اجرا : ۱ سال و ۴ ماه

ناشر : موسسه تحقیقات علوم شیلاتی کشور

تاریخ انتشار : سال ۱۳۹۶

حق چاپ برای مؤلف محفوظ است . نقل مطالب ، تصاویر ، جداول ، منحنی ها و نمودارها با ذکر مأخذ بلامانع است .

«سوابق طرح یا پروژه و مجری مسئول / مجری»

طرح/پروژه: بررسی فاکتورهای ایمنی (THS,TPP,PO,SOD,POD)
میگوهای تغذیه شده با جلبک گراسیلاریا کورتیکاتا در مقایسه با
میگوهای تغذیه شده بدون جلبک و مواجهه شده با ویروس لکه
سفید

کد مصوب : ۱۴-۷۴-۱۲-۹۴۵۱-۹۴۰۰۱

شماره ثبت (فروست) : ۵۱۷۳۹ تاریخ : ۹۶/۳/۱۰

با مسئولیت اجرایی جناب آقای حسین هوشمند دارای مدرک تحصیلی دکتری تخصصی در رشته بهداشت آبزیان می باشد.

پروژه توسط داوران منتخب بخش بهداشت و بیماری های آبزیان در تاریخ ۹۶/۲/۶ مورد ارزیابی و با رتبه عالی تأیید گردید. در زمان

اجرای پروژه، مجری در :

ستاد ایستگاه مرکز پژوهشکده

با سمت رئیس بخش بهداشت و بیماری های آبزیان در پژوهشکده آبزی پروری جنوب کشور مشغول بوده است.

عنوان	«فهرست مندرجات»	صفحه
چکیده.....		۱
۱- مقدمه		۲
۳-۱- بیماری لکه سفید		۳
۳-۱-۲- مورفوژنز <i>Morphogenesis</i> ویروس لکه سفید		۳
۴-۱- علایم بالینی و آسیب شناسی بیماری لکه سفید		۴
۵-۱- بیماری زایی لکه سفید		۵
۶-۱- ورود ویروس به سلول		۶
۹-۱- دفاع ضدویروسی		۹
۱۱-۱- پاسخ شبه ایمنی		۱۱
۱۱-۱-۸- مکانیسم‌های گریز ویروسها از سیستم دفاعی میزان		۱۱
۱۳-۱-۹- ایمنی ضدویروسی		۱۳
۱۵-۱-۱۰- راهکارهای کنترل و کاهش تلفات ناشی از بیماری لکه سفید		۱۵
۱۷-۱-۱۱- جلبک <i>Gracilaria corticata</i>		۱۷
۲۱-۲- مواد و روشها		۲۱
۲۱-۲-۱- مکان و زمان آزمایش		۲۱
۲۱-۲-۲- تهیه میگوهای پاسفید غربی مورد نیاز آزمایش و مرحله سازگاری		۲۱
۲۱-۲-۳- تهیه جیره غذایی حاوی عصاره جلبک		۲۱
۲۲-۲-۴- بررسی و تغذیه میگوهای مورد آزمایش		۲۲
۲۳-۲-۵- تهیه و تعیین عیار ویروس لکه سفید		۲۳
۲۵-۲-۶- تیماربندی آزمایش مواجهه سازی		۲۵
۲۵-۲-۷- روش و محلول‌های مورداستفاده در نمونهبرداری		۲۵
۲۶-۲-۸- شمارش هموسیت ها (THC)		۲۶
۲۶-۲-۹- روش استفاده از کیت تجاری Peroxidase Activity Assay Kit		۲۶
۲۹-۲-۱۰- اندازه گیری SOD		۲۹
۲۹-۲-۱۱- اندازه گیری فل اکسیداز PO		۲۹
۲۹-۲-۱۲- اندازه گیری پروتئین پلاسمای کل TPP		۲۹

عنوان	«فهرست مندرجات»	صفحه
-------	-----------------	------

۱۳-۲- تجزیه و تحلیل آماری	۳۰	
۳- نتایج	۳۱	
۱- ۳- نتایج PCR	۳۱	
۲- ۳- نتایج حاصل از تأثیر خوراکی جلبک گراسیلاریا کورتیکاتا بر مقاومت میگوهای پاسفید	۳۱	
۴- بحث و نتیجه گیری	۳۹	
پیشنهادها	۴۵	
منابع	۴۷	
چکیده انگلیسی	۵۴	

چکیده

بیماری لکه سفید یکی از مهلک ترین بیماری های ویروسی میگو است که موجب تلفات سنگینی در کلیه میگوهای خانواده پنائیده می شود. اکثر بی مهر گان قادر سیستم اینمی اکتسابی می باشند و دفاع آنها ناشی از سیستم اینمی ذاتی است که به صورت سلولار و همورال می باشد ولی وجود یک سیستم شبه اینمی علیه ویروس لکه سفید در میگو تشخیص داده شده است. در این تحقیق کنترل و پیشگیری از بیماری لکه سفید میگو با استفاده از جلبک گراسیلاریا کورتیکاتا (*Gracilaria corticata*), بررسی و مورد مطالعه قرار گرفت.

تعداد ۳۰۰ قطعه میگوی پیش مولد و انامی در ۴ تیمار با عصاره جلبک و بدون عصاره به مدت ۱۴ روز تغذیه شدند و در پایان روز چهاردهم نیمی از میگوها با ویروس لکه سفید مواجهه داده شدند. پس از روز چهاردهم طی روزهای ۰، ۳، ۹، ۱۸ و ۲۵ از همولنف میگوهای زنده مانده نمونه گیری و میزان بازماندگی و فاکتورهای اینمی میگوها بررسی گردید.

بر اساس نتایج میگوهای تغذیه شده با عصاره جلبک در مواجهه با ویروس لکه سفید در مقایسه با میگوهای تغذیه شده با غذای تجاری بدون عصاره در مواجهه با ویروس به طور معنی داری ($P < 0.05$) از بقا بیشتری برخوردار بودند ($b/5 \pm 0.05$). افزایش فاکتورهای اینمی در روزهای آزمایش از روز اول تا روز ۲۵ مشاهده و بیشترین میزان فاکتورهای اینمی THC، TPP، SOD، POD و PO در تیمار T1 در روز ۲۵ آزمایش مشاهده شد. این وضعیت برای تیمار T2 نیز صادق بوده ولی میزان آن به نسبت تیمار T1 کمتر و با هم اختلاف معنی دار داشتند ($P < 0.05$). برای تیمارهای T3 و T4 نیز افزایش معنی دار فاکتورهای اینمی در روزهای آزمایش دیده شده و اختلاف معنی دار ($P < 0.05$) وجود داشت و بیشترین میزان در روز ۲۵ مشاهده می شود.

با توجه به سازو کار جلبک در تحریک سیستم اینمی و یا محافظت میگو در برابر ویروس لکه سفید به نظر می رسد با ایستی در طول دوره پرورش از مکمل جلبک در جیره غذایی استفاده نمود چرا که با توجه به مکانیسم پوشانندگی گیرنده ها توسط جلبک کم شدن ترکیبات جلبک خطر ورود ویروس به سلول های میگو و بروز بیماری را محتمل خواهد ساخت.

۱- مقدمه

بروز بیماری‌های میگو بالاخص بیماری‌های ویروسی از مهم‌ترین عوامل محدود کننده فعالیت‌های تکثیر و پرورش میگو در جهان می‌باشد. بیماری ویروسی لکه سفید یکی از مهلک‌ترین این بیماری‌ها است که موجب تلفات سنگینی در کلیه میگوهای خانواده پنائیده (Penaeidae) می‌شود.

اولین گزارش از وجود این بیماری و تلفات بسیار بالای آن در مزارع میگو در سال ۱۹۹۲ از استان‌های فوزان و گوانگجو چین به عمل آمده است (Witteveldt, ۲۰۰۶). پس از آن به تدریج بیماری در اکثر مناطق دنیا گسترش پیدا کرد. در ایران این بیماری اولین بار در سال ۱۳۸۱ در منطقه چوبنده آبادان و سپس در سال ۱۳۸۴ در استان بوشهر در اغلب استخراها و مزارع مشاهده شد و باعث خسارت زیادی به پرورش دهنده‌گان گردید. پس از آن نیز طی سال‌های بعد بیماری به طور پراکنده بروز کرد و باعث ضرر و زیان شدید به پرورش دهنده‌گان گردید (افشارنسب و همکاران، ۱۳۸۵ و ۱۳۸۸؛ سالنامه آماری شیلات ایران، ۱۳۸۷). در ابتدا تصور می‌شد که عوامل ویروسی مختلفی همزمان در نواحی متفاوت بروز کرده و به هر بیماری یک نام خاص دادند: باکیلوویروس نکروز دهنده بافت خونساز و زیرجلدی (Durand و همکاران، ۱۹۹۶)، سومین باکیلوویروس غیر محدود میگوی مونودون (Wang و همکاران، ۱۹۹۵ و ۱۹۹۶) و همکاران، ۱۹۹۷ و Karunasa gar و همکاران، ۱۹۹۷، ویروس میله‌ای شکل هسته میگوی ژاپنی (Inouye و همکاران، ۱۹۹۴ و ۱۹۹۶)، DNA ویروس میله‌ای شکل پنائیده (Venegas و همکاران، ۱۹۹۵؛ Sahul-Hameed و همکاران، ۱۹۹۸) یا باکیلوویروس لکه سفید (Chou و همکاران، ۱۹۹۸؛ Lightner, ۱۹۹۶).

بعداً مشخص شد که یک عامل ویروسی مسئول این گزارش هاست است و سرانجام بر اساس یک موافقت غیر رسمی ویروس با نام ویروس سندرم لکه سفید (WSSV) نامگذاری شد. این عامل بیماری زا هم اکنون به عنوان یک عامل مهم بیماری زای میگو در سراسر جهان شناخته می‌شود. گزارشات مربوط به تلفات مزارع میگو در جدول آمده است.

جدول ۱- ۱- کشورها و تاریخ وقوع بیماری لکه سفید

Year first reported	Country	Reference
1992	Taiwan	Chou <i>et al.</i> 1995
1993	China, Japan, Korea	Zhan <i>et al.</i> 1998; Inouye <i>et al.</i> 1994; Park <i>et al.</i> 1998
1994	Thailand, India, Bangladesh	Lo <i>et al.</i> 1996a; Karunasagar <i>et al.</i> 1997; Mazid & Banu 2002
1995	USA	Lightner 1996; Wang <i>et al.</i> 1999a
1996	Indonesia, Malaysia, Sri Lanka	Durand <i>et al.</i> 1996; Kasornchandra <i>et al.</i> 1998; Rajan <i>et al.</i> 2000
1997	Vietnam	Bondad-Reantaso <i>et al.</i> 2001
1998	Peru	Rosenberry 2001
1999	Philippines, Ecuador, Colombia, Panamá, Honduras, Nicaragua, Guatemala, Belice	Magbanua <i>et al.</i> 2000; Bondad-Reantaso <i>et al.</i> 2001; Hossain <i>et al.</i> 2001; Wu <i>et al.</i> 2001
1999-2000	México	Bondad-Reantaso <i>et al.</i> 2001
2002	France, Iran	Dieu <i>et al.</i> 2004; Marks 2005
2005	Brazil	APHIS-USDA 2005

در چین خسارات تولید ۸۰٪ میگوی پرورشی مربوط به بیماری لکه سفید بود (Zhan و همکاران، ۱۹۹۸) و در اکوادور اثر ویروس لکه سفید بر مزارع پرورش میگو فاجعه آمیز بود (FAO، ۲۰۰۶). گسترش ویروس لکه سفید به دیگر کشورهای پرورش دهنده میگو توسعه آبزی پروری میگو را تهدید می کند (Claydon و همکاران، ۲۰۰۴). در ایران نیز طی سالهای ۱۳۸۱ و ۱۳۸۳ در استان خوزستان و سال ۱۳۸۴ در استان بوشهر بعنوان قطب تولید میگوی کشور اغلب استخراها و مزارع آلوده و در حدود ۱۰ میلیارد تومان خسارت به پرورش دهنده‌گان وارد گردید (افشارنسب و همکاران، ۱۳۸۵؛ آمار نامه شیلات ایران ۱۳۸۴).

۱-۱- بیماری لکه سفید

ویروس لکه سفید عامل مسبب بیماری با انتشار جهانی همراه با تلفات بالا در میگوهای پرورشی است (Inouye و همکاران، ۱۹۹۳). این ویروس باعث تلفاتی تا ۱۰۰٪ در بین ۱۰ روز بروز بیماری در مزارع پرورش میگو شده و خسارات عظیمی را به صنعت پرورش میگو وارد کرد (Lightner، ۱۹۹۶). خسارات اقتصادی وارد شده در آسیا تقریباً ۴-۶ میلیارد دلار و بیش از یک میلیارد دلار در آمریکا طی سالهای ۱۹۹۲ تا ۲۰۰۱ برآورد شد (Lightner، ۲۰۰۳) و در حال حاضر این بیماری گستردگی جهانی دارد (Rout و همکاران، ۲۰۰۷). راهبردهای مرسوم کنترل بیماری از قبیل بهبود شرایط محیطی، ذخیره‌سازی پست لاروهای عاری از بیماری و افزایش مقاومت به بیماری با استفاده از حرکت‌های اینمی خوراکی در عفونت‌های لکه سفید به کار گرفته شده است (Lightner، ۲۰۰۳؛ Citarasu و همکاران، ۲۰۰۶). اگرچه که واگیری خیلی بالای ویروس و محدوده گستره میزانی آن شامل بسیاری از سخت پوستان، کنترل انتقال و پیشگیری از بیماری را مشکل ساخته است (Lo و همکاران، ۱۹۹۶؛ Chang و همکاران، ۱۹۹۷؛ Flegel و همکاران، ۱۹۹۸). با توجه به اهمیت اقتصادی و اجتماعی جهانی پرورش میگو، توسعه اقدامات کنترلی جدید در برابر وقوع بیماری لکه سفید به امری اجتناب ناپذیر بدل گشته است.

۱-۲- مورفوژنز Morphogenesis ویروس لکه سفید

مراحل مختلف Morphogenesis ویروس شناخته شده است و به طور مستقیم به توسعه ضایعات سلولی مرتبط است (Durand و همکاران، ۱۹۹۷؛ Tsai و همکاران، ۲۰۰۶؛ Wang و همکاران، ۱۹۹۹).

مرحله ۱: مرحله اولیه عفونت سلول. سلول‌های عفونی هسته‌هایی با علامت هیپرتروفی خفیف را نشان می‌دهند. نوکلئوزوم‌های ویروسی قبل از تشکیل ذرات ویروسی ظاهر می‌شوند. پروتئین‌های ویروسی ساخته شده و در قطعات فیبریلار (fibrillar) سازمان می‌یابند. در سیتوپلاسم شبکه اندوپلاسمی متسع شده و حاوی ریبوزوم‌های آزاد فراوانی است.

مرحله ۲: در هسته مواد فیبریلار باعث تشکیل غشاهای حلقوی می‌شوند که به زودی با مواد هسته‌ای ویروس پر می‌شوند و این شروع مراحل مونتاژ و سرهم شدن ویروس است. در این مرحله گنجیدگی‌های نوع A-Cowdry-A

ظاهر می‌شوند که به صورت یک ناحیه مات بین بافت ویروس و کروماتین متراکم به حاشیه رانده شده دیده می‌شود. هسته سلول در این مرحله هیپرتروفیک (hypertrophic) و گرد می‌شود.

مرحله ۳: در هسته سلول آلدود، نوکلئوکپسیدها (nucleocapsid) ظاهر می‌شوند و متراکم پایینی دارند و به تدریج از یک انتهای سمت دیگر رشد می‌کنند. گنجیدگی‌های درون سلولی مرکزی پدیدار شده کوچکتر از مرحله دوم هستند و به دلیل وجود ذرات ویروسی فراوان بسیار متراکم‌تر می‌باشند. زمانی که کرماتین به حاشیه رانده شده ناپدید شد، غشاء هسته سلول ترکیده و ناحیه شفاف با سیتوپلاسم با یکدیگر جوش می‌خورند. بیشتر اندامک‌های غیرطبیعی از هم پاشیده یا تشکیل ساختارهای غشایی را می‌دهند.

مرحله ۴: در هسته، نوکلئوکپسیدها کامل شده‌اند. هر نوکلئوکپسید یک انتهای گرد و یک انتهای مربع شکل دارد. نوکلئوکپسیدها به طور کامل با غشاء پوشانده می‌شوند.

مرحله ۵: ذرات ویروسی شکل بیضی به خود می‌گیرند و بیرون زدگی دم شکل حاصل از غشاء مشاهده می‌شود. مواد داخلی زائد دم مانند از نوکلئوکپسید مجزا هستند. سپس نوکلئوکپسیدها کوتاه‌تر، ضخیم‌تر و متراکم‌تر می‌شوند.

مرحله ۶: مرحله آخر Morphogenesis ویریون‌های بالغ بیضی شکل با غشاء صاف احاطه می‌شوند. برخی اوقات سرهم شدن نوکلئوکپسیدها به طور کامل جدای از غشاء صورت گرفته و درنهایت با غشاء پوشانده می‌شوند. در این مرحله سلول‌های آلدود شدیداً آسیب دیده و می‌ترکند. فضاهای خالی به دلیل سلول‌های متلاشی شده در بافت قابل مشاهده است.

۱-۳- علایم بالینی و آسیب شناسی لکه سفید

در شرایط پرورشی، بسیاری از میگوهای خانواده پنائیده آسیایی و آمریکایی آلدود به ویروس نقاط سفید واضحی با قطر ۰/۵ تا ۳ میلی‌متر را در اسکلت خارجی نشان می‌دهند (Kasornchandra و همکاران، ۱۹۹۸؛ Lo و همکاران، ۱۹۹۶a؛ Wu و همکاران، ۲۰۰۱). مکانیسم واقعی تشکیل لکه‌های سفید ناشناخته است. ممکن است که عفونت لکه سفید سبب نقص عملکردی تگومنت (Tegument) شود که در نتیجه تجمع نمک‌های کلسیم در کوتیکول رخ می‌دهد و لکه‌های سفید ظاهر می‌شوند (Wang و همکاران، ۱۹۹۹a). علایم دیگر شامل قرمزی بدن و ضمائم به دلیل گسترش کروماتوفورها (Lightner و همکاران، ۱۹۹۸؛ Nadala و همکاران، ۱۹۹۸)، کاهش غذا خوردن (Durand و همکاران، ۱۹۹۶؛ Flegel، ۱۹۹۷)، کاهش تمیز کزدن آبشش‌ها و پاسخ به محرك‌ها (Wongteerasupaya و همکاران، ۱۹۹۵)، کوتیکول نرم (Lo و همکاران، ۱۹۹۶b؛ Wongteerasupaya و همکاران، ۱۹۹۵)، تورم زوائد برانشیواستگال (Branchiostegal Sahul-) به دلیل تجمع مایع (Otta و همکاران، ۱۹۹۹)، تورم و بی‌رنگ شدن هپاتوپانکراس (Hameed و همکاران، ۱۹۹۸) و همولنف رقیق و تأخیر در لخته شدن می‌باشد (Kiatpathomchai و همکاران، ۱۹۹۸).

در سطح مزارع، میگوهای بیمار کناره استخرها تجمع کرده و ۱-۲ روز قبل از تلفات علایم بیماری را نشان می دهند (Kou و همکاران، ۱۹۹۸). تلفات تجمعی ممکن است ظرف مدت ۱۰ روز به ۱۰۰ درصد برسد (Karunasagar و همکاران، ۱۹۹۷). در استخرهای پرورشی، میگوهای جوان در هر سن و اندازه ای به بیماری حساس هستند اما تلفات سنگین ۱-۲ ماه پس از ذخیره سازی بروز می کند (Kasornchandra و همکاران، ۱۹۹۸). در هیستوپاتولوژی عفونت لکه سفید با سلول هایی با هسته های هیپرتروفی شده مشخص می شوند و گنجیدگی هایی داخل هسته ای و کروماتین به حاشیه رانده شده دیده می شود (Durand و همکاران، ۱۹۹۷؛ Wang و همکاران، ۲۰۰۰). این گنجیدگی های داخل هسته ای به طور محسوسی مشخص بوده و بزرگتر از گنجیدگی های پدید آمده در بیماری IHHNV هستند (Wongteerasupaya و همکاران، ۱۹۹۵). هسته های آلوده بازو فیلی و متسع می شوند (Durand و همکاران، ۱۹۹۶ و ۱۹۹۷؛ Flegel و همکاران، ۱۹۹۶؛ Lo و همکاران، ۱۹۹۷؛ Otta و همکاران، ۱۹۹۹). ممکن است در مراحل پایانی عفونت شکسته شدن هسته و پارگی سلول رخ بدهد که منجر به تشکیل نقاط نکروزهای می شود که مشخصه ان واکوئله شدن بافت است (Wang و همکاران، ۱۹۹۹a).

۴-۱- بیماری زایی لکه سفید

روش های تجربی تلقیح ویروس لکه سفید که راه های طبیعی ورود ویروس را شبیه سازی می کند توسعه یافته است. روش های تلقیح شامل: انتقال از طریق آب، به واسطه غوطه وری میگوها در آب حاوی سوسپانسیون ویروسی (Chou و همکاران، ۱۹۹۸) و تغذیه با بافت های آلوده به ویروس برای یک مرتبه در روز به مدت تا ۷ روز می باشد (Chang و همکاران، ۱۹۹۸؛ Lightner و همکاران، ۱۹۹۸؛ Wang و همکاران، ۱۹۹۸b).

روش دوم بیشتر مورد توجه می باشد زیرا مهم ترین روش انتقال ویروس در شرایط طبیعی پرورش می باشد (Chou و همکاران، ۱۹۹۸؛ Lotz و Soto، ۲۰۰۲؛ Wu و همکاران، ۲۰۰۱).

راه های ورود ویروس لکه سفید به بدن میگو به طور مشخص شناسایی نشده است. بر اساس اطلاعات به دست آمده از آزمایشات خوراکی، مکان های اولیه تکثیر ویروس در میگوهای جوان ببری سیاه سلول های اپی تلیال زیر کوتیکولی معده و سلول های آبشش، تنگومنت و بافت همبند هپاتوپانکراس می باشد (Chang و همکاران، ۱۹۹۶). در مطالعه دیگری در میگوی ژاپنی نشان داده شد که سلول های روده میانی ممکن است مکان انتقال ویروس های تکثیر شده باشد که از غشاء پایه عبور می کند (Di Leonardo و همکاران، ۲۰۰۵). در میگوی ببری سیاه چالش با ویروس به روش غوطه وری نشان داد که مهاجرت هموسیت ها به سمت آبشش و روده میانی باعث منفی شدن این بافت ها از ویروس در مراحل پایانی عفونت می شود (۴۸-۷۲ ساعت پس از تلقیح ویروس). بسیاری از سلول های آبشش و تعداد کمی از سلول های اپی تلیوم روده میانی از لحظه آلودگی به ویروس مثبت هستند. مطالعات با میکروسکوپ الکترونی نشان داد که در مراحل اولیه عفونت (۸ ساعت پس از تلقیح ویروس)

VP28 در سلول‌های اپی‌تیال روده میانی مشاهده گردید که نشانه لیز (Lysis) (شدن ذرات ویروسی می‌باشد). هسته‌های حاوی VP28 هرگز در اپی‌تیال روده میانی مشاهده نمی‌شوند (Arts و همکاران، ۲۰۰۷).

در یک مطالعه مواجهه سازی به روش خوراکی نشان داد که بافت‌های اولیه تکثیر ویروس سلول‌های اپی‌تیال روده قدامی، سلول‌های آبشش‌ها و در میزان بالای ویروس (SID50 ۱۰۰۰۰)، سلول‌های غدد آنتنی نیز هستند (Escobedo-Bonilla و همکاران، ۲۰۰۷).

مکانیسم انتشار ویروس از بافت‌های اولیه به سایر بافت‌ها قابل بحث است. در بعضی پژوهش‌ها هموسیت‌های خرچنگ دراز آب شیرین به عنوان منتقل کننده ویروس در بدن شناخته شده‌اند (Di Leonardo و همکاران، ۲۰۰۵). در مطالعات دیگری هموسیت‌های در گردش در میگوی آب شیرین و میگو به عفونت لکه سفید مقاوم بودند، بنابراین احتمالاً ویروس لکه سفید از طریق همولف در گردش به صورت سلول‌های آزاد به اندام‌های هدف می‌رسد و ممکن است که این مکانیسم‌ها وابستگی میزبانی داشته باشند (Escobedo-Bonilla و همکاران، ۲۰۰۷).

سلول‌های اندام‌های هدف ویروس لکه سفید عبارتند از اندام‌های با منشاء اکتودرم و مزودرم که شامل: اپی‌درم، آبشش‌ها، روده قدامی، روده خلفی، غدد آنتنی، ارگان لنفوئیدی، عضلات، پایه چشم، قلب، گنادها، سلول‌های بافت خونساز و سلول‌های مرتبط با بافت عصبی می‌باشند (Chang و همکاران، ۱۹۹۶ و ۱۹۹۸؛ Durand و همکاران، ۱۹۹۶؛ Kou و همکاران، ۱۹۹۸؛ Lo و همکاران، ۱۹۹۷؛ Wang و همکاران، ۱۹۹۹b و Wongteerasupaya و همکاران، ۱۹۹۵). سلول‌های اپی‌تیال اندام‌های آندودرومی از قبیل هپاتوپانکراس، سکوم قدامی و خلفی روده میانی و مجرای روده میانی به ویروس لکه سفید مقاوم هستند (Sahul-Hameed و همکاران، ۱۹۹۸). در مراحل پایانی عفونت سلول‌های اپی‌تلیوم معده، آبشش‌ها و پوسته به شدت آسیب می‌بینند که این حالت ممکن است به نقص عملکردی چندین اندام منجر شده و درنهایت سبب مرگ شود (Chang و همکاران، ۱۹۹۶؛ Wang و همکاران، ۱۹۹۹a).

مولکول‌هایی با عملکرد مهم بیولوژیکی که در پاسخ به عفونت ویروس لکه سفید متغیرند عبارتند از آن‌هایی که در تولید انرژی، سنتز اسید نوکلئیک، هموستاز کلسیم و یا ارتباطات سلولی دخیل هستند. بسیاری از این قبیل مولکول‌ها ممکن است به عنوان نشانگرهای بیولوژیکی مفید باشند و احتمالاً برای تعیین اندام‌های هدف و کنترل تکثیر ویروس مناسب باشند (Wang و همکاران، ۲۰۰۷).

۱-۵- ورود ویروس به سلول

راه‌های ورود ویروس‌ها به داخل سلول‌ها بر پایه ساختمان آن‌ها مورد مطالعه قرار گرفته است. بر اساس ساختار ساختمانی ویروس‌ها، آن‌ها به دودسته مهم پوشش‌دار و بدون پوشش تقسیم می‌شوند. ویروس‌های پوشش‌دار دارای ژنوم ویروسی و پروتئین‌های هسته مرکزی می‌باشند که درون یک یا دو غشاء پیچیده شده‌اند. این غشاء‌ها

از سلول‌های میزبان در زمان ساخته شدن و تکثیر آن‌ها به دست آمده‌اند. برای ایجاد عفونت و بیماری‌زایی، ویروس ابتدا باید خود را به تعدادی سلول‌های میزبان چسبانده و نوکلئیک اسید خود را به درون سلول‌های میزبان رها نماید. تعداد زیادی از ویروس‌های DNA می‌تواند وارد هسته سلول‌ها شوند، در حالی که ویروس‌های RNA با تعدادی استثناء در ماده سیتوپلاسمی یا سیتوزول تکثیر می‌یابند. مولکول‌هایی که ویروس‌ها به آن‌ها می‌چسبند شامل یک مجموعه‌ای مختلف از سلول‌های پروتئین، کربوهیدرات یا چربی می‌باشد. تعدادی از این سلول‌ها فقط نقش گیرنده ویروس در سطح سلول را دارند؛ اما بقیه آن‌ها ممکن است علاوه بر این وظیفه که موجب اتصال ویروس‌ها می‌شوند، مسئول هدایت ویروس‌های متصل شده به داخل سلول‌ها و انتقال پیام‌هایی به داخل سیتوپلاسم نیز باشد. همچنین گیرنده‌ها می‌توانند به عنوان پشتیبان، ویروس‌ها را راهنمایی نموده تا موجب تأیید تغییرات سلولی و اجازه دادن به سلول‌ها به منظور چسبیدن ویروس‌ها و نفوذ در آن‌ها باشد. شناسایی و توزیع فاکتورهای گیرنده در سطح سلول‌ها به نوع سلول‌ها، بافت‌ها و نوع ارگانیزم‌هایی که می‌توانند موجب ایجاد عفونت نمایند بستگی دارد.

تعدادی از ویروس‌ها از فاکتورهای چندگانه چسبیدن به سلول‌ها و گیرنده‌ها به طور موازی استفاده می‌نمایند. واکنش‌های بین کربوهیدرات‌ها و پروتئین‌ها نقش اساسی و مهمی در تهاجم ویروس‌ها به سلول‌ها بازی می‌کنند. تعدادی از ویروس‌ها به طور اختصاصی به گروه اسیدهای سیالیک می‌چسبند، در حالی که برخی دیگر به گلوکز آمینوگلایسیس یا گلیکولیپیدها متصل می‌شوند. در تعدادی از سیستم‌ها لکتین‌ها در سطح سلول قرار گرفته و رشته‌های کربوهیدراتی در سطح ویروس قرار دارند. ویروس‌های پوشش‌دار شبیه *Myxovirus* ها یا *Paramyxovirus* می‌توانند به سیالیک اسید که دارای گلیکوپروتئین با فعالیت neuramidinase می‌باشند متصل شوند. این پروتئین‌ها معمولاً دارای فعالیت چندگانه بوده که می‌توانند فعالیت‌های دیگری از قبیل فاکتورهای اتصالی به غشاء یا آنزیم‌های تخریب‌کننده گیرنده‌ها را نیز پشتیبانی کنند.

برخلاف ویروس‌های پوشش‌دار، ویروس‌های بدون پوشش شبیه *rotavirus* ها قادر غشاء می‌باشند و این دسته از ویروس‌ها به روش‌هایی غیر از اتصال به سلول و ورود به آن تکیه کرده و از روش‌هایی شبیه تجزیه کردن غشاء یا ایجاد یک سوراخ در غشاء استفاده نمایند. تعداد زیادی از ویروس‌ها به روش endocytic قادر به نفوذ در سلول‌ها و ایجاد عفونت می‌باشند. (Namikoshi و همکاران، ۲۰۰۴).

ویروس‌هایی که از روش اندوسیتوز استفاده می‌کنند از طریق روش‌های مختلف از جمله وزیکول‌های clathrin-coated، فاگوسیتوز، ماکروپینوسیتوزیس و ایجاد حفره برای ورود به سلول استفاده می‌کنند. در این روش ویروس‌ها به داخل سیتوپلاسم سلول‌های میزبان وارد می‌شوند. بر اساس نوع ویروس، ذرات ویروسی را می‌توان در قسمت‌های مختلف سلول میزبان اعم از اندام‌های داخلي، ليزوэм، شبکه آندوبلاسمیک و در پاره‌ای موقع در دستگاه گلزار مشاهده نمود.

وجود pH ملایم در اندام‌های داخلی سلول تأمین کننده شرایط خوبی است که ویروس به داخل سلول وارد شده و سپس تکثیر شود. برای مثال ورود ویروس آنفولانزای تیپ A که یک ویروس RNA دارای پوشش می‌باشد به این شکل است که هم آگلوتیناسیون ویروسی با سیالیک اسید حاوی گلیکوپروتئین یا گلیکولیپید پیوند برقرار می‌کند. ویروس از طریق وزیکول‌های Cathrin-coated به داخل سلول حمل شده و به ذرات و اجزاء داخل سلولی وارد می‌شود. pH پائین موجب فعال شدن معجارتی پروتئین₂ M₂ در سطح ویروس شده و اجازه می‌دهد که کپسول داخلی ویروس به دلیل شرایط اسیدی حل شود. مواد حد واسط هم آگلوتیناسیون ویروسی باعث اتصال پوشش ویروس به اندام‌های داخلی سلول می‌شود.

نوکلئوپروتئین‌های ویروس از همدیگر جدا شده و به حامل (B) importin B متصل شده و از طریق کمپلکس سوراخ هسته (NPC) Nuclear Pore Complex یا وارد هسته سلول میزبان می‌شود. بعد از نفوذ نوکلئوپروتئین ویروس به داخل هسته سلول، سایر نوکلئوپروتئین‌های ویروسی نیز یا وارد هسته سلول یا سیتوزول‌های اختصاصی می‌شوند. (Witteveldt و همکاران، ۲۰۰۵)

جهت حرکت در گوشه‌های مختلف سلول، ویروس‌های وارد شده اغلب از بروتئین‌های سلولی یا حفره‌های داخلی سلولی بهره می‌برند. هسته سلول‌های میزبان موجب فراهم شدن عملیات بسیار عالی برای تکثیر ویروس‌ها شد و اندازه آن بسته به نوع DNA یا RNA به واحدهای کوچک RNA توسط آنزیم تغییردهنده تبدیل می‌شود. به‌هرحال ورود به هسته سلول‌های میزبان برای ویروس‌ها بسیار مشکل است و زندگانی نیز در هسته سلول‌ها به همین ترتیب مشکل می‌باشد و ویروس‌ها باید از مکانیسم سلول میزبان پیروی نمایند (Witteveldt و همکاران، ۲۰۰۵). همان‌گونه که ذکر شد ورود ویروس و کپسول ویروسی از طریق NPC صورت می‌گیرد. برای هدف قرار دادن سلول‌ها، ویروس‌ها دارای رسپتورها با گیرنده‌های سیتوزولیک بوده یا از پیام‌های ساکن شدن روی هسته استفاده می‌کنند. به عنوان مثال ویروس HIV-1 و آرنوویروس‌ها به حمل کننده 7 (importine₇) وصل می‌شوند در حالی که ویروس هپاتیت B و آنفولانزا به حمل کننده α و B (importin_α, B) می‌چسبند. حداکثر اندازه جهت انتقال ویروس‌ها از طریق NPC حدود ۳۹ نانومتر می‌باشد. ویروس‌های کوچک‌تر از این اندازه بدون تغییر شکل وارد هسته سلول میزبان می‌شوند در حالی که ویروس‌های بزرگ‌تر از این میزان باید تغییر شکل داد تا ژنوم آن‌ها اجازه ورود از طریق NPC را پیدا کند. تداخل بین ویروس و حاملین B یا 7 یا هیستون HI (histone HI) موجب ایجاد تغییرات در شکل ویروس و کپسول آن می‌شود. درنهایت DNA ویروس‌ها به داخل نکتوپلاسم سلول میزبان وارد می‌شوند. به استثنای Lentivirus‌ها، ویروس‌های retovirus نیز نمی‌توانند از NPC جهت وارد شدن به داخل هسته استفاده نمایند.

در زمان تقسیم سلولی از طریق میتوز کمپلکس یکنواختی وارد هسته سلول شده و این در زمانی است که پوشش ویروس وجود نداشته و همین موضوع باعث عفونت در سلول‌های تقسیم شده می‌شود. در خصوص ورود

ویروس‌های بی‌مهرگان و نفوذ آن‌ها به داخل سلول‌ها هنوز اطلاعاتی کامل‌تر نیاز است (Namikoshi و همکاران، ۲۰۰۴).

Escobedo-Bonilla و همکاران (۲۰۰۷) راه ورود ویروس لکه سفید به بدن و مکانیسم انتشار آن در میان بافت‌ها را مشخص نمودند. بر این اساس آبشش‌ها و اپی‌تیوم روده قدامی در میگوی سفید غربی در گاه ورود ویروس لکه سفید پس از تلقیح خوراکی آن محسوب می‌شوند. پس از تکثیر اولیه در این بافت‌ها، ویروس از غشاء پایه عبور کرده و به سینوس‌های خونی مربوطه می‌رسد. از طریق جریان همولنف ویروس در اندام‌های داخلی منتشر می‌شود که موج جدیدی از عفونت را ایجاد می‌کند. شیوع طبیعی بیماری لکه سفید به اشکال فوق حاد، حاد تا تحت حاد و مزمن تقسیم بندی می‌شود که به ترتیب تلفات آن‌ها بین ۳-۲ روز، ۱۰-۷ روز و ۱۵-۲۸ روز بروز می‌کند (Sudha و همکاران، ۱۹۹۸).

۶-۱- دفاع ضدویروسی

در دهه‌های گذشته، تعداد زیادی از پروتئین‌های در گیر در سیستم ایمنی مادرزادی سخت‌پوستان شامل پروتئین‌ها و مولکول‌های مختلف از قبیل سیستم پروفیل اکسیداز، پیتیدهای ضدمیکروبی و لکتین‌ها شناسایی شده‌اند اما این فاکتورها غالباً در مقابله با قارچ‌ها، باکتری‌ها و انگل‌ها در گیر بوده ولی در خصوص ویروس‌ها به نسبت خیلی کم این فاکتورها دخالت دارند. اخیراً اطلاعات بیشتری در خصوص دفاع ضدویروسی مادرزادی بین ویروس و میزبان در سخت‌پوستان شناسایی شده است.

گیرنده‌های Toll-like receptors (TLR-like receptors) نقشی اساسی در واکنش‌های ایمنی مادرزادی دارا می‌باشد. این گیرنده‌ها (TLRs) از نظر ساختمانی شبیه رسپتورها و گیرنده‌های انترلوکین-۱ بوده و عمل آن‌ها شبیه فعال‌کننده پیام‌های داخل سلولی در مقابل آسیب‌ها یا عفونت‌ها می‌باشد. تاکنون ده نوع از این گیرنده‌ها در پستانداران شناسایی شده است. برای مثال TLR4,5 & 9 برای شناسایی LPS بسیار ضروری می‌باشد. تاثر که باکتری‌ها و DNA آن‌ها دارای ترکیب اصلی غیرمتیله CpG می‌باشدند TLR₂ (CpG DNA) در شناسایی پیتیدوگلیکان و لیپوپیتیدها دخالت دارند. TLR₆ می‌تواند با TLR₂ همکاری نماید و موجب شناسایی پیتیدوگلیکان و لیپوپیتیدهای مایکوپلاسمها شوند. TLR₃ موجب فعال شدن ایمنی سلولی در پاسخ به dsRNA ناشی از ویروس‌ها می‌شود. اخیراً نیز ترکیبات بسیار کوچک ضدویروسی که بنام imidazoquinolines (Imiquimod) و R-848 می‌توانند موجب فعال کردن سیستم ایمنی از طریق TLR₇/MyD88 که وابسته به سیستم سیگنالی است شوند. بهر حال فاکتورهای TLRs موجب شناسایی ترکیبات اختصاصی ایجادشده توسط عوامل بیماری‌زا می‌شوند. بر اساس این فعالیت TLRs شامل یک سری از مولکول‌های ورق دهنده داخل سلولی بوده که موجب راهنمایی و تنظیم سیگنال‌های ایجادشده ناشی عوامل بیماری‌زا می‌باشد. در حشرات شناسایی باکتری‌ها و قارچ‌های که موجب تحریک سیستم ایمنی می‌شوند از طریق TLR‌ها انجام می‌شود. بهر حال در بی‌مهرگان سیستم TLR در فعالیت‌های ضدقارچی و

ضدباکتریایی دخالت داشته ولی در خصوص فعالیت آن‌ها در عفونت‌های ناشی از ویروس‌ها هنوز به‌خوبی شناسایی نشده است. در مهره‌داران از مدت‌ها پیش نقش اینترفرون‌های α و β ناشی از عمل سیتوکیناز در مقابل عفونت‌های ویروسی مشخص گردیده است. این سلول‌ها دارای توانائی تحریک راه‌های مختلف ضدویروسی می‌باشند. این سلول‌ها موجب ایجاد سیگنال‌هایی از طریق Janus kinase/signal (Janus kinase/signal) شده و هزاران ژن تولید می‌کند. از مواردی که مطالعه زیادی روی آن‌ها صورت گرفته و موجب ایجاد ژن تیپ ۱ اینترفرون بود که شامل سرین/تیروزین پروتئین کیناز dsRNA فعال شده (PKR)، پروتئین‌های مقاوم به میکسوویروس‌ها (myxovirus-) (Mx) RNA-Specific adenosine deaminase (ADAR)، Oligodenylate synthetase، RNase L، resistance protein) و خود IFNs می‌باشند.

یکی از مهم‌ترین ایجادکننده اینترفرون‌ها مولکول dsRNA می‌باشد. این مولکول در هنگام عفونت ویروسی درنتیجه تکرار ژنوم ویروسی و RNA ویروس‌ها به یک ساختمان ثانویه تبدیل می‌شود. در پستانداران TLR₃ شناسایی می‌شوند که موجب فعال شدن فاکتور ۸۸ تمايز میلوئید Myeloid differentiation factor 88 (MyD88) می‌شود که یک مولکول وابسته است همچنین dsRNA موجب فعال شدن فعالیت ضدویروسی داخل سلولی نیز شده که این عمل به‌وسیله تأثیر مستقیم PKR‌ها می‌باشد. این فعالیت موجب هدایت مهارکنندگی سنتر سلولی پروتئینی از طریق فسفریلاسیون فاکتور ۲α (eukaryotic translation initiation factor 2α (eIF-2α). این سیستم در بی‌مهرگان مثل سخت‌پوستان وجود ندارد (Flegel, ۲۰۰۷).

بر اساس مطالعات صورت گرفته مشخص شده است که سخت‌پوستان مثل میگوی وانامی می‌توانند ایجادکننده دفاع ضدویروسی dsRNA باشند. مشخص گردیده است که میگوهایی که با ویروس‌های WSSV و TSV به صورت تجربی آلوده و سپس با ds RNA درمان شده‌اند مقاومت آن‌ها افزایش یافته است. ایجاد این سیستم دفاعی dsRNA مستقل بوده و ارتباطی با ردیف بازهای RNA نداشته و به صورت یک مولکول ثابت به صورت میانجی در پدیده اینترفرون دخالت دارد. این پدیده نشان می‌دهد که ممکن است واکنش‌های عمومی ضدویروسی در بی‌مهرگان وجود داشته باشد. همچنین مطالعات دیگر نشان می‌دهد که ترکیباتی میکروبی مثل LPS یا بتاگلوکان‌ها ممکن است موجب افزایش اینمی میگوها در مقابل ویروس‌ها شوند. به‌طور تجربی نشان داده شده است که ژن LGBP موجب افزایش اینمی و تعدیل عفونت WSSV در مراحل اولیه عفونت شده و همچنین با پیشرفت بیماری موجب کاهش نظم در سیستم پروفیل‌اکسیداز می‌شود. یک ژن جدید بنام PmAV در مقاومت ویروسی میگوی مونودن شناسایی و کپی‌برداری شده است. این ژن با ۱۷۰ اسید‌آmine و با C-type lectin-like domain (CTLC) ساخته شده است. پروتئین‌های حامل PmAV یک فعالیت ضدویروسی قوی بوده که این موضوع از طریق آزمایشگاهی و مهار تأثیرات سلولی در محیط کشت مشاهده گردیده است. مطالعات اینمولوژیکی نشان می‌دهد که این ژن در سیتوپلاسم سلول‌های میگو بوده ولی به ویروس WSSV متصل نمی‌شود. چنین حدس زده می‌شود که مکانیسم PmAV شامل جلوگیری از چسبیدن ویروس به سلول میزان

میباشد و مکانیسم‌های دیگری در عمل ضدویروسی این مولکول نقش دارند که هنوز شناخته نشده است. تعدادی از مواد ضدویروسی از بافت‌های موجودات بی‌مهره از جمله میگوی Setiferus، خرچنگ آبی، خرچنگ vesicular Sindbis virus، RNA مثل DNA، poliomyelitis virus، Banzi virus، mengo virus، vacceina virus، stomatitis virus، شناسایی گردیده است. فعالیت مهارکنندگی این مواد هنوز شناسایی نشده است. اخیراً هموسینین با وزن مولکولی ۷۳ تا ۷۵ کیلو دالتون از میگوی مونودون جدادشده و دارای خصوصیات ضدویروسی غیراختصاصی بوده ولی قادر تأثیرات مسمومیت سلولی علیه سلول‌های میزان میباشد (Laxminarayana و Laxmilatha، ۲۰۰۴).

۱-۷-پاسخ شبه ایمنی

تحقیقات زیادی در مورد سیستم ایمنی سخت‌پوستان انجام شده، همگی بیان می‌نمایند که اکثر بی‌مهرگان قادر سیستم ایمنی اکتسابی می‌باشند و دفاع آن‌ها ناشی از سیستم ایمنی ذاتی است که هم به صورت سلولار و هم همورال می‌باشد. ولی وجود یک سیستم شبه ایمنی علیه ویروس لکه سفید WSSV در میگو تشخیص داده شده است. میگوهایی که پس از شیوع بیماری WSSV زنده مانده‌اند در مواجهه مجدد با این ویروس بعد از ۴ ماه، درصد بقاء نسبی ۹۴٪ نشان داده‌اند، این مقاومت میگوهایی که قبلاً یک‌بار عفونی شده‌اند تأییدی بر تقویت سیستم شبه ایمنی می‌باشد (Sanchez Martinez و همکاران، ۲۰۰۷).

در یک مطالعه در سال ۱۹۹۷ در ژاپن نشان داده شد که میگوهای بازمانده از شیوع ویروس WSSV پس از مواجهه مجدد با این ویروس میزان بقاء خیلی بیشتری نسبت به میگوهای آلوده نشده دارند (Smolko و Lombardo، ۲۰۰۷) همچنین یک مورد مشابه در میگوهای بازمانده از عفونت WSSV نشان داده که اگر یک ماه بعد از عفونت به صورت تزریق عضلانی مواجهه با ویروس زنده شوند، مقاومت می‌کنند. این تجربیات مشخص کرد که یک پاسخ شبه ایمنی سه هفته پس از عفونت اولیه شروع شده و تا هفته چهارم پیشرفت کرده و تا انتهای ماه دوم پایدار است. مستنداتی هم در مورد فعالیت خنثی کنندگی ویروس در پلاسمای گرفته شده از همولنف میگوهای بازمانده از طریق تجویز ویروس تیمار شده با پلاسما در میگوهای سالم به دست آمد. از طریق کروماتوگرافی تبادل کاتیونی ماده‌ای در پلاسما میگوهای بازمانده تشخیص داده شده که ممکن است مرتبط با این فعالیت خنثی کنندگی باشد (Wu و همکاران، ۲۰۰۲).

۱-۸-مکانیسم‌های گریز ویروس‌ها از سیستم دفاعی میزان

بعد از ورود ویروس به داخل بدن، سلول‌های میزان معمولاً اجرام خارجی وارد شده به بدن را شناسایی و موجب تحریک سیستم ایمنی مؤثر به منظور جلوگیری از ورود ویروس به داخل سلول‌ها می‌شوند و درنهایت مانع تکثیر و گسترش ویروس می‌گردند. اولین فاز سیستم دفاعی در بدن مهره‌داران شناسایی ترکیبات تشکیل‌دهنده

ویروس‌ها، بالاخص پیتیدها می‌باشند. این پیتیدها به عنوان اجسام خارجی و به مثابه یک آنتیژن به عنوان Antigen-Presenting complex (MHC)AntigenMajor histo compatibility complex (MHC) در سطح سلول‌های ایجاد‌کننده آنتیژن باشند. وقتی که شناسایی صورت گرفت، سیستم دفاع ایمنی آبشاری سلولی و همورال به منظور شناسایی قطعی ویروس آغاز می‌شود. به عنوان مثال آنتی‌بادی‌ها می‌توانند موجب خنثی نمودن ویروس‌های در حال گردش در سلول‌ها شده و همچنین سلول‌هایی که دارای ویروس می‌باشند را تخریب نمایند. پاسخ سلولی همچنین موجب تجزیه نمودن سلول‌های حاوی ویروس شده و کمک به شروع تولید آنتی‌بادی در بدن می‌نماید. فاکتورهای قابل حل از قبیل فاکتور نکروز کننده تومور (TNFs)، اینترلوکین‌ها (ILs) و ایترفرون‌ها (IFNs) تداخل با لنفوسيت‌ها نموده و موجب توقف یا گسترش پاسخ ایمنی می‌شود. تداخل بین ویروس و سیستم ایمنی در شناسایی ویروس توسط سلول‌های میزبان همچنین در بهبود و نجات میزبان بسیار مهم و حیاتی می‌باشد. تعداد زیادی از مسائل مرتبط با تداخل ویروس-سیستم ایمنی در دهه اخیر روشن شده است. به‌رخالت این موضوع هنوز بی‌پاسخ مانده است که چگونه ویروس خود را از پاسخ سیستم ایمنی دور نگه داشته و باعث ایجاد عفونت در بدن میزبان می‌شود (Luo و همکاران، ۲۰۰۳ و ۲۰۰۷).

ویروس از روش‌های مختلفی جهت جلوگیری از اثر سیستم ایمنی میزبان بر خود استفاده می‌کند که شامل جلوگیری از ایمنی هومورال، دخالت در ایترفرون‌ها، مهار و تغییر سیتوکیناز و کیموکینازها، مهار آپوپتوزیس و فرار کردن از CTLs و NKs و همچنین تعدیل کردن فعالیت MHC می‌باشد.

آپوپتوزیس به عنوان یک عامل ایمنی مادرزادی می‌تواند در محدود کردن تکثیر ویروس‌ها مؤثر باشد در این روش مرگ سریع سلول‌ها موجب محدود شدن تکثیر و تولید ویروس‌ها و کاهش یا حذف پراکنده شدن ویروس‌ها در سلول‌های میزبان می‌شود. اغلب ویروس‌ها دارای مکانیسمی هستند که یا از آپوپتوزیس فرار کرده و یا در ایجاد آن تأخیر می‌اندازند و درنتیجه اجازه می‌یابند که میزان زیادی ویروس را تولید و تکثیر نمایند. تعداد زیادی از ویروس‌ها دارای ژن‌های رمزداری هستند که به‌طور مؤثر باعث توقف یا تأخیر در ایجاد آپاپتوز شده و فرصت کافی برای ازدیاد ویروس در حد مناسب برای ایجاد بیماری پیدا می‌شود. به عنوان مثال با کولوویروس‌ها دارای P33 و IAP پروتئین بوده که می‌تواند موجب مهار چندگانه آنزیم پروتئاز یا (Caspase) شود. بعلاوه تعداد زیادی از ویروس‌ها در حال رشد به‌منظور ایجاد فعالیت آپوپتوزیس در مراحل آخر عفونت ویروسی لازم است. این موضوع یک مرحله مهم و نهائی در گسترش ویروس به سلول‌های هم‌جوار سلول‌های آلووده بوده که می‌تواند موجب فرار سلول‌ها از پاسخ‌های ایمنی التهابی شده و همچنین باعث محافظت ویروس‌های ایجادشده از آنزیم‌ها و آنتی‌بادی‌ها باشد (Xu و همکاران، ۲۰۰۷؛ Kim و همکاران، ۲۰۰۷).

مطالعات اخیر در میگو نشان می‌دهد که آپوپتوزیس مسئول حذف سلول‌های آلووده به ویروس در سلول‌های عفونی می‌باشد. هرچند WU و Moroga در سال ۲۰۰۴ بیان کردند که روش آپوپتوزیس نمی‌تواند موجب مهار ویروس لکه‌سفید در میگو ژاپنی شود. گزارش Sahtout و همکاران (۲۰۰۱) نشان داد که میگوهای با علائم

ظاهری WSSV دارای ۴۰٪ سلول‌های آپیتوز شده بوده و چنین حدس زده می‌شود که این موضوع دلالت بر مرگ میگوها می‌باشد.

همچنین در بروز بیماری سر زرد در میگوی مونودون گسترش و ظهور آپیتوزیس در سلول‌های میگو از مهم‌ترین دلایل عدم کارایی و مرگ سلول‌های میگوی میزان ویروس می‌باشد. به حال درجه آپیتوزیس در بافت‌های مختلف میگو با بیماری لکه‌سفید نشان می‌دهد که این پدیده بعد از بروز بیماری در میگو به وجود آمده، اما اینکه به چه میزان در مرگ و میر میگوها دخالت دارد نیازمند تحقیقات بیشتر است (افشار نسب، ۱۳۸۶).

۱-۹-۱- ایمنی ضدویروسی

در سخت پوستان فقط ایمنی ذاتی بدون حافظه سرم شناسی وجود دارد (Lee و Söderhäll، ۲۰۰۲). ایمنی ذاتی شامل سدهای فیزیکی، پاسخ سلولی و خونی است. کوتیکول سفت و موئی شکل در سخت پوستان به عنوان یک سد مکانیکی در برابر حمله عوامل بیماری‌زا عمل می‌کند (Lee و Söderhäll، ۲۰۰۲). فاکتورهای خونی به طور عمده از هموسیت‌ها منشاء می‌گیرند و در طی پاسخ ایمنی آزاد می‌شوند. موادی که در طی پاسخ ایمنی خونی (humoral) آزاد می‌شوند شامل: لکتین‌ها، آنزیم‌های دفاعی (فنل اکسیداز)، لیپوپروتئین‌ها، پپتیدهای ضدمیکروبی، پروتئین متصل شونده به بتا ۱، ۳ گلوکان، پروتئین متصل شونده به لیپوپلی ساکارید (LPS)، پروتئین متصل شونده به پپتیدوگلیکان و میانجی‌های اکسیژن فعال هستند. هموسیت‌ها در ایجاد لخته، شناسایی ذرات خارجی، فاگوسیتوz، ملانیزه کردن، کپسوله کردن، کشنده‌گی سلولی و ارتباطات سلول به سلول نقش دارند (Lee و Söderhäll، ۲۰۰۲). بیشترین پاسخ‌های سلولی و خونی مطالعه شده در برابر عفونت‌های باکتریایی، قارچی و انگلی هستند. مطالعات اخیر شواهدی از ایمنی ضدویروسی در میگوها را مشخص کرده است که مشتمل بر وجود گیرنده‌های شبه Toll (TLR)، تداخل RNA (RNA)، مواد ضدویروسی در بافت‌ها و ژن‌های ایمنی می‌باشد. TLR در پستانداران به عنوان فعال کننده سلول‌های ایمنی فعالیت می‌کند، همچنین علامت دهی داخل سلولی بر علیه عفونت، شناسایی لیپوپلی ساکارید، پپتیدوگلیکان و لیپوپروتئین‌ها را داشته و در ایمنی ضد ویروسی نیز دخیل می‌باشد (Barton، ۲۰۰۷). TLR در میگوی سفید غربی و میگوی ببری غول پیکر (P.monodon) شناسایی شده است (Arts و همکاران، ۲۰۰۷). نقش TLR در میگوها در برابر عفونت ویروسی همچنان در حال بررسی است. ژن‌های کد کننده برای تداخل RNA (RNA) در میگوی سفید غربی یافت شده است. تزریق RNA دورشته‌ای (dsRNA) در میگوی سفید غربی ایمنی ضدویروسی را القاء می‌کند (Robalino و همکاران، ۲۰۰۷).

همچنین در میگوی چینی (*P. chinesis*) RNA کوتاه تداخل کننده (SiRNA) مرتبط با پروتئین‌های ویروسی VP28 یا VP15 در کاهش تلفات در میگوی ببری سیاه و میگوی ژاپنی (*P. japonicus*) مؤثر بوده است (Kim و همکاران، ۲۰۰۷؛ Xu و همکاران، ۲۰۰۷).

Xu و همکاران (۲۰۰۷) گزارش کردند که به وسیله چندین تزریق از RNA کوتاه تداخل کننده پروتئین ویروسی VP28 از رونوشت برداری و تکثیر ویروس لکه سفید جلوگیری می‌شود. بن‌ضد ویروس PmAV از میگوی ببری سیاه آلوده به ویروس لکه سفید کلون شد. PmAV از روز دوم پس از آلودگی با میزان بالای ویروس در هپاتوپانکراس بیان می‌شود. این ژن در شرایط *In vitro* در برابر اثر سیتوپاتیک (CPE) ایریدوویروس هامور سنگاپور (SGIV) مؤثر بود (Luo و همکاران، ۲۰۰۳ و ۲۰۰۷).

یک ژن دیگر به نام فاکتور ضد پلی ساکارید (Antipolysaccharide factor) در خرچنگ دراز آب شیرین گونه *Pacifastacus leniusculus* پس از تزریق با ویروس غیر فعال شده با اشعه ماوراء بنفش مشاهده شد. این فاکتور سبب تکثیر کمتر ویروس و افزایش تلفات آهسته تر در مقایسه با آن‌هایی که فقط ویروس دریافت کرده بودند شد (Liu, H. و همکاران، ۲۰۰۶).

۲۲ ژن ضد ویروس که پروتئین‌هایی مثل پروتئین شبه اینترفرون (Interferon like protein) و پروتئین شبه اولیگوستنتاز (oligo synthetase like protein) را کد می‌کنند در هموسیت میگوهای ژاپنی بازمانده از شیوع بیماری لکه سفید یافت شده است (He و همکاران، ۲۰۰۵). دو پروتئین از هموسیانین میگوی ببری سیاه آلوده به ویروس لکه سفید جداشد. این پروتئین‌ها در شرایط *In vitro* از تکثیر ویروس‌های ایریدوویروس هامور سنگاپور، ویروس قورباغه ۳ (FV3)، ویروس لنفوسیستیس (LDV)، رئوویروس تردفین (ThRV)، بیرناویروس ماهی آنجل (ABV) و ویروس نکروز عفونی پانکراس (IPN) جلوگیری کردند (Zhang و همکاران، ۲۰۰۴). مواد ضد ویروس در بافت‌های استخراج شده از میگوی سفید شمالی (*P. stiferus*) خرچنگ آبی آتلانتیک (*Callinectes sapidus*) و خرچنگ قرمز مرداب (*Procambarus clarkii*) یافت شده است. این مواد در برابر ویروس واکسین (Vaccinia)، ویروس فلج اطفال (poliovirus)، ویروس منگو (*mengovirus*), ویروس *Sindbis* ویروس *Banzi* و ویروس تورم دهان وزیکولی (vesicular stomatitis virus) در شرایط *In vitro* مؤثر بوده اند (Pan و همکاران، ۲۰۰۰). سطوحی از دیگر فاکتورهای اینمی از قبیل فنل اکسیداز، لیزوژیم، همولیزین و هماگلوتینین در میگوهای بازمانده از وقوع بیماری بالاتر بوده است (He و همکاران، ۲۰۰۵).

Roux و همکاران (۲۰۰۲) اعلام کردند که در میگوهای سفید شمالی آلوده به ویروس لکه سفید ژن‌های مرتبط با پروتئین‌های متصل شونده به لیپوپلی‌ساکارید و بتا_{1,3} گلوکان افزایش (upregulated) می‌یابند. این تحقیق پاسخ عمومی دفاعی سخت پوستان در برابر انواع مختلفی از عوامل بیماری‌زا (ویروس، باکتری و قارچ) را نمایان ساخت.

۱-۱-۱- راهکارهای کنترل و کاهش تلفات ناشی از بیماری لکه سفید

همه گیری‌های جهانی ایجاد شده توسط ویروس لکه سفید سبب زیان‌های جدی در تولید مزارع میگو در آسیا و آمریکا گردید. در پاسخ به این خسارات محققین چندین راهکار پیشگیری کننده و درمانی را مورد آزمایش قرار دادند:

۱-۱-۱-۱- ایمنی زیستی

واژه ایمنی زیستی به معنای تلاش در جهت جلوگیری از وقوع، تماس، انتقال و انتشار عوامل بیماری‌زا در میگوها می‌باشد. این حالت شامل توسعه ذخایر میگوی عاری از عامل بیماری‌زا، ممانعت از ورود عوامل بیماری‌زا به مولдин در هجری‌ها و مزارع، عدم تعویض آب و ضدغونی آب قبل از پرکردن استخرهای پرورشی، رعایت بهداشت کارگران و استفاده از غذای با کیفیت است (Lightner, ۲۰۰۵). در حال حاضر راهکارهای ایمنی زیستی به طور گسترده‌ای در مزارع پرورش میگو مورد استفاده قرار می‌گیرد، اگرچه که در شرایط مزرعه رعایت ایمنی زیستی به صورت مطلق امکان‌پذیر نیست (Schuur, ۲۰۰۳). به عنوان مثال موفقیت در جلوگیری از وقوع بیماری در میگوهای مزارع پرورشی فقط بستگی به آزمایش پست لاروها قبل از ذخیره سازی ندارد زیرا اشتباه در حین نمونه برداری و یا پاسخ‌های اشتباه ممکن است بروز نماید (Fegan و Clifford, ۲۰۰۱). در موردی که میگوی بیمار به مزرعه‌ای معرفی می‌شود قرنطینه ممکن است برای کاهش خطر انتقال بیماری مفید باشد. حذف میگوهای تلف شده از مزرعه، رژیم غذایی با کیفیت و مدیریت بهتر غذاده‌ی نیز می‌توانند خطر وقوع بیماری را کاهش دهند.

۱-۱-۱-۲- مواد ضد ویروس

ماده ضد ویروس ترکیبی است که توانایی تکثیر ویروس را در هر مرحله‌ای از رونوشت برداری (اتصال، ورود، پوشش برداری، رونویسی، ترجمه و مونتاژ) سرکوب نماید. اثر ضدویروسی پلی‌ساکاریدهای سولفاته استخراج شده از جلبک‌های دریایی در برابر ویروس‌های پستانداران در شرایط آزمایشگاهی به خوبی شناخته شده است (De Clercq و Witvrouw, ۱۹۹۷). جلبک‌های اسپرولینا پلاتنیس و اسپرولینا ماکسیما دارای فعالیت ضدویروسی هستند (Hernández-Corona و همکاران, ۲۰۰۲). فوکان‌های سولفاته (فوکوئیدان) (Sulfated fucans) می‌توانند از ۴۳ گونه جلبک قهقهه‌ای استخراج شود. فوکوئیدان‌های جلبک قهقهه‌ای از لحاظ ساختاری بسیار پیچیده و هتروژن هستند (Berteau و Mulloy, ۲۰۰۳). در یک پژوهش فوکوئیدان استخراج شده از جلبک دریایی سارگاسوم پلی‌سیستوم (Sargassum polycystum) در جیره غذایی استفاده شد. این غذا به میگوهای جوان ببری سیاه به مدت ۴ روز قبل و بعد از چالش با ویروس لکه سفید خورانده شد. میگوهایی که بیشترین میزان فوکوئیدان در جیره غذایی (۱۰۰، ۲۰۰ و ۳۰۰ میلی‌گرم به ازای هر کیلوگرم وزن میگو) را دریافت کرده بودند

در صد بازماندگی بالایی را نشان دادند Chotigeat و همکاران، ۲۰۰۴). عصاره اتانولی بیس (۲-متیل هپتیل)فتالات (bis(2-methylheptyl)phthalate) برگ‌های گیاه راش هندی نیز در یک جیره غذایی استفاده شد و اثرات ضدویروسی آن در میگوی ببری سیاه در برابر ویروس لکه سفید ارزیابی شد. میگوها برای مدت ۴ روز قبل و ۱۵ روز پس از چالش با ویروس لکه سفید با این جیره تغذیه شدند (روزانه ۲۰۰ و ۳۰۰ میکروگرم به ازای هر گرم وزن میگو). افزایش باز ماندگی (٪۴۰-٪۸۰) در تیمار حاوی بالاترین میزان عصاره مشاهده شد (Ramasamy و Ramesthangam، ۲۰۰۷). سازوکار فعالیت ضدویروسی عصاره این گیاهان در برابر ویروس لکه سفید مشخص نیست. ادعا شده است که یک پپتید بیان شده توسط فائز در شرایط In vivo در خرچنگ درازآب شیرین و در شرایط آزمایشگاهی در کشت اولیه ارگان لنفوئیدی میگو در برابر ویروس لکه سفید مؤثر است. (Yi و همکاران، ۲۰۰۳).

۱-۱۰-۳- تداخل با ویروس‌های دیگر

پست لاروها و میگوهای جوان سفید غربی و میگوی آبی (*P. stylirostris*) آلدوده به ویروس نکروز عفونی بافت خونساز وزیرجلدی در چالش با ویروس لکه سفید کاهش تلفات را نشان دادند Bonnichon و همکاران، ۲۰۰۶. میگوهای بازمانده از شیوع بیماری لکه سفید به ویروس سندروم بدشکلی و کوتولگی نیز آلدوده بودند. این محافظت می‌تواند ناشی از القاء ایمنی یا بلوک کردن اجزاء میزان از قبیل گیرنده‌های سلولی مورد نیاز برای تکثیر ویروس لکه سفید باشد (Tang و همکاران، ۲۰۰۳).

۱-۱۰-۴- محرك‌های ایمنی

جیره غذایی حاوی ترکیبات میکروبی از قبیل بتا ۱ و ۳ گلوکان استخراج شده از قارچ شیزوفیلوم کومونه (*Schizophyllum commune*) Chang و همکاران، ۱۹۹۹ و ۲۰۰۳) لیپوپلی‌ساکارید باکتری پانتورا آگلومرانس (*Pantoea agglomerans*) Takahashi و همکاران، ۲۰۰۰) سبب بهبود سیستم ایمنی و کاهش تلفات در میگوهای آلدوده به ویروس لکه سفید شد. سازوکار این حفاظت را به فعل شدن سیستم ایمنی ذاتی نسبت داده‌اند. بهترین نتایج زمانی حاصل می‌شود که محرك‌های ایمنی قبل از در معرض قرارگیری میگو با عامل بیماری‌زا به کار گرفته شوند. استفاده زیاد یا مداوم محرك‌های ایمنی ممکن است علاوه بر این که مفید نباشد حتی سبب اثرات منفی نیز شود Horowitz و همکاران، ۲۰۰۱).

۱-۱۰-۵- پپتیدهای ضدمیکروبی (AMP)

گزارشات محدودی فعالیت پپتیدهای ضدمیکروبی در برابر ویروس‌های مختلف را توصیف نموده‌اند. پپتیدهای ضدمیکروبی قسمتی از ایمنی ذاتی میگوها می‌باشند. در ۲ مطالعه ویروس لکه سفید در شرایط آزمایشگاهی با

یک پیتید ضد میکروبی صناعی به نام میتیلین (Mytilin) قبل از تلقيق به میگوی معمولی گرمانه گذاری شد. تلفات این میگو در مقایسه با قبل از استفاده از پیتید میتیلین کمتر بود (Roch و همکاران، ۲۰۰۸).

۶-۱-۱۰- آب دمای آب

تلفات میگوها یا خرچنگهای مبتلا به ویروس لکه سفید در دمای آب بالاتر (۳۲-۳۳ درجه سانتی گراد) یا کمتر از (۱۵) درجه سانتی گراد) از دمای مطلوب کاملاً متوقف می شود. مکانیسم های پیشنهادی در این موارد عبارتند از کاهش تکثیر ویروس (Du و همکاران، ۲۰۰۶) کاهش بار ویروسی (Granja و همکاران، ۲۰۰۶) آپوپتوزیس Granja (و همکاران، ۲۰۰۳).

توجه به این نکته مهم است که روش های مواجهه با ویروس لکه سفید در پژوهش های ذکر شده متفاوت است. تلقيق ویروس با روش های تزریق داخل عضلانی، غوطه وری در سوسپانسیون ویروسی یا تغذیه با بافت آلوده به ویروس انجام شد. علاوه بر این میزان ویروس عفونی تلقيق شده به هر میگو نیز مشخص نبود. این اختلافات، مقایسه نتایج تحقیقات را غیر ممکن می سازد و نیاز به استاندارد سازی بیشتری احساس می شود.

۱-۱- جلبک *Gracilaria corticata*

جلبک های دریایی یکی از محصولات مهم تجاری در جهان هستند که قرنها است به دلیل داشتن کاروتنوئیدها، فیبرهای غذایی، پروتئین ها، اسیدهای چرب ضروری، ویتامین ها و مواد معدنی در جیره غذایی مردم شرق آسیا استفاده شده است (Ching و Norzian، ۲۰۰۰). بر همین اساس و با توجه به کشف مواد بیولوژیک فعال جدیدتری در این جلبکها، اخیرا علاوه بر تغذیه به منظورهای متنوع دیگری نیز، این موجودات گرانبهای روش های مختلفی در آبزی پروری مورد استفاده قرار گرفته اند.

از برخی جلبکهای پرسلولی مثل *Kappaphycus* (*Macrocytis pyrifera* معروف به کلپ)، *Ascophyllum nodosum* در غذای میگو استفاده شده است و عملکرد آنها در جیره مورد ارزیابی واقع شده است (Golez و Penaflorida، ۱۹۹۶؛

در مطالعه ای Da Silva و Barbosa، ۲۰۰۹) از پودر جلبک دو گونه جلبک دریایی در بزرگیل به عنوان منبع پروتئین در غذای میگویی و انامی استفاده کرده اند. قبل از آن هم از پودر جلبک *Laminaria digitata* به عنوان بخشی از جیره غذایی میگویی و انامی استفاده شده بود (He و Lawrence، ۱۹۹۳).

چندین جلبک دریایی پرسلولی همچنین در جیره غذایی برخی از ماهیان پرورشی مورد استفاده قرار گرفته و اثرات مختلف آنها مورد ارزیابی قرار گرفته است (Nakagava و Montgomery، ۲۰۰۷).

در چندین تحقیق گزارش شده که پودر جلبکها می تواند به عنوان همبند در جیره غذایی آبزیان عمل کند (Briggs و Funge-Smith، ۱۹۹۶؛ Cruz-suarez و همکاران، ۲۰۰۸). اکثر نتایج نشان داده اند که استفاده از

جلبک‌های دریایی در فرمول جیره آبزیان باعث بهبود کیفیت پلت شامل نگهداری آب، بهبود ظرفیت نگهداری آب و همچنین بهبود کیفیت پلت می‌گردد و از این طریق باعث بهبود تاثیر جیره می‌گردد برای مثال در مطالعه ای جایگزینی آرد سویا و آرد گندم توسط درصدهای مختلف (۳۰-۰٪) توسط پودر جلبک قرمز گراسیلاریا (*Gracilaria corticata*) بررسی شده، نتایج نشان داده که فاکتور ماندگاری در آب غذایی تیمار حاوی تا ۱۰٪ پودر جلبک تفاوت معنی داری با گروه کنترل (غذای تجاری) طی ۱۲ ساعت نداشته است و جیره‌های بیش از ۱۵٪ به میزان ۸۸٪ آب در خود نگهداری کرده بود (Funge-Smith و Briggs، ۱۹۹۶). مطالعات دیگری نیز در این خصوص انجام شده است که اکثرا نتایج مناسبی داشته اند (Marinho-Soriano و همکاران، ۲۰۰۷). خواص بایندری (همبندی) جلبکها و همچنین ظرفیت بالای آنها در جذب آب را به خواص ژلاتینه شدن آنها و میزان آلتینات موجود در آنها ربط می‌دهند (Kuda و همکاران، ۱۹۹۷).

از جلبک قهوه‌ای *Cladosiphon okamuranus* یک پلی ساکارید سولفاته به نام فوکوئیدان fucoidan () استخراج شده (Itami و همکاران، ۲۰۰۲) که از آن در غذای میگوی ژاپنی به منظور بهبود سیستم ایمنی میگو در برابر WSSV استفاده شده است.

بر اساس یک گزارش دیگر استفاده خوراکی فوکوئیدان استخراج شده از جلبک قهوه‌ای *Sargassum polycystum* در غذای میگوهای ۵-۸ گرمی و ۱۲-۱۵ گرمی می‌تواند سبب کاهش اثر WSSV بر میگوی بیری سیاه (Chotigeat و همکاران، ۲۰۰۴) گردد (*Penaeus monodon*) (Penaeus monodon). آنها همچنین مشاهده کردنده که فوکوئیدان بر باکتری‌های ویبریو هاروی (Vibrio harveyi)، استافیلوکوکوس ارئوس (Staphylococcus aureous) و اشریشیا کلی (E. coli) نیز اثر بازدارنده دارد.

در مطالعه‌ای از آلتینات سدیم جداسازی شده از جلبک‌های دریایی به میزان ۲ گرم بر کیلوگرم به منظور تحریک سیستم ایمنی میگوی وانامی در برابر عفونت حاصله بر اثر *Vibrio alginolyticus* استفاده شده است (Cheng و همکاران، ۲۰۰۵).

از عصاره اتانولی *Sargassum fusiforme* اضافه شده به غذای میگوی چینی (*F. chinensis*)^(۱) نیز به منظور تحریک سیستم ایمنی و مقاومت میگوها در برابر بیماری ویبریوزیس استفاده شده است (Huang و همکاران، ۲۰۰۶). در یک مطالعه در مکزیک دیده شده استفاده از عصاره آبی جلبک *M. Pyrifera* به صورت تزریقی روی افزایش تعداد هموسیتهای میگوی وانامی و تحریک سیستم ایمنی در برابر آلودگی باکتریایی *V. campbellii* موثر واقع شده است (Sanchez و همکاران، ۲۰۱۴).

اخیراً چندین مطالعه در خصوص کشت توام جلبک‌های دریایی با سایر آبزیان به منظورهای مختلف شامل تغذیه، بهبود کیفیت آب، پیشگیری و کنترل بیماریها و غیره انجام شده است (Porchas-Corenjo و همکاران، Lombardi و همکاران، ۲۰۰۴؛ Neori و همکاران، ۱۹۹۹).

جلبک‌ها منبعی از ترکیبات مفید و فعال زیستی هستند و تاکنون ترکیبات زیستی متعدد و با گستره کاربردی متنوعی همچون اثرات آنتی‌بیوتیکی، ضدویروسی، ضدقارچی و ضدسرطانی از جلبک‌های پرسلوی شناسایی و مشتق شده‌اند که بسیاری از متابولیت‌های اولیه و ثانویه این جانداران می‌توانند به مواد فعال مورد علاقه صنایع دارویی تبدیل شوند. استفاده از جلبک‌ها به عنوان ماده افروزنده در جیره غذایی آبزیان باعث بهبود شاخص‌های رشد، کیفیت بیوشیمیایی لاشه و پاسخ‌های فیزیولوژیک نسبت به استرس و بیماری می‌شود (Jaime-Ceballos و همکاران، ۲۰۰۵). اثرات مثبت تغذیه از جلبک‌ها به دلیل وجود فیبر، کاروتونوئیدها، جذب کننده‌های شیمیایی غذا، ویتامین‌ها، مواد معدنی، اثرات ترکیبی با ویتامین‌ها، جلوگیری از فرایند تجزیه شدن ویتامین‌ها و خاصیت آنتی‌اکسیدانی می‌باشد (Mustafa و همکاران، ۱۹۹۷).

گونه جلبک قرمز گراسیلاریا با نام علمی *Gracilaria corticata* می‌باشد (شکل ۱-۱).



شکل ۱-۴: نمای ظاهری از جلبک *Gracilaria corticata* (برگرفته از www.algaebase.org)

Plantae	فرمانرو
Rhodophyta	شاخه
Eurhodophytina	زیرشاخه
Florideophyceae	رده
Rhodymeniophycidae	زیررده
Gracilariales	راسته
Graciliaceae	خانواده
Gracilaria	جنس
Corticat	گونه

در این تحقیق در خصوص کنترل و پیشگیری از بیماری لکه‌سفید میگو با استفاده از جلبک گراسیلاریا کورتیکاتا، بررسی و مطالعه صورت گرفت. همچنین میزان بازماندگی و بقا میگوهای تغذیه شده با جلبک گراسیلاریا کورتیکاتا بررسی و مقایسه لازم صورت گرفته و فاکتورهای اینمی THC، TPP، SOD، POD و PO در تیمارهای مختلف محاسبه و مقایسه شده بطوریکه مهم‌ترین اهداف تحقیق عبارت است از:

۱- تعیین میزان مقاومت میگو پاسفید تغذیه شده با جلبک گراسیلاریا کورتیکاتا در برابر ویروس بیماری لکه سفید

۲- مقایسه میزان بازماندگی میگوهای پاسفید تغذیه شده با جلبک گراسیلاریا کورتیکاتا و گروه شاهد

۳- مقایسه شاخص‌های سلامت (تعداد سلول‌های هموسیت کل خون و پروتئین کل پلاسمای در میگوهای پاسفید تغذیه شده با جلبک گراسیلاریا کورتیکاتا و گروه شاهد

۲- مواد و روش‌ها

۱- مکان و زمان آزمایش

این تحقیق به منظور بررسی فاکتورهای اینمی (THS,TPP,PO,SOD,POD) میگوهای تغذیه شده با جلبک گراسیلاریا کورتاکا در مقایسه با میگوهای تغذیه شده بدون جلبک و مواجهه شده با ویروس لکه سفید در مرکز تکثیر میگوی بندر امام (ره) متعلق به اداره کل شیلات خوزستان و پژوهشکده آبزی پروری جنوب کشور انجام شد.

۲- تهیه میگوهای پاسفید غربی (*L. vannamei*) مورد نیاز آزمایش و مرحله سازگاری

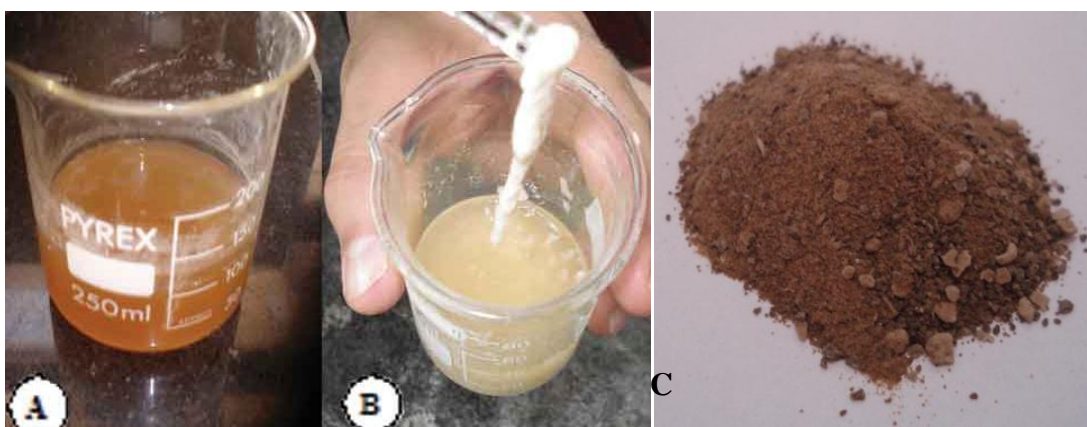
تعداد ۳۰۰ قطعه میگو با وزن متوسط 15 ± 2 گرم از یک استخراج پرورش میگوی چوئیده آبادان در هنگام صید نهایی (مهر ماه) پس از بررسی از لحاظ سلامتی، عدم وجود نکروز روی سطح بدن و آتنن‌ها، بریدگی آتنن‌ها و...، انتخاب و به مرکز شهید کیانی (اداره کل شیلات خوزستان، چوئیده) انتقال یافت. پس از مهیا شدن شرایط در مرکز تکثیر بندر امام، به علت اختلاف پارامترهای دما و شوری بین مرکز شهید کیانی (پرورش) و مرکز تکثیر بندر امام به مدت ۱۰ روز عملیات آداتاسیون انجام شد تا بدون شوک فراسنجه‌های زیستی میگو با شرایط محیط انجام پژوهش (بندر امام) یکسان شود.

۳- تهیه جیره غذایی حاوی عصاره جلبک

جلبک موردنظر پس از جمع‌آوری به آزمایشگاه منتقل و با آب جاری شسته شد. سپس بر روی یک سطح شیبدار که با نایلون پوشیده شده بود به مدت ۴۸ ساعت قرار گرفت تا کاملاً خشک شود (با توجه به وجود ترکیبات سرب در روزنامه‌های موجود و امکان ایجاد خطا در آزمایش، جلبک‌های جمع‌آوری شده پس از شستشو، به منظور خشک شدن، بر روی نایلون قرار داده شدند).

به منظور استخراج عصاره جلبک از روش اسیدی استفاده شد. ابتدا جلبک‌های خشک شده با استفاده از آسیاب برقی آسیاب شدند. هدف از این کار بالا بردن تأثیر اسید کلریدریک بر روی دیواره سلول‌های جلبکی بود. سپس به ۲۰ گرم جلبک آسیاب شده ۲۰۰ میلی لیتر اسید کلریدریک ۱/۰ مولار اضافه شد. سوسپانسیون حاصل به مدت ۱۲ ساعت در آون با درجه حرارت ۹۵ درجه سانتی گراد قرار داده شد. بعد از سپری شدن زمان مذکور با استفاده از فیلتر مکشی با چشمی ۵۰۰-۴۵۰ میکرون سوسپانسیون فوق فیلتر شد. به منظور خنثی‌سازی حالت اسیدی از سود (NaOH) ۵/۰ مولار استفاده شد. درنهایت با استفاده از سانتریفوژ با دور ۱۳۰۰۰ rpm به مدت ۲۰ دقیقه سوسپانسیون سانتریفوژ شد و پس از جداسازی فاز رویی دو برابر حجم آن، الكل اتانول اضافه شد. پس از اضافه نمودن اتانول مواد معلق موجود در سوسپانسیون در ته ظرف به صورت زنجیره‌ای رسوب نمودند (شکل

۱-۲) که پس از جداسازی آنها در درجه حرارت ۳۰-۴۰ درجه سانتی گرادخشک و آسیاب شدنده و همکاران، ۲۰۰۸) و به میزان ۱۵۰۰ میلی گرم در کیلو گرم غذای میگوها افروده شد. Shiroma)



شکل ۲-۱- استخراج عصاره جلبک با استفاده از اسید کلریدریک ۱/۰ نرمال.
A: سوپانسیون عصاره جلبک قبل از اضافه کودن الكل اتانول. B: عصاره جلبک بعد از اضافه نمودن الكل اتانول. C: عصاره پودر شده جلبک

۲-۴- بررسی و تغذیه میگوهای مورد آزمایش

بعد از مرحله آداپتاسیون میگوها، به منظور بررسی عدم وجود ویروس‌های (WSSV, TSV, MBV, HPV, YHV, BP, IHHNV, IMNV) و باکتری ویبریو نسبت به غربالگری میگوها با استفاده از PCR (کیت تجاری IQ2000 TM) اقدام شد. سپس میگوهای عاری از پاتوژن‌های فوق به ۲ گروه آزمایشی زیر تقسیم‌بندی شدند: در گروه اول تعداد ۱۵۰ قطعه به مدت ۱۴ روز با غذای معمولی تغذیه شده و در گروه دوم تعداد ۱۵۰ قطعه با غذای حاوی جلبک به مدت ۱۴ روز تغذیه شدند.

برای انجام این آزمایش از ۲ تانک بتنی به ظرفیت ۱۰ تن (طول ۶۰۰ سانتیمتر و عرض ۱۷۰ سانتیمتر و ارتفاع ۱۰۰ سانتیمتر) استفاده گردید که جهت انجام آزمایش با ۳۰۰۰ لیتر آب، آبگیری شدند. هوادهی در هر یک از تانک‌های ۱۰ تنی با ۱۲ عدد سنگ هواده که در فواصل یکسان در سطح تانک قرار داده شده بودندی صورت گرفت. آب ورودی پس از آبگیری و ذخیره شدن و عبور از استخر رسوب‌گیر و فیلتر شنی قبل از ورود به سالن با کلر به میزان ۱۰ ppm ضد عفونی شده و سپس وارد تانک‌ها می‌شد. تعویض آب روزانه تانک‌ها به میزان ۱۰ الی ۱۵ لدرصد بود و پس از خروجی بعد از ضد عفونی با کلر و گذشت زمان یک هفته به خارج از مرکز تکثیر منتقل می‌شد. پارامترهای دما، pH و اکسیژن محلول آب روزانه در دو نوبت صبح و عصر و شوری آب یکبار در روز در نوبت صبح، به وسیله دستگاه مولتی پارامتر (مارک WTW) و با دقیق ۰/۰۱ اندازه گیری و ثبت گردید. دوره نوری در داخل سالن‌های پرورش از طریق استفاده از لامپ‌های فلورسنت به صورت ۱۲ ساعت روشنایی و ۱۲ ساعت تاریکی تنظیم گردید.

غذادهی روزانه سه و عده به میزان ۵ درصد وزن توده زنده در ساعت‌های ۸ و ۲۲ انجام شد. قبل از هر وعده غذاخوردی باقی‌مانده غذای قبلاً توسط سیفون جمع‌آوری و میزان غذای خورده شده محاسبه می‌شد. در پایان روز چهاردهم تغذیه میگوها هر گروه به ۶ گروه ۲۵ قطعه‌ای تقسیم شده و به ۱۲ تانک ۱۰۰۰ لیتری مجزا منتقل شدند.

۲-۵- تهیه و تعیین عیار ویروس لکه سفید

میگوهای منجمد که از خوزستان، سیستان و بلوچستان و بوشهر نمونه‌برداری شده بود و از نظر وجود ویروس لکه سفید نیز تائید شده بودند جهت تهیه استوک ویروس طبق روش زیر مورداستفاده قرار گرفت: (Afsharnasab و همکاران، ۲۰۰۹)

- ۱- عدد میگو منجمد آلوده به ویروس با آسیاب برقی (وزن تقریبی هر میگو ۱۰ گرم) آسیاب شد.
- ۲- میگوهای آسیاب شده به نسبت ۱ به ۵ در بافر TN در لوله‌های ۱۵ میلی‌لیتری (Nunc 15 ml Conical Tube) هموژن گردید.
- ۳- سوسپانسیون تولید شده به مدت ۱۰ دقیقه در دمای ۴°C با دور ۱۷۰۰ سانتریفیوژ گردید و سپس مایع رویی جداسازی شد (مرحله سانتریفیوژ سه بار تکرار شد).
- ۴- مایع رویی از فیلترهای واتمن در طی چندین مرحله عبور داده شد و محلول‌های فیلتر شده در فریزر ۲۰°C نگهداری شدند.
- ۵- محلول فیلتر شده مرحله قبل از فیلترهای میلی‌پور ۰/۴۵ میکرونی عبور داده شد. این سوسپانسیون ذخیره حاوی ویروس، تا زمان استفاده در فریزر ۷۰°C-ذخیره‌سازی گردید.
نکات زیر برای تکثیر بهتر ویروس در خرچنگ دراز آب شیرین الزامی می‌باشند:
بهتر است محلول میگو فیلتر شده همان روز بلافصله به خرچنگ دراز آب شیرین تزریق گردد تا ویروس بهتر در بدن خرچنگ دراز آب شیرین تکثیر یابد. ۲. اگر بعد از تهیه میگو فیلتر شده خرچنگ دراز آب شیرین آماده برای تکثیر ویروس نبود می‌بایست این محلول را در فریزر ۷۰°C-نگهداری نمود.

۱-۵- تهیه خرچنگ دراز آب شیرین (*Astacus Leptodactylus*)

خرچنگ دراز آب شیرین گونه *Astacus Leptodactylus* از سخت‌پوستانی است که می‌تواند میزان خوبی برای این ویروس باشد. محل زندگی این خرچنگ‌ها در ایران رودخانه ارس می‌باشد. چند نمونه از خرچنگ‌های زنده و تلف شده با استفاده از دستورالعمل کیت تجاری 2000 IQ مربوط به آزمون Nested PCR جهت تشخیص آلودگی به ویروس لکه سفید آماده‌سازی و مورد آزمایش قرار گرفت و از عدم آلودگی آنها اطمینان حاصل گردید.

پس از تهیه ذخیره ویروسی نمونه‌های ویروس در همان روز به صورت داخل عضلانی به میزان ۰/۳ میلی‌لیتر در بند سوم یا چهارم سینه‌ای خرچنگ تزریق گردید. سپس برای رشد بهتر ویروس دمای تانک‌ها به حدود ۱۵ درجه سانتی‌گراد رسانیده شد. جهت نگهداری خرچنگ‌ها و جلوگیری از ایجاد آلدگی قارچی ناشی از خرچنگ‌های تلف شده هر چند وقت یک‌بار تمام آب نگهداری آن‌ها ضدغونی گردید تا از عفونت‌های احتمالی جلوگیری شود. برای این کار، آنتی‌بیوتیک (آمفو تریپسین B) به آب محل نگهداری اضافه گردید. پس از تزریق ذخیره ویروسی به خرچنگ‌ها، به مدت ۱۰ روز به طور روزانه کنترل و در روزهای سوم و پنجم و دهم نمونه‌هایی از بافت و همولنف خرچنگ‌ها نمونه گیری شد و از نظر وجود ویروس لکه سفید مورد آزمون قرار گرفت (Nested-PCR Afsharnasab و همکاران، ۲۰۰۹).

در مورد نمونه‌های بافت خرچنگ طبق دستورالعمل کیت تجاری (IQ2000) Nested-PCR عمل گردید و استخراج DNA و آزمون انجام گردید. ولی در مورد همولنف خرچنگ‌ها از کیت تجاری استخراج DNA مربوط به شرکت Roche استفاده شد.

۲-۵-۲- لیوفیلیزاسیون ویروس لکه سفید میگو

۲۰ میکرولیتر از همولنف خرچنگ‌های آلدده به ویروس لکه سفید که از طریق آزمون Nested PCR مورد تأیید قرار گرفته بودند، پس از سانتریفوژ با دور ۲۰۰۰ در دقیقه در دمای ۴ درجه سانتی‌گراد (مرحله سانتریفوژ ۳ بار تکرار شد) و جداسازی سوسپانسیون ویروسی، جهت تهیه ویروس لیوفیلیزه بکار رفت. محلول ۱۰٪ پودر شیرخشک بدون چربی (Skimmilk 10%) به میزان ۱ به ۵ به سوسپانسیون ویروسی اضافه شد و در آمپول‌های مخصوص دستگاه لیوفیلیزه تقسیم و به صورت پودر خشک منجمد شده تحت خلاء (لیوفیلیزه شده) تبدیل گردید (Lightner and Redman, 2012).

۲-۵-۳- تعیین عیار ویروس

از روش تعیین Lethal Dose₅₀ (LD₅₀) طبق پروتکل (Van Hulten, ۲۰۰۰) استفاده گردید. سریال رقتی از ۱/۱۰، ۱/۱۰۰ و ۱/۱۰۰۰ از سوسپانسیون ویروسی (همولنف حاوی ویروس WSSV) در بافر استریل TN تهیه و سپس به هر میگو (۱۵ میگو بالغ یا پست لارو در هر رقت) مقدار ۱۰ میکرولیتر از رقت‌های فوق با سرنگ ۲۹ g در ناحیه بند سوم یا چهارم به صورت داخل عضلانی تزریق گردید و روزانه دو بار از نظر تعداد تلفات شمارش صورت گرفت. لازم به ذکر است تعداد میگوهای که در روز اول پس از تزریق تلف شدند در شمارش تلفات برای محاسبه تیتر قرار نگرفتند. تلفات تا ۸ روز بعد از تزریق شمارش گردید. تیتر ویروسی با استفاده از فرمول کربر محاسبه گردید.

Karber Formula:

$$-\text{Log } \text{LD}_{50} = X^a - D \quad (\text{Sp} = 0.5)$$

X^a is the last dilution index for which all n cultures are infected ($p=1$)

D is the log of the dilution factor ($\log 10 = 1$)

P is virus dilution proportion of infected cultures

Sp is the summation of p between the last dilution for which all cultures are infected ($p=1$) and the first dilution for which all n cultures are unaffected ($p=0$). (Karber, 2002)

۲-۶- تیماربندی آزمایش مواجهه سازی

در پایان روز چهاردهم پس از تغذیه، میگوها طبق جدول ۱-۲ تیماربندی شده، در تیمارهای ۱ و ۴ با ویروس لکه سفید مورد مواجهه سازی قرار گرفتند و تیمارهای ۲ و ۳ میگوها با ویروس مواجه نشدند. علایم بالینی و تلفات تا ۱۰ روز بعد از مواجهه سازی ثبت و در روزهای ۱، ۹، ۳، ۱ و ۲۵ پس از مواجهه سازی از همولنف میگوها نمونه گیری و برای آزمایش های بعدی نگهداری شد (Yongchun Huang et al., 2012). به منظور اطمینان از آلوده بودن تیمارهای مواجهه شده با ویروس طی روزهای ۱ و ۳ و ۱۰ بعد از مواجهه با ویروس نسبت به انجام آزمایش PCR برای نمونه اقدام شد.

جدول ۱-۲- نحوه اجرای تیمارهای آزمایشی

تعداد	واجهه با ویروس	تغذیه	تیمار
۳×۲۵	+	جیره حاوی عصاره جلبک	(T1) ۱
۳×۲۵	-	جیره حاوی عصاره جلبک	(T2) ۲
۳×۲۵	-	جیره معمولی (کنترل منفی)	(T3) ۳
۳×۲۵	+	جیره معمولی (کنترل مثبت)	(T4) ۴

۲-۷- روش و محلول های مورد استفاده در نمونه برداری

برای همولنف گیری، ابتدا سرنگ های انسولین با نیدل شماره ۲۵ به میزان ۰/۶ میلی لیتر از ماده ضد انعقاد پر شده سپس از طریق سینوس شکمی (بعد از پنجمین پای قدم زن) ۰/۴ میلی لیتر همولنف از میگو گرفته شد (Lightner ۲-۷). محلول ضد انعقاد جلوگیری از انعقاد همولنف میگوها با فرمول جدول ۲ (and Redman, 2012) ساخته و در نمونه گیری مورد استفاده قرار گرفت.

جدول ۲-۲: فرمول ساخت ماده ضد انعقاد

ماده ضد انعقاد				فرمول
pH= 7.4	Citrate sodium 100mM= 0.52 g	Sucrose 250 mM = 1.72 g	Tris-HCl 10 mM = 0.03 g	(20 cc) ۱
Glucose 0.115M 1.139 g	EDTA 10 mM=0.186 g	NaCl 0.34M =0.995 g	Trisodium citrate 30mM=0.441g	(50 cc) ۲

۲-۸- شمارش هموسیت‌ها (THC)

شمارش با استفاده از لام هموسیتومتر انجام شد. ۵۰ میکرولیتر از مخلوط همولنف- ماده ضد انعقاد با ۵۰ میکرولیتر از محلول بافر فرمالین خشی ۱۰ درصد (جدول ۲-۲) به مدت ۳۰ ثانیه مخلوط شد. سپس از این مخلوط، ۲۰ میکرولیتر نمونه در شیار H لام نوبار زیر لامل تخلیه گردید. بعد از گذشت ۱ دقیقه هموسیت‌ها شمارش گردیدند. به منظور شمارش از ۲۵ خانه وسط ۵ خانه به صورت تصادفی شمارش شده، میانگین آن‌ها در عدد 10^4 و رقت $(2.5 = \frac{1}{0.4})$ همولنف موجود ضرب گردید (Kakoolaki و همکاران، ۲۰۱۰).

جدول ۳-۲ - فرمول ساخت فرمالین ۱۰٪

فرمالین ۱۰٪			فرمول
NaCl	فرمالین ۳۷٪	آب مقطر	
0.45 m= 58.5 g	10 ml	90 ml	1000 ml

۲-۹- روش استفاده از کیت تجاری Peroxidase Activity Assay Kit

محلول‌های کم حجم آزمایش سانتریفیوژ شده و تمام محلول‌ها به دمای اتاق رسانده شد. محلول‌های کم حجم می‌باشد بعد از سانتریفیوژ خوب مخلوط شوند.

۲-۹-۱- روش نورکلرومتریک

برای تولید سوبسترای آب اکسیژنه ۵ میلی لیتر آب با ۳۴۷ میلی لیتر Assay Buffer مخلوط گردید و ۱ میلی لیتر Assay با کل محلول کنترل مثبت HPR در ظرف حاوی خود محلول HPR، به خوبی مخلوط شد. سپس برای تولید آب اکسیژنه استاندارد، ۱۲۴ میکرولیتر از محلول Assay Buffer با ۱۰ میکرولیتر از سوبسترای آب اکسیژنه به خوبی مخلوط شد.

جهت انجام استاندارد، مقدار $^{(a)}_{(b)}, ^{(c)}_{(d)}, ^{(e)}_{(f)}$ میکرولیتر از محلول استاندارد آب اکسیژنه در چاهک‌های آزمایش ریخته و سپس با کمک محلول Assay Buffer حجم چاهک‌ها به ۵۰ میکرولیتر رسانده شد. چاهک $50\text{ }\mu\text{l}$ نیاز به محلول ندارد ولی مابقی $10, 20, 30, 40$ و $10\text{ }\mu\text{l}$ میکرولیتر به ترتیب برای چاهک‌های خالی، $10, 20, 30$ و 40 اضافه گردید. خانه C (محلول $20\text{ }\mu\text{l}$ میکرولیتر تکرار شده در خانه g). سپس طبق جدول ۱ کاتالوگ $2\text{ }\mu\text{l}$ میکرولیتر از محلول Fluorescent Peroxidase Substrate و $48\text{ }\mu\text{l}$ آب از محلول HPR به همه چاهک‌های تست استاندارد اضافه گردید. با اضافه کردن محلول‌های مذکور، تغییر رنگ محلول‌ها مشاهده شد و همگی صورتی شدند. پس از گذشت ۵ دقیقه، چاهک‌ها درون دستگاه قرار داده شد. بعد از این، $2\text{ }\mu\text{l}$ میکرولیتر از محلول F.P.S. در تمام چاهک‌های آزمایش ریخته شد و سپس مقدار $2\text{ }\mu\text{l}$ آب سوبسترای آب اکسیژنه نیز به چاهک‌ها اضافه گردید و بعد از آن $46\text{ }\mu\text{l}$ میکرولیتر از محلول Assay Buffer به چاهک‌ها اضافه شد.

در مرحله بعدی، ۵۰ میکرولیتر از سرم (نمونه همولنف) به هر چاهک اضافه گردید و بعد از ۳ دقیقه قرار گرفتن در دمای ۲۷ درجه سانتی گراد، درون دستگاه قرار داده شد.

Peroxidase محلول‌ها از دمای ۲۰ درجه سانتی گراد خارج و در دمای اتاق، دور از نور و رطوبت قرار داده شد تا به دمای محیط برسد.

آب اکسیژنه ۰/۸۸ مولار به مقدار ۵ میکرولیتر با ۳۴۷ میکرولیتر محلول بافر به خوبی مخلوط شده و در ۲۰- درجه سانتی گراد نگهداری گردید (قابلیت استفاده تا یک ماه).

HRP کنترل مثبت، در یک میلی لیتر از محلول بافر خیسانده و با پیپت خوب مخلوط شد. سپس به دو قسمت مساوی تقسیم شده و در ۲۰- درجه سانتی گراد تا یک ماه نگهداری و مصرف شد.

* نکته: تمام نمونه‌ها و استانداردها باید دو نمونه‌ای یا دوتایی انجام شود.

محلول استاندارد آب اکسیژنه (روش رنگ‌سنجد): ۱۰ میکرولیتر از آب اکسیژنه با ۱۲۴۰ میکرولیتر از محلول بافر مخلوط گردید تا محلول استاندارد ۰/۱ میلی مولار آماده شود. سپس مقادیر ۰، ۱۰، ۲۰، ۳۰، ۴۰ و ۵۰ میکرولیتر از محلول استاندارد در پلت ۹۶ خانه قرار داده شد تا بلانک (Blank) ۱، ۲، ۳، ۴ و ۵ nmol/well ساخته شود. سپس هر یک، با بافر به حجم ۵۰ میکرولیتر رسانده شد.

محلول استاندارد H₂O₂ برای روش فلورومتریک: طبق روش ساخت محلول ۰/۱ میلی مول استاندارد در قسمت قبلی، آماده گردید. مقدار ۱۰۰ میکرولیتر از آن برداشته و با ۹۰۰ میکرولیتر بافر مخلوط شد تا محلول ۰/۰۱ میلی مول ساخته شود. سپس مقادیر ۰، ۱۰، ۲۰، ۳۰، ۴۰ و ۵۰ میکرولیتر از محلول استاندارد ۰/۰۱ میلی مول در پلت ۹۶ چاهک دار قرار داده شد تا بلانک (Blank) ۱۰۰، ۲۰۰، ۳۰۰، ۴۰۰ و ۵۰۰ nmol/well ساخته شود. سپس هر یک، با بافر به حجم ۵۰ میکرولیتر رسانده شد.

نمودار استاندارد: نمودار استاندارد واکنش مخلوط Fluorescent (Standard curve Reaction Mix) (۲ میکرو لیتر H₂O₂ و ۴۸ میکرولیتر Peroxidase Substrate) تهیه گردید. درون چاهک نمودار استاندارد مقدار ۵۰ میکرولیتر محلول واکنشی استاندارد ریخته شد و در دمای محیط اتاق خوب مخلوط گردید. برای رنگ‌سنجدی، میزان جذب با طول موج ۵۷۰ نانومتر و برای فلورومتریک میزان تراکم اندازه گیری گردید.

۱-۱-۲-۲- آماده‌سازی نمونه

برای هر دو روش رنگ‌سنجدی و فلورسنت نیاز به ۵۰ میکرولیتر از نمونه می‌باشد که در هر چاهک واکنشی ریخته شد. سپس ۱۰ میلی گرم یا 10×10^6 سلول، به آرامی با ۱۰۰-۲۰۰ میکرولیتر محلول بافر هموژنیزه مخلوط و با دور ۱۵۰۰ به ازای هر گرم، برای مدت ۱۰ دقیقه سانتریفیوژ گردید. (برای نمونه‌های ناشناس مقادیر متغیری از حجم نمونه باید آزمایش شود تا از استانداردسازی آن مطمئن گردد).

حجم محلول نمونه‌ها با محلول بافر به ۵۰ میکرولیتر رسانده شد (برای نمونه‌های سرم شکل (بدون مواد نامحلول) را می‌توان مستقیم به چاهک پلت اضافه نمود). مقدار ۱ تا ۵۰ میکرولیتر از نمونه به چاهک پلت ۹۶ اضافه کرده و محلول نهایی محلول در چاهک به ۵۰ میکرولیتر رسانیده شد. برای نمونه کنترل مثبت (اختیاری است)، مقدار ۱ میکرولیتر از محلول کنترل مثبت درون چاهک ریخته و حجم بافر به ۵۰ میکرولیتر رسانده شد.

مقدار ۵۰ میکرولیتر از محلول اصلی واکنشی (Master reaction mix) (۴۶ میکرو لیتر محلول بافر + ۲ میکرولیتر ۲ میکرولیتر H_2O_2 ۱۲.۵Mm +Fluorescent Peroxidase حرکت افقی و پیپت، به خوبی مخلوط شد. سپس پلت چاهک در دمای ۳۷ درجه سانتی گراد قرار داده شد و پس از ۳ دقیقه اندازه گیری گردید. برای روش رنگ سنجی، میزان جذب در طول موج ۵۷۰ نانومتر اندازه گیری شد و برای روش فلورومتریک به شرح زیر عمل گردید:

$FLU_{initial} \lambda_{ex}=535/\lambda_{em}=585\text{ nm}$

پلت در دمای ۳۷ درجه سانتی گراد برای اندازه گیری (A_{570} or FLU) با فاصله ۲ تا ۳ دقیقه قرار داده شد (در این حالت پلت باید دور از نور باشد). اندازه گیری‌ها ادامه یافت تا حجم نمونه فعال بیشتر از ارزش بالاترین استاندارد (رنگ سنجی ۵nmol در چاهک یا روش 500pmol/welfluo) شد (در این زمان بیشترین نمونه فعال نزدیک و یا معادل دامنه نمودار استاندارد می‌باشد). اندازه گیری نهایی برای محاسبه آنزیم فعال، در مرحله ماقبل آخر یا final (A570)or FULL final خوانده شد.

تذکر: ضروری است اندازه گیری نهایی در آخر دامنه نمودار خطی از نمودار استاندارد باشد.

۲-۹-۱-۲-آماده‌سازی نمونه خون

نمونه به مدت ۱۰ دقیقه و با دور ۱۰۰۰ به ازای هر گرم در دمای ۴ درجه سانتی گراد سانتریفیوژ گردید و پلاسما بدون ایجاد اختلاط در لایه‌های رسوب جداسازی شد و به لوله جدید منتقل و در دمای ۸۰ درجه سانتی گراد تا زمان آنالیز نمونه نگهداری شد. سپس لایه ختنی از روی قسمت قرمزنگ پلت برداشته شد و محلول اریتروسیت‌ها در ۵ حجم آب خیلی سرد دو بار تقطیر شده، محلول شد و به ازای هر گرم، ۱۰۰۰۰ دور به مدت ۱۰ دقیقه، درون محفظه اریتروسیت پلت سانتریفیوژ گردید. قسمت بالای محلول در دمای ۸۰- سانتی گراد نگهداری شد تا برای آنالیز آماده شود (پلاسما ممکن است ۱۰-۳ بار رقیق شود و سلول‌های قرمز لیز (Lysis) شده ممکن است تقریباً ۱۰ بار تا قبل از آزمایش و سنجش SOD رقیق گردد).

۲-۹-۱-۳-آماده‌سازی محلول‌ها و نگهداری آن

یک میلی‌لیتر آب دو بار تقطیر با ۱۹ میلی‌لیتر محلول بافر مخلوط گردید (این محلول برای مدت ۲ ماه در دمای ۴ درجه سانتی گراد قابل نگهداری است).

محلول آنزیم به مدت ۵ ثانیه سانتریفیوژ و سپس با پیپت به خوبی مخلوط شد (این کار ضروری است چون آنزیم دارای دو بخش است که باید قبل از رقیق کردن به خوبی باهم مخلوط گردند). بعد از مخلوط در بخش آنزیم، ۱۵ میکرو لیتر از آنزیم با ۲/۵ میلی لیتر از ۲ بافر رقیق شده مخلوط گردید (این محلول سنجش آنزیم تا مدت ۳ هفته در دمای +۴ درجه سانتی گراد پایدار و ماندگار است).

۲-۱۰- اندازه گیری SOD

طبق دستورالعمل ساخت محلول اصلی واکنشی (Master reaction mix)، مقادیر موردنیاز از محلول‌های مختلف تهیه گردید (در صورت استفاده از محلول استانداردی غیراز محلول کیت، نمونه‌ها طبق آن آماده‌سازی شود). ۲۰ میکرو لیتر از محلول نمونه، در دو ظرف و شاهد ۲ ریخته شد و مقدار ۲۰ میکرو لیتر آب به هر کدام از شاهد ۱ و ۳ افزوده و به خوبی مخلوط شد. بعدازآن، مقدار ۲۰۰ میکرو لیتر از WST به هر یک از محلول‌ها افزوده و مخلوط شد. در مرحله بعد، مقدار ۲۰ میکرو لیتر از محلول رقیق شده بافر، به هر یک از شاهدهای ۲ و ۳ اضافه و مخلوط شد. سپس مقدار ۲۰ میکرو لیتر محلول آنزیم به شاهد ۱ نمونه اضافه و کاملاً مخلوط گردید (از آنجاکه سوپراکسید بلافارسله بعد از افزودن آنزیم آزاد می‌شود بهتراست از پیپت چند کاناله استفاده شود تا از تأخیر زمانی و غیر همزمانی واکنش‌ها جلو گیری شود). در آخر ظروف نمونه‌ها در دمای ۳۷ درجه سانتی گراد به مدت ۲۰ دقیقه قرار داده شد، میکرو پلیت‌ها در طول موج ۴۵۰ نانومتر قرائت گردید و مقدار SOD فعال (بر اساس درصد بازماندگی) با کمک فرمول زیر محاسبه کید:

$$\text{SOD Activity} = \frac{(A_{\text{blank1}} - A_{\text{blank3}}) - (A_{\text{sample}} - A_{\text{blank2}})}{(A_{\text{blank1}} - A_{\text{blank3}})}$$

۲-۱۱- اندازه گیری فنل اکسیداز PO

اندازه گیری فنل اکسیداز بر اساس پروتکل Huang و همکاران، ۲۰۱۲ انجام گردید. با استفاده از یک سرنگ ۲ میلی لیتری با سوزن ۲/۵ که حاوی ۲۰۰ میکرو لیتر ماده ضد انعقاد بود با ۲۰۰ میکرو لیتر همولنف میگو مخلوط گردید. مخلوط حاصل به مدت ۱۰ دقیقه با دور ۸۰۰ g ریخته شد و مایع رویی به عنوان پلاسمای این آزمایش مورد استفاده قرار گرفت. ۲۰ میکرو لیتر از پلاسما در یک کووت (Cuvette) اسپکتروفوتومتر به عنوان نمونه مجهول و ۲۰ میکرو لیتر ضد انعقاد به عنوان کنترل در یک کوت دیگر ریخته شد. به هر کوت ۸۸۰ میکرو لیتر محلول L-DOPA اضافه و بعد از ۱ دقیقه و در طول موج ۴۹۰ نانومتر در هر ۱۰ ثانیه تا ۱۲۰ ثانیه قرائت شد و یک واحد آنزیم معادل جذب نور در ۰/۰۰۱ دقيقه بر ۱ میلی لیتر همولنف تعریف گردید.

۲-۱۲- اندازه گیری پروتئین پلاسمای کل (mg/ml) TPP

برای انجام آزمایش اندازه گیری پروتئین پلاسمای کل از سانتریفیوژ با دور ۳۰۰۰ به مدت ۱۰ دقیقه استفاده گردید. دمای سانتریفیوژ ۴ درجه سانتی گراد بوده و از هر تیمار ۳ نمونه مخلوط ضد انعقاد و همولنف اخذ و

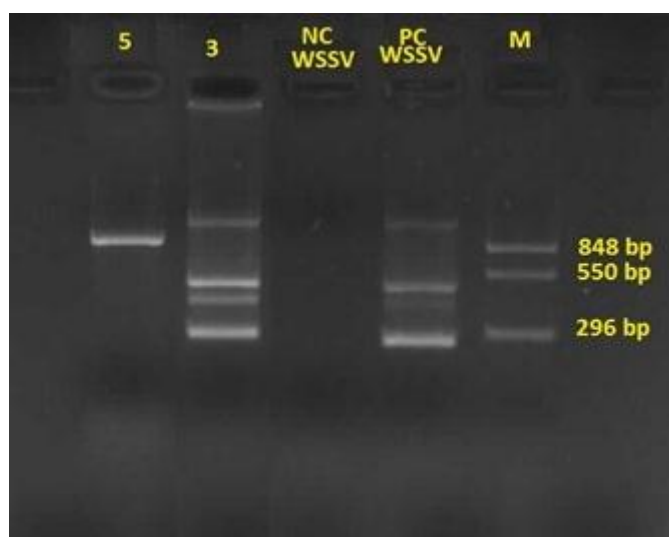
سانتریفیوژ گردید. پس از سانتریفیوژ محلول رویی حذف شده و محلول حاصل پس از ۲۴ ساعت به صورت منجمد به آزمایشگاه ارسال گردید. در آزمایشگاه به روش آنالیز بیوشیمیایی توسط دستگاه Technicon Auto Analyser RA 1000 پروتئین پلاسمای Lowry سنجیده شد. در این آزمایش آلبومین سرم گاو (BSA) به عنوان استاندارد در نظر گرفته شد (Bradford, ۱۹۷۶).

۲-۱۳- تجزیه و تحلیل آماری

آزمایش به صورت طرح کاملاً تصادفی انجام گرفت. در ابتدا شرط نرمال بودن داده‌ها با آزمون آماری اسپیرنوف کولموگراف در SPSS (Kolmogorov-Smirnov test) و همگنی واریانس‌ها به وسیله آزمون Leven تست شد. جهت آنالیز داده‌ها از آزمون آنالیز واریانس دو طرفه (ANOVA Two Way) استفاده شد، سپس وجود تفاوت معنی‌دار در داده‌های به دست آمده در سطح احتمال ($p \leq 0.05$) به کمک پس آزمون Duncan، بررسی شد. تجزیه و تحلیل آماری داده‌ها با استفاده از نرم‌افزار SPSS19 و برای رسم نمودارها از نرم‌افزار Excel 2007 استفاده شد.

۳- نتایج**۱-۳- نتایج PCR**

نتایج حاصل از PCR پس از آزمایش مواجهه سازی نشان دهنده فرم حاد بیماری و وجود ویروس در نمونه های میگوی مواجهه شده با ویروس بود (شکل ۱-۳).



شکل ۱-۳: نتایج PCR در نمونه های مختلف میگو

M - مارکر، NC WSSV - کنترل منفی کیت، PC WSSV - کنترل مثبت کیت، ۳- میگوهای تغذیه شده با گراسیلاریا کورتیکاتا، ۵- کنترل منفی نمونه ها

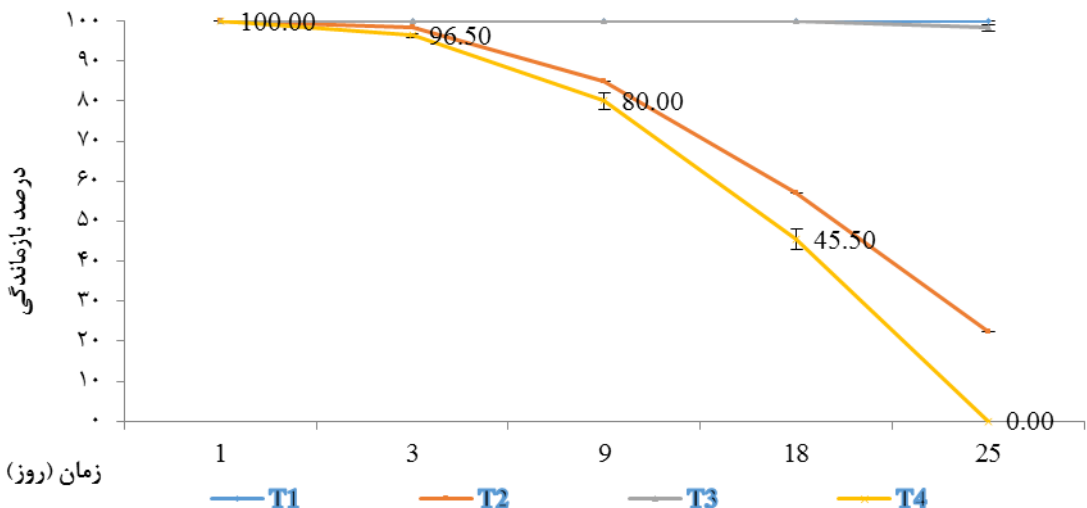
۲-۳- نتایج حاصل از تأثیر خوراکی جلبک گراسیلاریا کورتیکاتا بر مقاومت میگوهای پاسفید**۱-۲-۳- میزان بقا در تیمارهای مختلف**

بیشترین میزان بقاء در تیمارهای ۱ و ۳ به ترتیب به میزان $100 \pm 0/00$ و $98/33 \pm 0/88$ و کمترین میزان بقا در تیمارهای ۲ و ۴ به میزان $22/5 \pm 0/05$ و $20/00 \pm 0/00$ می باشد. نتایج به دست آمده نشان می دهد که مصرف جلبک در میگوهای تیمار ۲ که در مواجهه با ویروس بوده در مقایسه با تیمار ۴ که جلبک مصرف نکرده اند ولی با ویروس مواجه شده به میزان $22/5$ درصد بازماندگی از خود نشان داد. جلبک باعث ارتقا اینمی میگو و افزایش بازماندگی شده است (جدول ۳-۱، نمودار ۳-۱).

جدول ۱-۳- نتایج حاصل از برسی درصد بازماندگی میگوهای پاسفید

تیمار	روز	۱	۳	۹	۱۸	۲۵
(جلبک)	۱۰۰±۰/۰۰a	۱۰۰±۰/۰۰c	۱۰۰±۰/۰۰c	۱۰۰±۰/۰۰b	۱۰۰±۰/۰۰a	۱۰۰±۰/۰۰a
(جلبک/ویروس)	۹۲/۵±۰/۵۰b	۵۷±۱b	۸۵±۱b	۹۸/۵±۰/۵۰B	۱۰۰±۰/۰۰a	
(شاهد)	۹۸/۳۳±۰/۸۸a	۱۰۰±۰/۰۰c	۱۰۰±۰/۰۰c	۱۰۰±۰/۰۰b	±۱۰۰±۰/۰۰a	
(شاهد/ویروس)	۰/۰۰±۰/۰۰	۴۵/۵±۲/۵a	۸۰±۲a	۹۶/۵±۰/۵۰ a	۱۰۰±۰/۰۰a	

(میانگین ± خطای استاندارد) * حروف متفاوت در هر ستون نشانه وجود اختلاف معنی‌دار بین تیمارهای مختلف آزمایشی است ($P<0.05$).



نمودار ۱-۳- مقایسه درصد بازماندگی در تیمار آزمایشی شاهد و جلبک، قبل و پس از مواجهه با ویروس

۲-۳- فاکتورهای ایمنی

افزایش فاکتورهای ایمنی در روزهای آزمایش از روز اول تا روز ۲۵ مشاهده و بیشترین میزان فاکتورهای ایمنی T1، SOD، THC و PO در تیمار T1 در روز ۲۵ آزمایش مشاهده شد. این وضعیت برای تیمار T2 نیز صادق بوده ولی میزان آن به نسبت تیمار T1 کمتر و با هم اختلاف معنی‌دار داشتند ($P<0.05$). برای تیمارهای T3 و T4 نیز افزایش معنی‌دار فاکتورهای ایمنی در روزهای آزمایش دیده شده و اختلاف معنی‌دار ($P<0.05$) وجود داشت و بیشترین میزان در روز ۲۵ مشاهده می‌شود (جدول ۲-۳).

بررسی فاکتورهای اینمی (THS, TPP, PO, SOD, POD) میگوهای تغذیه شده با ... / ۳۳

جدول ۲-۲- نتایج حاصل از بررسی تأثیر جلبک گراسیلاریا کورتیکاتا بر مقاومت میگوهای پاسفید

تیمار ۱ (جلبک)					
۲۵	۱۸	۹	۳	۱	روز
۱۱۷/۷۱±۱۱/۹۷ c	۶۱/۵۴±۲/۹۷ b	۵۰/۳۸±۱/۲۱ b	۲۶/۳۸±۱/۲۵ a	۲۵/۰۹±۰/۶۸ a	هموست (×10 ⁵ cell/ml)
۷۷/۴۵±۰/۸۵ d	۶۸/۰۳±۰/۶۷ c	۵۴/۶۰±۰/۸۱ b	۳۸/۸۰±۰/۷۲ a	۳۸/۱۵±۰/۱۵ a	پروتئین کل (mg/ml)
۶/۷۹±۰/۰۴ d	۶/۴۰±۰/۰۱ c	۶/۲۲±۰/۰۲ b	۶/۱۲±۰/۰۳ a	۶/۰۵±۰/۰۲ a	آنزیم پرو-کسیداز (nmol/min ^{-۱} ml ^{-۱})
۲۴۶۶/۶۷±۸۸/۱۹ d	۱۹۴۳/۳۲±۸۰/۹ c	۱۶۵۰/۰±۷۶/۳۸ b	۱۱۱۶/۶۷±۶۰/۰۹ a	۱۰۱۷/۴۵±۲/۸۰ a	سوپرا-اکسیدیسموتاز (Activity Uml ^{-۱})
۵۹۷/۲۳±۲/۶۰ d	۵۰۴/۲۳±۲/۰۲ c	۴۵۶/۶۷±۰/۸۸ b	۴۰۹/۶۷±۱/۷۶ a	۴۰۵/۰۹±۱/۳۲ a	آنزیم فنول اکسیداز (U min ^{-۱} ml ^{-۱})
تیمار ۲ (جلبک/ویروس)					
۵۹/۱۱±۱/۴۴ d	۳۷/۰۸±۰/۶۵ c	۲۲/۶۶±۰/۵۲ b	۱۴/۲۰±۰/۱۳ a	۱۴/۰۰±۰/۰۷ a	هموست (×10 ⁵ cell/ml)
۷۷/۲۰±۱/۲۷ d	۶۳/۲۳±۰/۴۷ c	۵۱/۵۰±۱/۵۲ b	۳۳/۶۰±۰/۹۸ a	۳۳/۴۰±۰/۱۰ a	پروتئین کل (mg/ml)
۶/۲۹±۰/۰۸ c	۶/۰۶±۰/۰۱ b	۵/۹۵±۰/۰۲ ab	۵/۹۱±۰/۰۳ a	۵/۸۷±۰/۰۰ a	آنزیم پرو-کسیداز (nmol/min ^{-۱} ml ^{-۱})
۱۹۸۳/۳۲±۱۱۶/۶۷ d	۱۵۶۶/۶۷±۸۸/۱۹ c	۹۰۶/۶۷±۶۹/۸۴ b	۵۷/۰۰±۲/۸۲ a	۵۵۴/۶۱±۰/۵۳ a	سوپرا-اکسیدیسموتاز (Activity Uml ^{-۱})
۳۶۹/۲۳±۱/۸۶ d	۳۳۴/۰۰±۳/۰۶ c	۲۹۱/۶۷±۰/۸۸ b	۲۵۲/۳۳±۱/۴۵ a	۲۴۷/۰۰±۲/۴۴ a	آنزیم فنول اکسیداز (U min ^{-۱} ml ^{-۱})

(میانگین ±خطای استاندارد) *حروف متفاوت در هر ردیف نشانه وجود اختلاف معنی دار بین روزهای مختلف آزمایشی است (P<0.05).

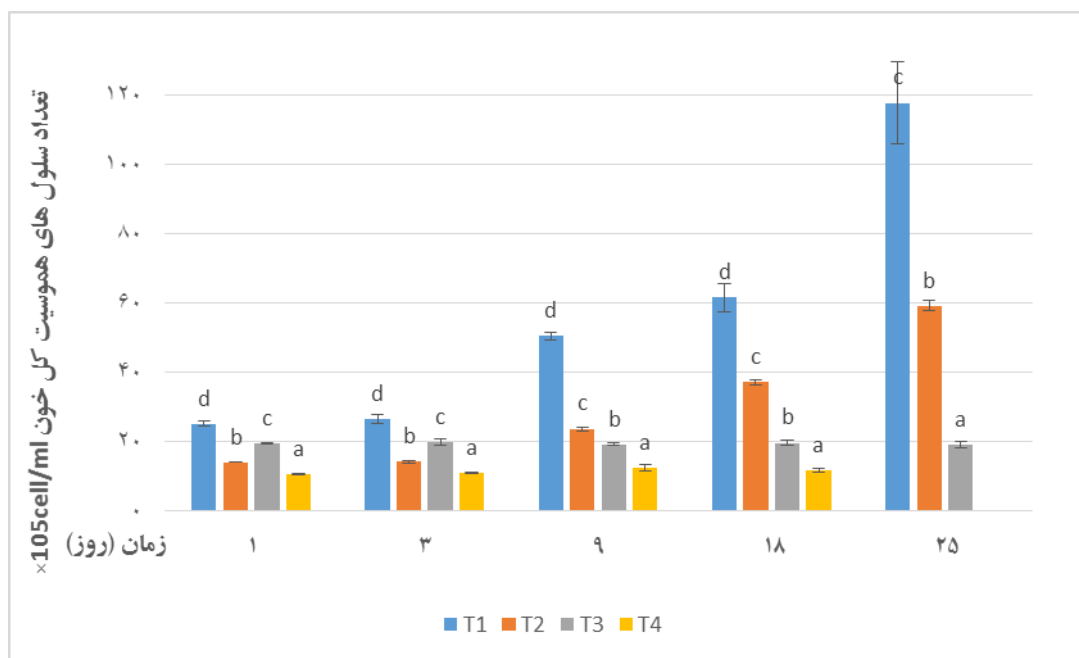
ادامه جدول ۲- نتایج حاصل از بررسی تأثیر جلبک گراسیلاریا کورتیکاتا بر مقاومت میگوهای پاسفید

تیمار ۳ (شاهد)					
۲۵	۱۸	۹	۳	۱	روز
۱۹/۰۰±۰/۸۶ a	۱۹/۶۲±۰/۵۸ a	۱۹/۱۷±۰/۳۲ a	۱۹/۷۹±۰/۹۷ a	۱۹/۵۳±۰/۱۳ a	هموست (×10 ⁵ cell/ml)
۳۶/۱۰±۲/۸۰ a	۳۳/۲۰±۱/۶۰ a	۳۴/۳۵±۰/۸۵ a	۳۳/۹۵±۲/۶۵ a	۳۳/۷۰±۰/۲۰ a	پروتئین کل (mg/ml)
۵/۸۰±۰/۲۵ a	۵/۶۹±۰/۴۲ a	۵/۸۰±۰/۲۸ a	۵/۷۴±۰/۲۱ a	۵/۹۰±۰/۰۲ a	آنزیم پرو-کسیداز (nmol/min ^{-۱} ml ^{-۱})
۴۹۶/۰۰±۵/۰۰ a	۴۹۹/۵۰±۲۱/۵۰ a	۴۹۵/۰۰±۱۵/۰۰ a	۵۱۰/۰۰±۳۲/۱۵ a	۵۰۳/۹۷±۲/۹۱ a	سوپرا-اکسیدیسموتاز (Activity Uml ^{-۱})
۴۱۹/۲۲±۶۶/۲۲ a	۳۷۴/۰۰±۹/۶۴ a	۳۸۱/۳۲±۲۳/۹۲ a	۳۹۰/۰۰±۱/۷۳ a	۳۸۶/۵۵±۰/۷۹ a	آنزیم فنول اکسیداز (U min ^{-۱} ml ^{-۱})
تیمار ۴ (شاهد/ویروس)					
۱۱/۵۵±۰/۵۵ a	۱۲/۵۰±۱/۰۰ a	۱۱/۰۰±۰/۱ a	۱۰/۶۰±۰/۱۹ a	۱۰/۰۰±۰/۱۹ a	هموست (×10 ⁵ cell/ml)
۲۴/۴۵±۱/۵۵ a	۲۵/۵۵±۱/۳۵ a	۲۴/۲۵±۱/۲۵ a	۲۴/۵۵±۰/۱۵ a	۲۴/۵۵±۰/۱۵ a	پروتئین کل (mg/ml)
۵/۹۱±۰/۰۱ a	۵/۸۳±۰/۰۱ a	۵/۷۹±۰/۰۴ a	۵/۸۰±۰/۰۱ a	۵/۸۰±۰/۰۱ a	آنزیم پرو-کسیداز (nmol/min ^{-۱} ml ^{-۱})
۳۱۵/۰۰±۶/۰۰ a	۳۰۹/۵/۰۵±۵/۵۰ a	۳۲۲/۳۲±۲۸/۴۸ a	۳۱۹/۵۴±۲/۰ a	۳۱۹/۵۴±۲/۰ a	سوپرا-اکسیدیسموتاز (Activity Uml ^{-۱})
۲۱۴/۰۰±۴/۰۰ a	۲۰۷/۰۰±۲/۲۹ A	۲۰۸/۰۰±۲/۷۹ a	۲۰۳/۸۱±۲/۶۵ a	۲۰۳/۸۱±۲/۶۵ a	آنزیم فنول اکسیداز (U min ^{-۱} ml ^{-۱})

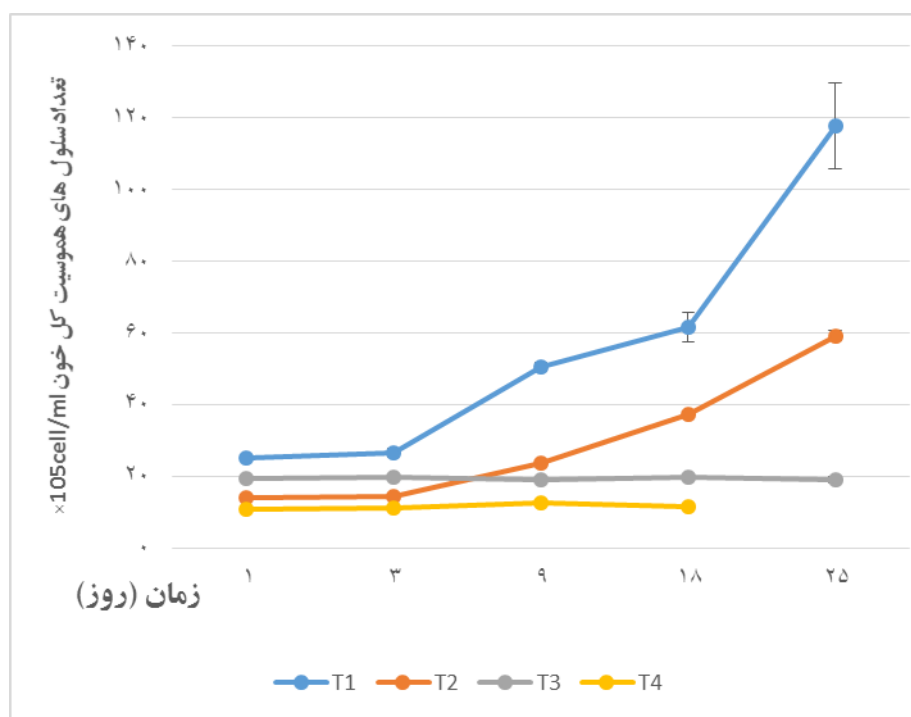
(میانگین ±خطای استاندارد) *حروف متفاوت در هر ردیف نشانه وجود اختلاف معنی دار بین روزهای مختلف آزمایشی است (P<0.05).

۱-۲-۲-۳- میزان هموست کل (THC)

میزان هموست کل برای تیمارهای مختلف از روز اول آزمایش روند صعودی داشته و بیشترین میزان آن در تیمار T1 و در روز ۲۵ می باشد. میزان هموست کل در روزهای مختلف در بین تیمارها اختلاف معنی دار داشته (P<0.05) و کمترین میزان هموست کل در تیمار T4 مشاهده گردید. نتایج نشان می دهد که مصرف جلبک باعث افزایش میزان هموست کل در تیمارهای T1 و T2 در مقایسه با تیمارهای T3 و T4 شده و مواجهه با ویروس موجب کاهش میزان هموست کل در تیمارهای T2 و T4 شده است (نمودار ۲-۳ و ۳-۳).



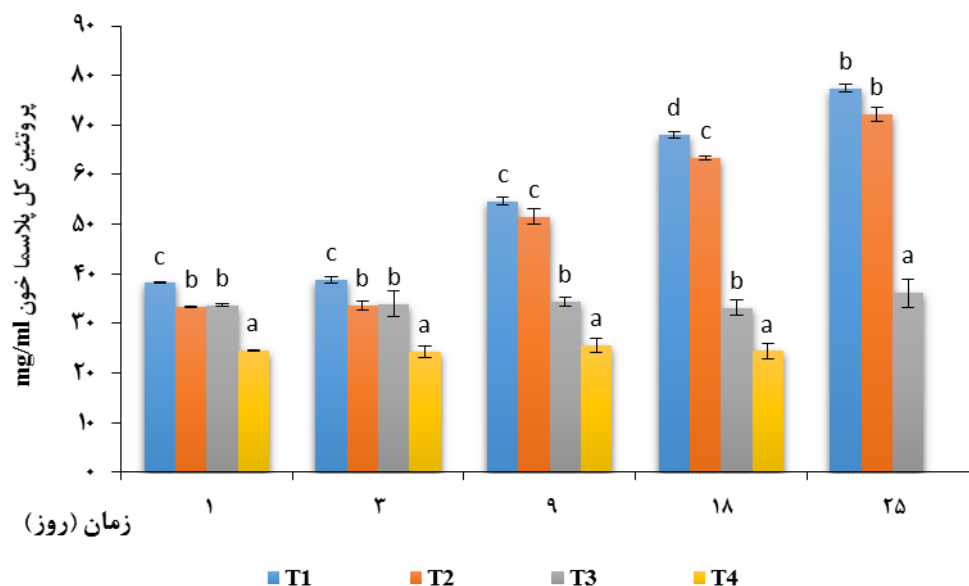
نمودار ۲-۳- مقایسه شاخص هموزیست کل در تیمار آزمایشی شاهد و جلبک، قبل و پس از مواجهه با ویروس



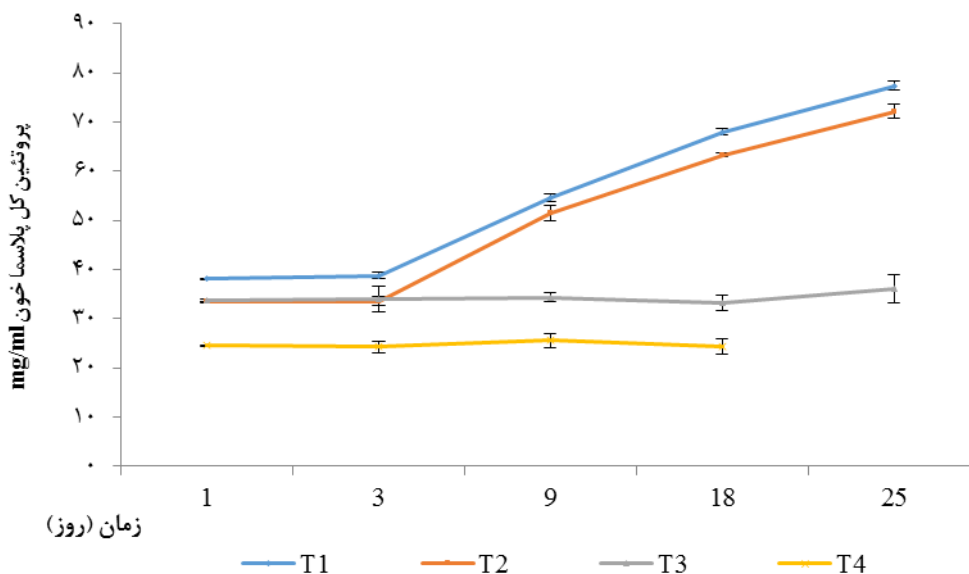
نمودار ۳-۳- مقایسه روند هموزیست کل در تیمار آزمایشی شاهد و جلبک، قبل و پس از مواجهه با ویروس

۲-۲-۳-۳- میزان پروتئین کل (TPP)

پروتئین کل نیز در کلیه تیمارها روند افزایشی داشته و بیشترین میزان در تیمار ۱ (T1) مشاهده شد (نمودار ۳-۴) و (P<0.05). کمترین میزان پروتئین کل در تیمار ۴ (T4) مشاهده شد که در کلیه تیمارها اختلاف معنی داری دارند. نتایج نشان می دهد در تیمارهایی که در جیره غذایی آنها جلبک وجود داشت افزایش میزان پروتئین کل دیده شد و مواجهه ویروس با میگوها باعث کاهش پروتئین کل در تیمارهای T2 و T4 گردیده است.



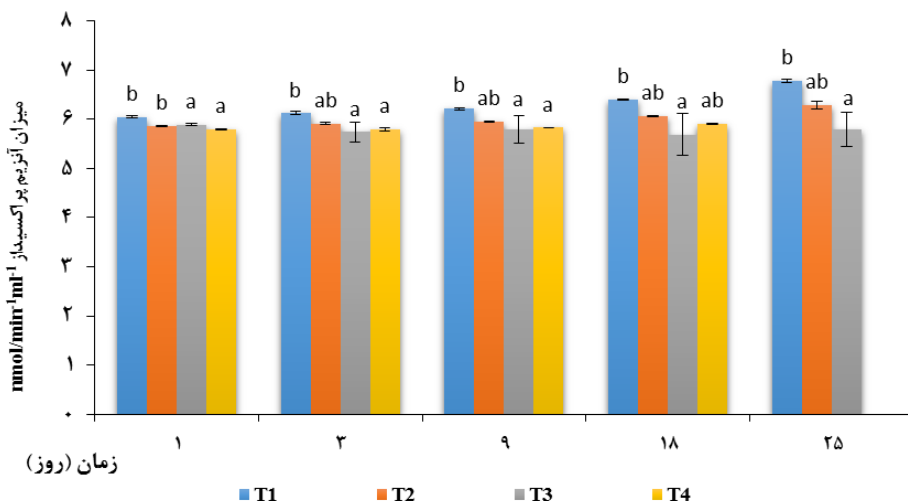
نمودار ۳-۴- مقایسه شاخص پروتئین کل در تیمار آزمایشی شاهد و جلبک، قبل و پس از مواجهه با ویروس



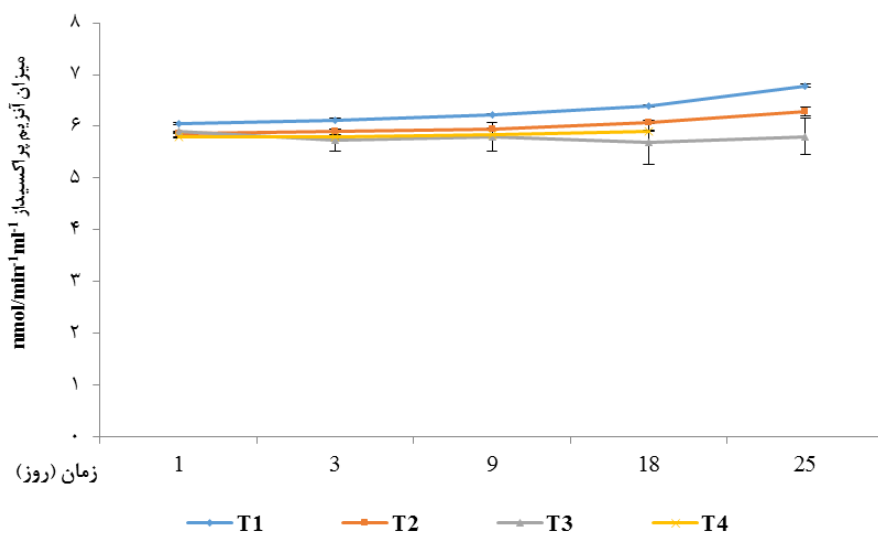
نمودار ۳-۵- مقایسه روند پروتئین کل در تیمار آزمایشی شاهد و جلبک، قبل و پس از مواجهه با ویروس

۳-۲-۳- میزان آنزیم پراکسیداز (POD)

آنزیم پراکسیداز در در تیمارها افزایش معنی‌داری ($P<0.05$) داشته و بیشترین میزان در تیمار T1 و کمترین میزان در تیمار T4 می‌باشد. همچنین میزان این آنزیم در تیمار T4 طی روزهای ۱، ۳ و ۹ اختلاف معنی‌داری نداشت ($P>0.05$) ولی با روز ۱۸ اختلاف معنی‌دار داشت ($P<0.05$) و میزان آنزیم پراکسیداز افزایش نشان داد. مصرف جلبک باعث افزایش آنزیم شده ولی مواججه ویروس با میگوها باعث کاهش میزان این آنزیم در مقایسه با تیمارهای T2 و T4 شده است (نمودار ۳-۶ و ۷-۳).



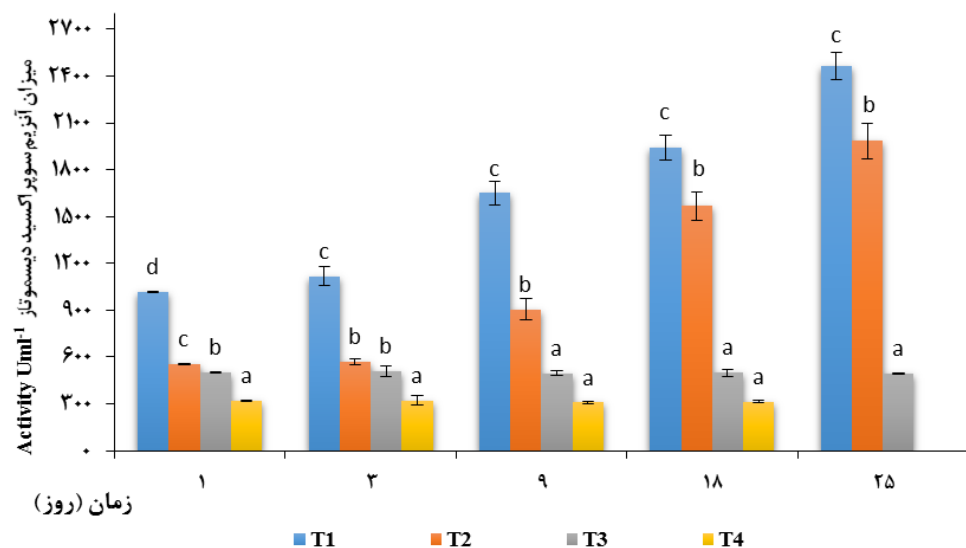
نمودار ۳-۶- مقایسه آنزیم پراکسیداز در تیمار آزمایشی شاهد و جلبک، قبل و پس از مواججه با ویروس



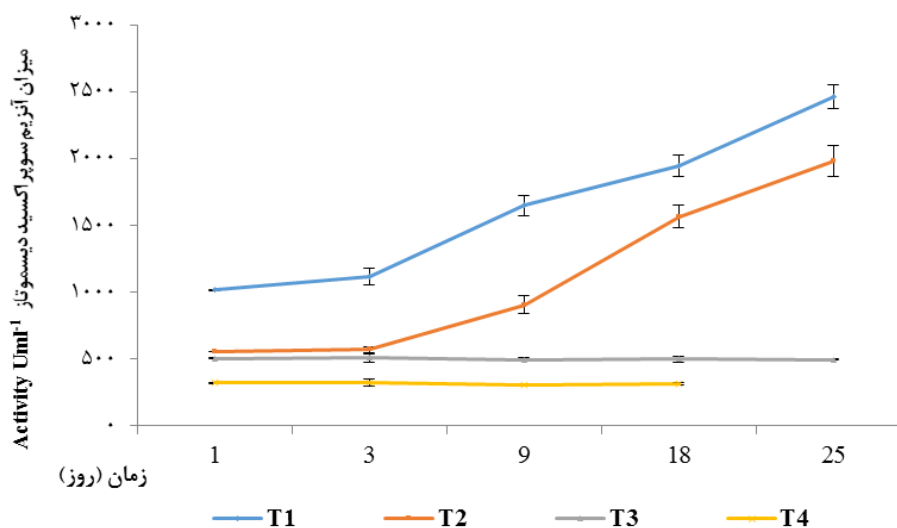
نمودار ۷-۳- مقایسه روند آنزیم پراکسیداز در تیمار آزمایشی شاهد و جلبک، قبل و پس از مواججه با ویروس

۴-۲-۳-۳- میزان آنزیم سوپر اکسید دیسموتاز (SOD)

وضعیت این آنزیم و روند آن در آزمایش در نمودار ۳-۸-۳ مشاهده می‌شود. میزان این آنزیم در تیمارهای T1 و T2 در مقایسه با تیمارهای T3 و T4 بهشت افزایش و اختلاف معنی‌دار نشان می‌دهد ($P<0.05$). همچنین مقایسه تیمارهای T2 و T4 که با ویروس مواجهه شده با تیمارهای T1 و T3 که با ویروس مواجهه نشده‌اند نشان می‌دهد که مواجهه ویروس موجب کاهش این آنزیم در مقایسه با گروه‌های مشابه بدون مواجهه (T1 و T3) شده است.



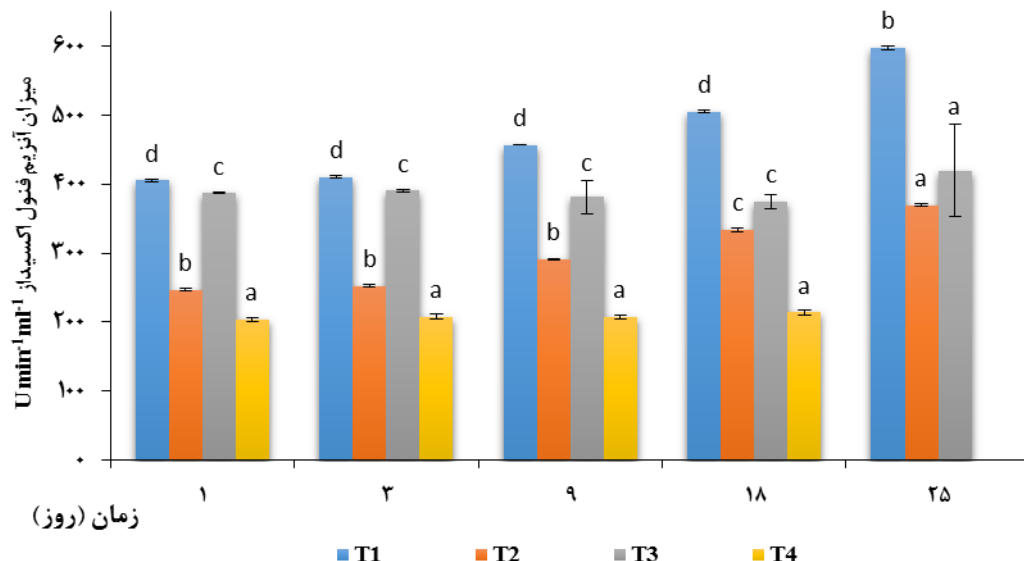
نمودار ۳-۸-۳- مقایسه آنزیم سوپر اکسید دیسموتاز در تیمار آزمایشی شاهد و جلبک، قبل و پس از مواجهه با ویروس



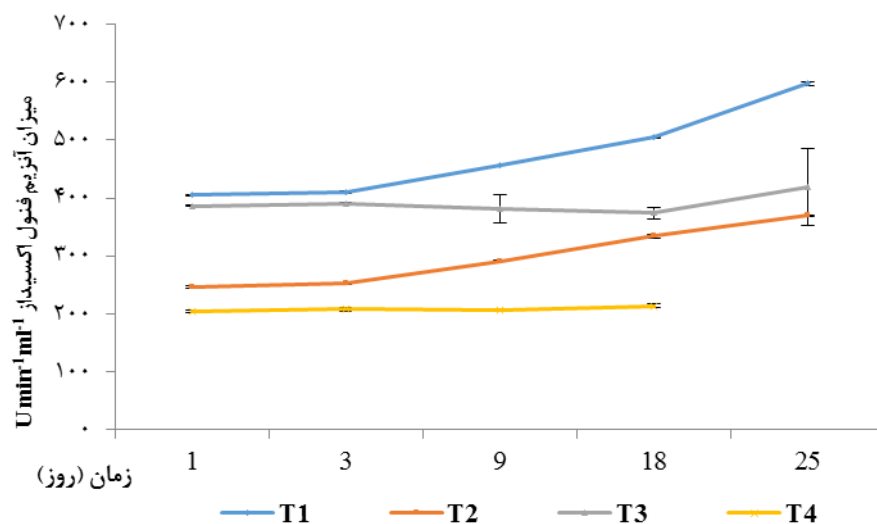
نمودار ۳-۹- مقایسه روند آنزیم سوپر اکسید دیسموتاز در تیمار آزمایشی شاهد و جلبک، قبل و پس از مواجهه با ویروس

۳-۲-۵- میزان آنزیم فنول اکسیداز (PO)

میزان این آنزیم و روند افزایشی آن در نمودار ۱۰-۳ و ۱۱-۳ ارائه شده است. روند افزایشی آنزیم در تیمارهای T1 و T2 در مقایسه با تیمارهای T3 و T4 کاملاً معنی دار بود ($P<0.05$). در تیمار T4 میزان این آنزیم در میگوهای مواجهه شده با ویروس و بدون مصرف جلبک در تمام روزها تغییرات معنی دار نشان نمی دهد ($P>0.05$) و در روز ۲۵ کلیه میگوهای این تیمار از بین می روند.



نمودار ۱۰-۳- مقایسه آنزیم فنول اکسیداز در تیمار آزمایشی شاهد و جلبک، قبل و پس از مواجهه با ویروس



نمودار ۱۱-۳: مقایسه روند آنزیم فنول اکسیداز در تیمار آزمایشی شاهد و جلبک، قبل و پس از مواجهه با ویروس

۴- بحث و نتیجه گیری

موضوع بهداشت و بیماری‌های میگو یکی از مهم‌ترین چالش‌های در گیر با صنعت پرورش میگو می‌باشد که سالیانه بالغ بر ۲۲ درصد از میگوی تولیدی دنیا را از بین می‌برد و رقمی معادل ۶ میلیارد دلار به این صنعت خسارت وارد می‌نماید. در میان بیماری‌های ویروسی میگو بیماری لکه سفید خسارت زیادی به مزارع پرورشی وارد نموده و پرورش دهنده‌گان از بابت این بیماری خسارت سنگینی متحمل شده‌اند. از سال ۱۹۹۲ که این بیماری بروز کرد موجب تلفات بسیار زیادی در مزارع پرورش میگو در سراسر جهان گردید. طی دو دهه، این بیماری به کلیه مناطق دنیا گسترش یافت و بالغ بر میلیاردها دلار خسارت به پرورش دهنده‌گان میگو وارد نمود. هم‌اکنون جهت پیشگیری از این بیماری با اعمال شیوه‌های اینمی زیستی از قبیل ضد عفونی کردن مزارع و آب، جلوگیری از ورود حاملین و ناقلین ویروس به مزارع پرورشی و ذخیره‌سازی استخراه‌ای پرورشی با میگوها و پست لاروهای عاری از بیماری موجب کاهش خطرات ناشی از این بیماری شده‌اند. اعمال این شیوه‌ها در مزارع پرورشی موجب افزایش تولید نیز گردیده است (Anderson و Valderrama, ۲۰۱۱).

از مهم‌ترین روش‌ها می‌توان به استفاده از میگوهای عاری از عوامل بیماری زای خاص (SPF)، استفاده از محرک‌های سیستم اینمی، اعمال روش‌های اینمی زیستی و واکسیناسیون اشاره داشت. استفاده از واکسن پایدار و مؤثر در میگو به دلیل نداشتن سیستم اینمی خاطره‌ای تاکنون به طور کامل موفقیت‌آمیز نبوده است و یکی از بهترین روش‌ها برای پیشگیری از بیماری لکه سفید استفاده از تحریک کننده‌های سیستم اینمی میگو می‌باشد (افشارنسب و همکاران، ۱۳۹۵). در بین محرک‌های سیستم اینمی میگو می‌توان به استفاده از عصاره گیاهان دریایی و مخمرها اشاره داشت (افشارنسب و همکاران، ۱۳۹۵). در این تحقیق در خصوص تأثیرات استفاده از عصاره گیاه دریایی گراسیلاریا کورتیکاتا (*G.corticata*)، در پیشگیری از بیماری لکه سفید مطالعه صورت پذیرفت.

میگوهای تغذیه شده با عصاره جلبک در مقایسه با میگوهای تغذیه شده با غذای تجاری بدون عصاره در مواجهه با ویروس بیماری لکه سفید به طور معنی‌داری ($P < 0.05$) از بقا بیشتری برخوردار بودند ($22/5 \pm 0/5b$). بنابراین عصاره جلبک گراسیلاریا کورتیکاتا دارای قدرت محافظت کننده‌گی در برابر ویروس لکه سفید می‌باشد. خاصیت ضد ویروسی جلبک‌ها را می‌توان به ترکیبات پلی‌ساکاریدی، تانن، فلاونید، فنل، بروموفنل و کارتنوئیدها مرتبط دانست (Rajasekar و همکاران، ۲۰۱۲؛ Rodriguez و همکاران، ۲۰۱۰). از جمله جلبک‌های دارای خواص ضد ویروسی علیه ویروس لکه سفید: *Cynodon dactylon*, *Lantana camara*, *Momordica charantia*, *Phyllanthus amarus*, *Aegle marmelos* و *tenuistipitate* (*G. Lin* و همکاران، ۲۰۱۱؛ Balasubramanian و همکاران، ۲۰۰۷).

مکانیسم‌های مختلفی ممکن است در خاصیت ضدویروسی جلبک گراسیلاریا کورتیکاتا نقش داشته باشد. اول اینکه مهم‌ترین راه‌های ورود ویروس لکه سفید به میگو سلول‌های اپتلیال روده قدامی، آبشش، کوتیکول (Chang و همکاران، ۱۹۹۶) و روده میانی (Di Leonardo و همکاران، ۲۰۰۵) می‌باشد. به نظر می‌رسد که ترکیبات پلی-ساکارید موجود در جلبک گراسیلاریا کورتیکاتا با ویروس لکه سفید رقابت نموده و در این رقابت ویروس نمی‌تواند وارد سلول‌های میگو گردد. دومین روش ممکن این است که گیرنده‌های سطح سلول‌های میگو ممکن است به‌وسیله ترکیبات موجود در جلبک گراسیلاریا پوشیده شده و اجازه ندهد که ویروس‌ها به سطح سلول‌های میگو بچسبند. ویروس لکه سفید از طریق اندوسیتوز و به‌واسطه واکنش‌های پروتئینی کلاترین وارد سلول‌های میگو می‌شود. بر اساس این مدل ویروس به گیرنده‌های سطح سلول‌ها متصل و سپس بر اساس شبکه اندوسیتوز با واسطه کلاترین (Clathrin dependent endocytosis) و Verbruggen (Verbruggen و همکاران، ۲۰۱۶).

اندوسیتوز با واسطه وزیکول‌های کوچکی (قطر تقریبی ۱nm) که توسط پروتئین سیتوپلاسمی کلاترین پوشیده شده‌اند، صورت می‌گیرد. مولکول‌هایی به این طریق می‌توانند وارد سلول شوند که برای آن‌ها در سطح سلول گیرنده وجود داشته باشد و از لحاظ شکل فضایی مکمل ماده ورودی به سلول باشند. درواقع برای هر ماده‌ای که از طریق اندوسیتوز با واسطه گیرنده وارد سلول می‌شود، یک نوع گیرنده روی سطح سلول وجود دارد. اولین گام برای ورود به سلول از طریق اتصال به همین گیرنده‌ها می‌باشد، بعد از اتصال گیرنده به لیگاند، در زیر گیرنده یک ساختار پروتئینی به نام کلاترین شکل می‌گیرد (Huang و همکاران، ۲۰۰۸). تاکنون ۱۱ الگوی شناسایی گیرنده در میگو شناسایی شده است. یکی از این الگوهای شناسایی گیرنده (PRR) مهم‌سی‌لکتین است که با پروتئین VP28 (یکی از مهم‌ترین پروتئین‌های مؤثر در ورود ویروس لکه‌سفید) باند می‌شود. سی‌لکتین دارای یک یا دو محل باند شدن در سطح سلول‌ها بوده و به کربوهیدرات‌ها نیز بسیار حساس می‌باشد. در صورت تغذیه میگو با جلبک گراسیلاریا کربوهیدرات‌ها به محل سی‌لکتین باند و مانع از چسبیدن VP28 ویروس لکه سفید شده و به این طریق مانع بیماری‌زاوی ویروس می‌شوند (Wang و Wang، ۲۰۱۳).

مطالعات صورت گرفته قبلی نیز تائید می‌کند که جلبک‌های حاوی کربوهیدرات و فوکوئیدان شامل جلبک قهوه‌ای Chotigeat و همکاران، ۲۰۰۴)، جلبک Sargassum polycystum (Immanuel و همکاران، ۲۰۱۲) عصاره جلبک قرمz Gracilaria tenuistipitata (Sirirustananun و همکاران، ۲۰۱۱) و جلبک Rudtanatip (Gracilaria fisheri Wongprasert و همکاران، ۲۰۱۴) می‌توانند موجب کاهش تلفات ویروس لکه سفید شده و به نظر می‌رسد مکانیسم عمل جلبک استفاده شده در این تحقیق شبیه سایر جلبک‌های خانواده گراسیلاریا می‌باشد.

سلول‌های لنفاوی کل و تغییرات آن‌ها یکی از شاخص‌های مهم در استفاده از محرک‌های سیستم اینمی در میگو می‌باشد (Wang و Chen، ۲۰۰۶) همچنین میزان تولید سلول‌های لنفاوی میگو در برابر تغییرات محیطی و یا استرس تغییر می‌کند (Kumar و همکاران، ۲۰۰۸).

میزان THC میگوهای تغذیه شده با جلبک در مواجهه با ویروس کاهش یافت که این کاهش ممکن است ناشی از ۱) هجوم ویروس لکه‌سفید به بافت‌های سازنده سلول‌های لنفی و محدود کردن هماتوپویزیس و یا ۲) مهاجرت سلول‌های لنفاوی گرانولار، سمی گرانولارو هیالین سل به بافت‌هایی که مورد هجوم ویروس قرار گرفته به منظور دفاع از بافت‌های آسیب‌دیده و مقابله با ویروس باشد.

نتایج حاصله از تحقیق حاضر با نتایج تحقیقات انجام‌شده توسط Balasubramanian و همکاران (۲۰۰۸)، Lin و همکاران (۲۰۱۱) و Wongprasert و همکاران (۲۰۱۴) همخوانی داشته به‌طوری که این محققان پیشنهاد داده‌اند سولفات گالاکتان و کربوهیدرات موجود در گراسیلاریا موجب تحریک سیستم اینمی میگو و همچنین افزایش خاصیت ضدویروسی در مقابل ویروس لکه سفید می‌شود.

میزان پروتئین کل پلاسمما (TPP) نیز شیوه همولنف کل (THC) یکی از فاکتورهای تعیین‌کننده سلامتی میگوها می‌باشد (Yoganandhan و همکاران، ۲۰۰۳). در مطالعه حاضر میزان پروتئین کل پلاسمما در تیمار ۱ (T1) که از غذای حاوی جلبک گراسیلاریا کورتیکاتا تغذیه نموده اند بالاتر از میگوهایی است که غذای مشابه مصرف ولی با ویروس لکه سفید مواجهه گردیده است (T2). این در حالی است که میگوهای تغذیه شده با غذای پلت بدون گراسیلاریا کورتیکاتا (T3) و میگوهای تغذیه شده با همین نوع غذا و مواجهه شده با ویروس لکه سفید (T4) از نظر میزان پروتئین کل پلاسمما کاملاً اختلاف معنی‌داری دارند ($P < 0.05$) و میزان آن‌ها با میزان پروتئین کل پلاسمما در تیمار T1 و T2 نیز کاهش چشمگیری داشته و اختلاف معنی‌داری دارند ($P < 0.05$).

افزایش میزان پروتئین کل پلاسمما در تیمار T1 و T2 در مقایسه با T3 و T4 ممکن است ناشی از فعالیت بالای بافت‌های همولنف ساز در میگوهای تغذیه شده با جلبک گراسیلاریا کورتیکاتا باشد. بر اساس گزارش Chen و Cheng (۱۹۹۳)، تغییر در میزان پروتئین کل پلاسمما به اندازه، سن، جنس، وضعیت تغذیه و شرایط محیطی بستگی دارد.

پروتئین کل پلاسمما یکی از مهم‌ترین پارامترهای دفاعی در میگو می‌باشد، زیرا تعداد زیادی از الگوهای شناسایی گیرنده‌ها (PRRs_S) شبیه متصل‌کننده‌های پروتئین گرم منفی، لیپوپلی‌ساکارید یا متصل‌کننده‌های پروتئینی بتا ۱ و ۳ گلوکان، پروتئین حاوی تیوسستر، پروتئین مرتبط با فیبرینوژن که در همولنف و هپاتوپانکراس یافت می‌شوند مرتبط با میزان پروتئین کل پلاسمما هستند (Wang و Wang، ۲۰۱۳). به نظر می‌رسد افزایش میزان پروتئین کل پلاسمما در همولنف ناشی از مصرف گراسیلاریا کورتیکاتا بوده که موجب افزایش میزان الگوهای شناسایی گیرنده در همولنف گردیده و این فاکتورها می‌توانند در محافظت میگوها در مقابل با بیماری لکه سفید موثر باشند.

فاکتور مؤثر دیگر آنزیم پراکسیداز (POD) موجود در پلاسمما بوده که به شدت به مولکول‌های رادیکال آزاد اکسیژن^۱ (ROS) ارتباط داشته و در زمان فاگوسیتوز یکی از مهم‌ترین واکنش‌های دفاعی در برابر هجوم ذرات خارجی می‌باشد (Le Moullac and Haffner, ۲۰۰۰). POD نقش بسیار مهمی در مسمومیت ناشی از اکسیژن و دفاع ایمنی در میگو دارد (Liu و همکاران, ۲۰۰۰).

ارگانل‌های پراکسیدزم حاوی رادیکال‌های آزاد اکسیژن، POD و کاتالاز بوده که می‌توانند موجب حفاظت سلول‌ها از تغییر مواد تغییردهنده سلول‌ها نظیر H_2O_2 , آب غیر سمی و رادیکال‌های اکسیژن آزاد باشد (Wang و همکاران, ۲۰۱۲).

Yan و همکاران (۲۰۱۰) گزارش کردند که آنزیم پراکسیداز به‌طور مشخص در ارگانل‌های خاصی بنام پراکسیدزم موجود در کبد، قلب و آبشش قرار دارند. همچنین POD در لیپیدهای اطراف کبد نیز وجود دارند. این محققان نشان دادند که در میگوهای آلوده نیز میزان POD در کبد، قلب و آبشش وجود داشته ولی میزان آن در بافت‌های چربی اطراف کبد کاهش می‌یابد.

در تحقیق حاضر به نظر می‌رسد میزان POD در سلول‌های اصلی این آنزیم با مصرف گراسیلاریا کورتیکاتا در تیمار T1 افزایش می‌یابد هم چنانکه Yan و همکاران (۲۰۱۰) گزارش کردند وقتی میگوها با مصرف جلبک گراسیلاریا کورتیکاتا مواجه شده‌اند میزان POD در همولنف افزایش یافته و سپس در مواجهه با ویروس لکه سفید میزان آن در همولنف کاهش می‌یابد. در تحقیق حاضر میزان POD در تیمار T1 برابر $2466/6 \pm 88/19$ Uml⁻¹ در روز اول بوده و در روز ۲۵ به $679 \pm 0/04$ افزایش می‌یابد ولی در تیمار T2 میزان آن در کلیه روزها در مقایسه با T1 کاهش می‌یابد. این نتایج با نتایج تحقیقات Yan و همکاران (۲۰۱۰) و Wang و همکاران (۲۰۱۲) همخوانی دارد. یکی از آنزیم‌های مؤثر دیگر در واکنش‌های دفاعی میگوها آنزیم سوپراکسیداز دیسموتاز (SOD) است که به‌طور وسیعی در بافت‌های هوایی و غیر هوایی پدید می‌آید. این آنزیم نیز در بررسی سلامتی میگوها مورد ارزیابی قرار می‌گیرد. میزان SOD در تحقیق حاضر $2466/6 \pm 88/19$ در تیمار T1 که با جلبک تغذیه شده در روز اول محاسبه شد و در مقایسه با کلیه تیمارها میزان آن در هر روز افزایش نشان داده و به‌طور معنی‌داری با میزان آن در سایر گروه‌ها اختلاف دارد ($P < 0/05$).

بر اساس گزارش Pacheco و همکاران (۲۰۱۱) میگوهای تغذیه شده با بتا ۱ و ۳ گلوکان، ویتامین E و بتاکاروتون افزایش معنی‌داری در میزان SOD در هپاتوپانکراس و عضلات بعد از ۱۲ و ۲۴ ساعت نشان دادند ولی در مواجهه با ویروس میزان آن کاهش یافت.

^۱Reactive oxygen species

نتایج تحقیق Pacheco و همکاران (۲۰۱۱) و Chang و همکاران (۲۰۰۳) با نتایج حاصل از تحقیق حاضر همخوانی داشته و نشان می‌دهد که مصرف محرک‌های سیستم اینمی موجب افزایش SOD در میگوی بیری سیاه شده و وقتی با پاتوژن‌هایی مثل ویروس لکه سفید مواجهه می‌گردد کاهش می‌یابد. آنزیم دیگری که در این تحقیق مورد ارزیابی قرار گرفت، آنزیم فنل اکسیداز (PO) می‌باشد. سیستم پروفیل-اکسیداز (proPO) یکی از اجزا سیستم دفاعی میگو می‌باشد. این سیستم بالاخص در شناسایی اجزا غیرخودی نقش بسیار اساسی دارد (Van de Braak, ۲۰۰۲).

آنزیم فنل اکسیداز (PO) از مهم‌ترین آنزیم‌هایی است که در زمان فعال شدن سیستم proPO ایجاد گردیده و نقش اساسی در پروسه ملانیزه شدن ناشی از مواجهه با ذرات و یا پاتوژن‌های خارجی دارد (Hernandez-Lopez و همکاران، ۱۹۹۶). این آنزیم توسط پلی‌ساکارید دیواره باکتری‌ها و بتا ۱ و ۳ گلوکان دیواره قارچ‌ها فعال می‌گردد (Smith و Soderhall, ۱۹۸۳). همچنین عصاره تعداد زیادی از گیاهان داروئی نظیر *Cyanodon dactylon*, *Eclipta alba* و *Aegle marmelos*, *Tinospora cordifolia*, *Picrorhiza kurooaa* آزمایش قرار گرفته و همه آن‌ها سیستم proPO را فعال و موجب افزایش آنزیم PO گردیده‌اند (Citarasu و همکاران، ۲۰۰۶).

در تحقیق حاضر آنزیم PO در تیمار T1 به دلیل مصرف گراسیلاریا کورتیکاتا و ترکیب پلی‌ساکارید موجود در آن افزایش یافته، این در حالی است که در تیمار T2 میزان آن بدلیل مواجهه با ویروس لکه سفید کاهش یافته است و سیستم proPO در زمان مصرف گراسیلاریا تحریک شده و میزان آنزیم فنل اکسیداز افزایش یافته (T1) ولی زمانیکه میگوهای تغذیه‌شده با جلبک با ویروس ویروس لکه سفید مواجهه داده می‌شوند (T2) بخشی از آنزیم PO به مقابله با ویروس لکه سفید پرداخته و میزان آن کاهش می‌یابد.

نتایج حاصل از این تحقیق با تحقیق صورت گرفته توسط Chen و همکاران (۲۰۱۵) مطابقت دارد که عصاره جلبک گراسیلاریا تنیستیپیتات (G. tenuistipitata) را در میگوی سفید غربی مورد استفاده قرار دادند و متوجه شدن برخی فاکتورهای اینمی شبیه PO فعال ولی در مواجهه با استرس میزان آن کاهش می‌یابد.

در مطالعه حاضر میزان POD در زمان مصرف میگوها با جیره جلبک گراسیلاریا کورتیکاتا از طریق تشکیل ROS و تولید DO، تولید بالائی از POD نموده ولی وقتی با ویروس مواجهه داده می‌شوند میزان POD کاهش می‌یابد. این نتایج با نتایج حاصل از Lin و همکاران (۲۰۱۱)، Wen-ying و همکاران (۲۰۰۷)، همخوانی دارد. Lin و همکاران (۲۰۱۱)، مشخص نمودند ۱mg/ml بتا گلوکان موجب تحریک ۶ آنزیم شامل POD، SOD، ALP و PO و گردید و پیشنهاد نمودند درجه حرارت آب در این فرآیند تأثیر مستقیمی دارد. همچنین Wen-ying و همکاران (۲۰۰۷) نشان دادند چهار فاکتور اینمی شامل باکتریولیزین (LSZ) در بافت عضلانی، POD، اسید فسفاتاز (ACP) و آلکالین فسفاتاز (AKP) بعد از مصرف بتا گلوکان در همولنف میگو افزایش می‌یابد. این در حالی است که وقتی ویروس لکه سفید به میگوها مواجهه داده می‌شود آنزیم POD در همولنف میگوها کاهش می‌یابد.

این یافته‌ها با نتایج سایر محققین از جمله Sun و همکاران (۲۰۱۵) مطابقت داشته و گزارش نمودند عفونت ویروس لکه سفید به تنها یی و یا با باکتری موجب کاهش آنزیم POD در میگو می‌گردد. این کاهش آنزیم به دلیل فعالیت آنتی‌اکسیدانی آن در بدن میگو است. همچنین یافته‌های این تحقیق با نتایج Yan و همکاران (۲۰۱۰) و Wang و همکاران (۲۰۱۲) مطابقت داشته و بیان می‌دارند وقتی میگو با ویروس لکه سفید موواجهه داده می‌شود میزان POD در همولنف کاهش می‌یابد.

فل اکسیداز (PO) نیز یکی از فاکتورهای ایمنی میگو بوده که با تغذیه گراسیلاریا کورتیکاتا در میگوهای کنترل افزایش یافته ولی وقتی با ویروس لکه سفید موواجهه داده می‌شود کاهش می‌یابد. آنزیم فل اکسیداز از مهم‌ترین آنزیم‌هایی است که در جریان سیستم proPO تولید می‌گردد (Hernandez-Lopez و همکاران، ۱۹۹۶). فعال شدن این آنزیم از طریق فعال شدن سیستم proPO و فعال شدن آنزیم سیستم proPO (PPA) انجام می‌گیرد (Huang و همکاران، ۲۰۱۰). فعال شدن این آنزیم توسط تعداد زیادی از تحریک‌کننده‌های سیستم ایمنی شامل پپتیدوگلیکان (Takahashi و Cerenius و Söderhäll، ۲۰۰۴)، بتاگلوکان (Bai و همکاران، ۲۰۱۴) و لیپوپلی‌ساکارید (Lorenzo و همکاران، ۱۹۹۹) و همکاران (۲۰۰۰)، به این شکل توضیح داده می‌شود که بخشی از فعال‌سازی سیستم proPO در موواجهه با ویروس لکه سفید توسط آنزیم proPO-activating enzyme 2 (PmPPAE2) که باعث توقف فعالیت پروتئین ویروس لکه سفید ۴۵۳ می‌گردد کاهش می‌یابد. این یافته با نتایج حاصل از تحقیق Chen و همکاران (۲۰۱۴) که اعلام داشتند جلبک گراسیلاریا تنستیپیتا (*G. tenuistipitata*) در میگوی سفید غربی موجب افزایش آنزیم PO گردیده ولی در موواجهه با استرس میزان PO کاهش می‌یابد، مطابقت دارد.

پیشنهادها

با توجه به بازماندگی نسبتا بالای میگوهای تغذیه شده با جلبک، پیشنهاد می شود:

- افزایش توان اینمنی میگوها با استفاده از فرآشن های استخراج شده از جلبک ها مورد بررسی قرار گیرد.
- اثرات جلبک گراسیلاریا کورتیکاتا در سنین مختلف میگوی وانامی در شرایط پرورش مورد مطالعه قرار گیرد.
- اثرات دیگر مواد محرک اینمنی در قالب جیره غذایی در میگوی وانامی مورد مطالعه قرار گیرد.

تشکر و قدردانی:

از مدیر کل وقت شیلات و آبزیان استان خوزستان جناب آقای دکتر معینی به سبب حمایت در اجرای این پروژه قدردانی می‌گردد، همچنین از پرسنل و کارگران زحمتکش مجتمع شهید کیانی تشکر می‌گردد.

منابع

- افشارنسب، محمد و همکاران، ۱۳۹۵، ارزیابی تحمل پذیری میگو پا سفید غربی واکسینه با واکسن بیماری لکه سفید و تغذیه شده با مخمر ساکارومایسیس سروزیه و جلبک گراسیلاریا کورتاکا در مواجهه با ویروس بیماری لکه سفید، انتشارات مؤسسه تحقیقات علوم شیلاتی کشور، ۱۱۰ ص.
- افشار نسب، م. ۱۳۸۶. بیماری ویروسی میگو. مؤسسه تحقیقات شیلات ایران. ۲۱۰ ص.
- افشار نسب، محمد؛ سیدمرتضایی، سیدرضا؛ اسکندری، غلامرضا؛ کر، نیازمحمد؛ جرفی، الهام و لالوی، فرامرز (۱۳۸۵). گزارش نهایی بررسی و تعیین منبع بیماری لکه سفید در میگوهای پرورشی منطقه آبادان. مؤسسه تحقیقات شیلات ایران. ۷۵ ص.
- افشارنسب، محمد؛ سیدمرتضایی، سیدرضا؛ آهنگرزاده، مینا؛ هوشمند، حسین؛ کر، نیازمحمد؛ جرفی، الهام؛ سبزعلیزاده، سارا و محسنی نژاد، لفته، (۱۳۸۸). بررسی وضعیت بهداشت و بیماری های مراکز تکثیر و پرورش میگوی کشور. گزارش نهایی پروژه تحقیقاتی، مؤسسه تحقیقات شیلات ایران.
- سالنامه آماری شیلات ایران ۱۳۸۷-۱۳۷۱ . میزان میگوی پرورشی در سال های ۱۳۸۱-۱۳۸۷ . انتشارات سازمان شیلات ایران ص ۲۵.

- Afsharnasab, M., Mortezaei, R., Yegane, V., Kazemi, B., 2009. Gross sign, histopathology and polymerase chain reaction observations of white spot syndrome virus in shrimp specific pathogen free *Litopenaeus vannamei* in Iran. Asian Journal of Animal and Veterinary Advances 4, 297-305.
- Allison, R.W., Meinkoth, J.H., 2007. Hematology without the numbers: in-clinic blood film evaluation. Veterinary Clinics of North America: Small Animal Practice 37, 245-266.
- Arts J.A.J., Taverne-Thiele A.J., Savelkoul H.F.J. & Rombout J.H.W.M. (2007) Hemocyte reactions in WSSV immersion infected *Penaeus monodon*. Fish & Shellfish Immunology 23, 164–170.
- Bai, N., Gu, M., Zhang, W., Xu, W. & Mai, K. 2014. Effects of β-glucan derivatives on the immunity of white shrimp *Litopenaeus vannamei* and its resistance against white spot syndrome virus infection. Aquaculture 426–427, 66–73.
- Balasubramanian, G., Sarathi, M., Rajesh Kumar, S. & Sahul Hameed, A. S. 2007. Screening the antiviral activity of Indian medicinal plants against white spot syndrome virus in shrimp. Aquaculture 263, 15–19.
- Balasubramanian, G., Sarathi, M., Venkatesan, C., Thomas, J. & Sahul Hameed, A. S. 2008. Studies on the immunomodulatory effect of extract of Cyanodon dactylon in shrimp, *Penaeus monodon*, and its efficacy to protect the shrimp from white spot syndrome virus (WSSV). Fish & Shellfish Immunology, 25, 820-828.
- Barton, G.M., 2007. Viral recognition by toll-like receptors. Semin.Immunol. 19, 33-40.Berteau, O. and Mulloy, B., 2003. Sulfated fucans, fresh perspectives: structures, functions, and biological properties of sulfated fucans and an overview of enzymes active towardthis class of polysaccharide. Glycobiology 13, 29-40.
- Berteau, O. and Mulloy, B., (2003). Sulfated fucans, fresh perspectives: structures, functions, and biological properties of sulfated fucans and an overview of enzymes active towardthis class of polysaccharide. Glycobiology, 13, 29-40.
- Bonnichon, V., Lightner, D.V., Bonami, J-R., (2006). Viral interference between infectious hypodermal and hematopoietic necrosis virus and white spot syndrome virus in *Litopenaeus vannamei*. Diseases in Aquatic Organisms, 72, 179-18.
- Briggs M.R.P. and Funge – Smith, S. J. (1996). The potential use of *Gracilaria* sp. meal diets for juvenile *Penaeus monodon* Fabricius. Aquaculture Research, 27:345-354.
- Cerenius, L. & Söderhäll, K. 2004. The prophenoloxidase-activating system in invertebrates. Immunological Reviews, 198, 116-126.
- Chang P.S.,Chen H.C. & Wang Y.C. (1998). Detection of white spot syndrome associated baculovirus in experimentally infected wild shrimp, crabs and lobsters by in situ hybridization. Aquaculture 164, 233–242.

- Chang, C. F., Su, M. S., Chen, H. Y., Lo, C. F., Kou, G. H. And Liao, I. C., (1999). Effect of dietary β -1, 3-glucan on resistance to white spot syndrome virus (WSSV) in postlarval and juvenile *Penaeus monodon*. Diseases in Aquatic Organisms, 36: 163-168.
- Chang, C-F., Su, M-S., Chen, H-Y., Liao, I-C., (2003). Dietary β -1, 3-glucan effectively improves immunity and survival of *Penaeus monodon* challenged with white spot syndrome virus. Fish and Shellfish Immunology, 15, 297-310
- Chang, P. S., Lo, C. F., Wang, Y. C. & Kou, G. H. 1996. Identification of white spot syndrome associated baculovirus WSBV target organs in the shrimp *Penaeus monodon* by in situ hybridization. Diseases of Aquatic Organisms, 7, 131-139.
- Chen, J. C. & Cheng, S. Y. 1993. Studies on hemocyanin and haemolymph protein levels of *Penaeus japonicus* based on sex, size and moulting cycle. Comp Biochem Physiol, 106B, 293–296.
- Chen, Y. Y., Chen, J. C., Lin, Y. C., Kitikew, S., Li, H. F., Bai, J. C., Tseng, K. C., Lin, B. W., Liu, P. C., Shi, Y. Z., Kuo, Y. H. & Chang, Y. H. 2014. Endogenous molecules induced by a pathogen-associated molecular pattern (PAMP) elicit innate immunity in shrimp. PLoS One. , 17;9(12), e115232.
- Chen, Y. Y., Chen, J. C., Lin, Y. C., Yeh, S. T. & Huang, C. L. 2015. White Shrimp *Litopenaeus vannamei* That Have Received *Gracilaria tenuistipitata* Extract Show Early Recovery of Immune Parameters after Ammonia Stressing. Mar. Drugs 13(6), 3606-3624.
- Chotigeat, W., Tongsupa, S., Supamataya, K. & Phongdara, A. 2004. Effect of fucoidan on disease resistance of black tiger shrimp. Aquaculture 233, 23–30.
- Chou H.Y., Huang C.Y., Lo C.F. & Kou G.H. (1998). Studies on transmission of white spot syndrome associated baculovirus (WSBV) in *Penaeus monodon* and *P. japonicus* via waterborne contact and oral ingestion. Aquaculture 164, 263–276.
- Citarasu T, Sivaram V, Immanuel G, Rout N, Murugan V.,(2006). Influence of selected Indian immunostimulant herbs against white spot syndrome virus (WSSV) infection in black tiger shrimp, *Penaeus monodon* with reference to haematological, biochemical and immunological changes. Fish and Shellfish Immunology,21:372–84.
- Citarasu, T., Sivaram, V., Immanuel, G., Rout, N. & Murugan, V. 2006. Influence of selected Indian immunostimulant herbs against white spot syndrome virus (WSSV) infection in black tiger shrimp, *Penaeus monodon* with reference to haematological, biochemical and immunological changes. Fish and Shellfish Immunology, 21, 372-384.
- Claydon K., Cullen B. & Owens L. (2004) OIE white spot syndrome virus PCR gives false-positive results in *Cherax quadricarinatus*. Diseases of Aquatic Organisms 62, 265–268.
- Cruz-Suarez, Tapia Salazar, M.; Nieto Lopez, M. and Rique, D. (2008). A Review of Effects of Macroalgae in Shrimp Feeds and Co-Culture. Programa de Maricultura, University of Mexico. 304-333pp.
- Di Leonardo V.A., Bonnichon V., Roch P., Parrinello N. & Bonami J.R. (2005) Comparative WSSV infection routes in the shrimp genera *Marsupenaeus* and *Palaemon*. Journal of Fish Diseases 28, 565–569.
- Du, H., Li, W-F., Xu, Z-R., Kil, Z-S., (2006). Effect of hyperthermia on the replication of white spot syndrome virus (WSSV) in *Procambarus clarkii*. Diseases in Aquatic Organisms, 71, 175-178.
- Durand S., Lightner D.V., Nunan L.M., Redman R.M., Mari J.& Bonami J.R. (1996) Application of gene probes as diagnostic tools for white spot baculovirus (WSBV) of penaeid shrimp. Diseases of Aquatic Organisms 27, 59–66.
- Escobedo-Bonilla C.M., Wille M., Alday-Sanz V., Sorgeloos P.,Pensaert M.B. & Nauwynck H.J. (2007) Pathogenesis of a Thai strain of white spot syndrome virus (WSSV) in SPF *Litopenaeus vannamei*. Diseases of Aquatic Organisms 74, 85–94.
- FAO (2006) Fishstat, Universal Software for Fishery Statistical Time Series, Version 2.3. FAO, Rome, Italy.
- Fegan, D.F., Clifford III, H.C., (2001). Health management for viral diseases in shrimp farms.In: Browdy, C.L. and Jory, D.E., editors. Proceedings of the special session on sustainable shrimp culture, Aquaculture. The world aquaculture society, BatonRouge, Louisiana, USA, 168-198 pp.
- Flegel TW.(1997). Major viral diseases of black tiger prawn (*Penaeus monodon*) in Thailand. World Journal of Microbiology and Biotechnology;13:433–42.
- Granja, C.B., Aranguren, L.F., Vidal, O.M., Aragón, L., Salazar, M., (2003). Does hyperthermia increase apoptosis in white spot syndrome virus (WSSV) –infected *Litopenaeus vannamei*? Diseases in Aquatic Organisms, 54, 73-78.
- Granja, C.B., Vidal, O.M., Parra, G., Salazar, M.,(2006). Hyperthermia reduces viral load of white spot syndrome virus in *Peaneus vannamei*. Diseases in Aquatic Organisms, 68, 175-180.

- He, N., Qin, Q., Xu, X., (2005). Differential profile of genes expressed in hemocytes of white spot syndrome virus resistant (*Penaeus japonicus*) by combining suppression subtractive hybridization and differential hybridization. *Antiviral Research*, 66, 39-45.
- Hernández-Corona, A., Nieves, I., Meckes, M., Chamorro, G., Barron, B.L., (2002). Antiviral activity of *Spirulina maxima* against herpes simplex virus type 2. *Antiviral Research*, 56, 279-285.
- Hernández-López, J., Golkxs-Galwin, T. & Vargas-Albores, F. 1996. Activation of the Prophenoloxidase System of the Brown Shrimp (*Penaeus californiensis* Holmes). *Comp. Biochem. Physiol.* , 113C(1), 61-66.
- Horowitz, A., and Horowitz, S., (2001). Disease control in shrimp aquaculture from a microbial ecology perspective. In: Browdy, C.L. and Jory, D.E., editors. Proceedings of the special session on sustainable shrimp culture, Aquaculture 2001. The World Aquaculture Society, Baton Rouge, Louisiana, USA, 199-218 pp.
- Huang, J., Yang, Y. & Wang, A. 2010. Reconsideration of phenoloxidase activity determination in white shrimp *Litopenaeus vannamei*. *Fish & Shellfish Immunology* 28, 240–244.
- Huang, P. Y., Kang, S. T., Chen, W. Y., Hsu, T. C., Lo, C. F., Liu, K. F. & Chen, L. L. 2008. Identification of the small heat shock protein, HSP21, of shrimp *Penaeus monodon* and the gene expression of HSP21 is inactivated after white spot syndrome virus (WSSV) infection. *Fish and Shellfish Immunology*, 25, 250-257.
- Huang, X.; zhou, H, 2006. The effect of *Sargassum fusiforme* polysaccharide extract on vibriosis resistance and immune activity of the shrimp *Fenneropenaeus chinensis* . *Fish & Shellfish Immunology*. 20: 750-7.
- Immanuel, G., Sivagnanavelmurugan, M., Marudhupandi, T., Radhakrishnan, S. & Palavesam, A. 2012. The effect of fucoidan from brown seaweed *Sargassum wightii* on WSSV resistance and immune activity in shrimp *Penaeus monodon* (Fab). *Fish and Shellfish Immunology* 32, 551–564.
- Inouye K, Miwa S, Oseko N, Nakano H, Kimura T, Momoyama K, et al. (1994). Mass mortalities of cultured kuruma shrimp, *Penaeus japonicus*, in Japan in 1993: electron microscopic evidence of the causative virus. *Fish Pathology*;29:149–58.
- Inouye K., Yamano K., Ikeda N., Kimura T., Nakano H., Momoyama K., Kobayashi J. & Miyajima S. (1996) The penaeid rod-shaped DNA virus (PRDV), which causes penaeid acute viremia. *Fish Pathology* 31, 39–45.
- Jaime Ceballos, B., Villareal, H., Garcia, T., Pérez Jar, L., Alfonso, E., 2005. Effect of *Spirulina platensis* meal as feed additive on growth, survival and development in *Litopenaeus schmitti* shrimp larvae. *Rev. Invest. Mar.* 26(3), 235-241.
- Kakoolaki, S., Sharifpour, I., Soltani, M., Ebrahimzadeh Mousavi, H., Mirzargar, S., Rostami, M., 2010. Selected morpho-chemical features of hemocytes in farmed shrimp, *Fenneropenaeus indicus* in Iran. *Iranian Journal of Fisheries Sciences* 9, 219-232.
- Karunasagar I., Otta S.K. & Karunasagar I. (1997) Histopathological and bacteriological study of white spot syndrome of *Penaeus monodon* along the west coast of India. *Aquaculture* 153, 9–13.
- Kasornchandra J., Boonyaratpalin S. & Itami T. (1998) Detection of white spot syndrome in cultured penaeid shrimp in Asia: microscopic observation and polymerase chain reaction. *Aquaculture* 164, 243–251.
- Kiatpathomchai W., Boonsaeng V., Tassanakajon A., Wongteerasupaya C., Jitrapakdee S. & Panyim S. (2001)A non-stop, single-tube, semi-nested PCR technique for grading the severity of white spot syndrome virus infections in *Penaeus monodon*. *Diseases of Aquatic Organisms* 47, 235–239.
- Kim C.S., Kosuke Z., Nam Y.K., Kim S.K. & Kim K.H. (2007) Protection of shrimp (*Penaeus chinensis*) against white spot syndrome virus (WSSV) challenge by double-stranded RNA. *Fish & Shellfish Immunology* 23, 242–246.
- Kou G.H., Peng S.E., Chiu Y.L. & Lo C.F. (1998) Tissue distribution of white spot syndrome virus (WSSV) in shrimp and crabs. In: Advances in Shrimp Biotechnology (ed. by T.W. Flegel), pp. 267–271. National Center for Genetic Engineering and Biotechnology, Bangkok.
- Kuda, T.; Tsunekawa, M.; Hishi, T. and Araki, Y. (2005). Antioxidant properties of dried kayamo-nori, a brown alga *Scytoniphon lomentaria* (Scytoniphonales, Phaeophyceae). *Food Chemistry*, 89: 617-622.
- Kumar, S., Ahamed, V., Sarathi, M., Basha An. & Hameed, A. 2008. Immunological responses of *Penaeus monodon* to DNA vaccine and its efficacy to protect shrimp against white spot syndrome virus (WSSV). *Fish and Shellfish Immunology* . , 24(4), 467-478.
- Laxmilatha P, Laxminarayana A, 2004, Fine structure of the haemocytes of the Indian white shrimp *Fenneropenaeus indicus* (H. Milne Edwards, 1837), *Crustaceana*, 77,14.
- Le Moullac, G. & Haffner, P. 2000. Environmental factors affecting immune responses in Crustacea. *Aquaculture*, 191 121–131.
- Lee, S.Y., Söderhäll, K., (2002). Early events in crustacean innate immunity. *Fish and Shellfish Immunology*, 12, 421-437.

- Lightner D.V. (1996) A Handbook of Pathology and Diagnostic Procedures for Diseases of Penaeid Shrimp. World Aquaculture Society, Baton Rouge, Louisiana, USA.
- Lightner D.V., Hasson K.W., White B.L. & Redman R.M. (1998) Experimental infection of western hemisphere penaeid shrimp with Asian white spot syndrome virus and Asian yellow head virus. Journal of Aquatic Animal Health 10, 271–281.
- Lightner, D.V. (2003). Exclusion of specific pathogens for disease prevention in a penaeid shrimp biosecurity program. In: Biosecurity in aquaculture production systems: Exclusion of pathogens and other undesirables (C.-S. Lee & P.J. O'Bryen, eds.). The World Aquaculture Society , Baton Rouge, LA, USA. pp. 81-116.
- Lightner, D.V., (2005). Biosecurity in shrimp farming: pathogen exclusion through use of SPF stock and routine surveillance. Journal of the World Aquaculture Society, 36, 229-247.
- Lin, Y. C., Yeh, S. T., Li, C. C., Chen, L. L., Cheng, A. C. & Chen, J. C. 2011 An immersion of *Gracilaria tenuistipitata* extract improves the immunity and survival of white shrimp *Litopenaeus vannamei* challenged with white spot syndrome virus. Fish & Shellfish Immunology, 31, 1239-1246.
- Liu, H., Jiravanichpaisal, P., Söderhäll, I., Söderhäll, K., 2006. Antipolysaccharide factor interferes with white spot syndrome virus replication in vitro and in vivo in the crayfish *Pacifastacus leniusculus*. J. Virol. 80, 10365-10371.
- Liu, Y., Jang, X. L., Lv, Q. & Guan, H. S. 2000. Effects of mannuronate polysaccharide on enzymes of *Penaeus chinensis* related with immune and hemolysis. Journal of Fisheries of China, 24(6), 549-553.
- Lo C.F., Leu J.H., Ho C.H., Chen C.H., Peng S.E., Chen Y.T., Chou C.M., Yeh P.Y., Huang C.J., Chou H.Y., Wang C.H. & Kou G.H. (1996b) Detection of baculovirus associated with white spot syndrome (WSBV) in penaeid shrimp using polymerase chain reaction. Diseases of Aquatic Organisms 25, 133–141.
- Lo C.F., Leu J.H., Ho C.H., Chen C.H., Peng S.E., Chen Y.T., Chou C.M., Yeh P.Y., Huang C.J., Chou H.Y., Wang C.H. & Kou G.H. (1996a) Detection of baculovirus associated with white spot syndrome (WSBV) in penaeid shrimp using polymerase chain reaction. Diseases of Aquatic Organisms 25, 133–141.
- Lorenzo, S., De Guerrini, S., Smith, V. J. & Ferrero, E. A. 1999. Effects of LPS injection on circulating haemocytes in crustaceans in vivo. Fish and Shellfish Immunology, 9, 31–50.
- Lotz, J.M. & Soto, M.A. (2002). Model of white spot syndrome virus (WSSV) epidemics in *Litopenaeus vannamei*. Diseases in Aquatic Organisms 50, 199–209.
- Luo, T., Li, F., Lei, K., Xu, X., 2007. Genomic organization, promoter characterization and expression profiles of an antiviral gene PmAV from the shrimp *Peaneus monodon*. Mol. Immunol. 44, 1516-1523.
- Luo, T., Zhang, X., Shao, Z. & Xu, X. (2003). PmAV, a novel gene involved in virus resistance of shrimp *Penaeus monodon*. FEBS Letters 551, 53–57.
- Marinho-Soriano, E.; Camara M.R.; Cabral T.M. and Carneiro, M.A.A. (2007) . Preliminary evaluation of the seaweed *Gracilaria cervicornis* (Rhodophyta) as a partial substitute for the industrial feeds used in shrimp (*Litopenaeus vannamei*) farming. Aquaculture Research, 38:182 – 187.
- Mustafa, M.G., Umino, T., Nakagawa, H., 1997. Limited synergistic effect of dietary Spirulina on vitamin C nutrition of red sea bream *Pagrus major*. J Mar Biotechnol 5, 129-132.
- Nadala E.C.B. & Loh P.C. (1998) A comparative study of three different isolates of white spot virus. Diseases of Aquatic Organisms 33, 231–234.
- Namikoshi, A., Wu, J.L., Yamashita, T., Nishizawa, T., Nishioka, T., Arimoto, M., Muroga, K., 2004. Vaccination trials with *Penaeus japonicus* to induce resistance to white spot syndrome virus. Aquaculture 229, 25-35.
- Otta S.K., Shubha G., Joseph B., Chakraborty A., Karunasagar I.& Karunasagar I. (1999) Polymerase chain reaction (PCR) detection of white spot syndrome virus (WSSV) in cultured and wild crustaceans in India. Diseases of Aquatic Organisms 38, 67–70.
- Pacheco, R., Ascencio, F., Zarain, M., Gómez, G. & Campa, A. 2011. Enhancement of superoxide dismutase and catalase activity in juvenile brown shrimp, *Farfantepenaeus californiensis* (Holmes, 1900), fed β -1.3 glucan vitamin E, and β -carotene and infected with white spot syndrome virus. Lat. Am. J. Aquat. Res., 39(3), 534-543.
- Pan, J., Kurosky, A., Xu, B., Chopra, A.K., Coppenhaver, D.H., Singh, I.P., Baron, S., (2000). Broad antiviral activity in tissues of crustaceans. Antiviral Research, 48, 39-47.
- Penaflorida V. D. and Golez N. V. (1996). Use of seaweed meals from *Kappaphycus alvarezii* and *Gracilaria heteroclada* as binders in diets for juvenile shrimp *Penaeus monodon*. Aquaculture, 143:393-401.
- Rajasekar, T., Deivasigamani, B., Kumaran, S., Sakthivel, M., Balamurugan, S., Jothi, E. G. & Priyadarshini, P. 2012. Antibacterial Activity of Cultivated Marine Seaweeds against Fish pathogenic bacteria *Vibrio harveyi*. Asian Pac J Trop Biomed 1-5.

- Rameshthangam, P., Ramasamy, P., (2007). Antiviral activity of bis(2-methylheptyl)phthalate isolated from *Pongamia pinnata* leaves against White spot syndrome virus of *Penaeus monodon* Fabricius. *Virus Research*, 126, 38-44.
- Robalino, J., Bartlett, T.C., Chapman, R.W., Gross, P.S., Browdy, C.L., Warr, G.W., (2007). Double-stranded RNA and antiviral immunity in marine shrimp: inducible host mechanisms and evidence for the evolution of viral counter-responses. *Dev. Comp. Immunol.* 31, 539-547.
- Roch, P., Yang, Y., Toubiana, M., Aumelas, A., (2008). NMR structure of mussel mytilin, and antiviral-antibacterial activities of derived synthetic peptides. *Developmental and Comparative Immunology*, 32, 227-238.
- Rodriguez-Bernaldo De Quiros, A., Lage-Yusty, M. & Lopez-Hernandez, J. 2010. Determination of phenolic compounds in macroalgae for human consumption. *Food Chem*, 121, 634-638
- Rout, N., Kumar, S., Jaganmohan, S. & Murugan, V. (2007). DNA vaccines encoding viral envelope proteins confer protective immunity against WSSV in black tiger shrimp. *Vaccine* 25, 2778-86.
- Roux, M.M., Pain, A., Klimpel, K.R., Dhar, A.K., (2002). The lipopolysaccharide and β -1, 3 glucan binding protein gene is upregulated in white spot virus-infected shrimp (*Penaeus stylostris*). *Journal of Virology*, 76, 7140-7149.
- Rudtanatip, T., Asuvapongpatana, A., Withyachumnarkul, B. & Wongprasert, K. 2014. Sulfated galactans isolated from the red seaweed *Gracilaria fisheri* target the envelope proteins of white spot syndrome virus and protect against viral infection in shrimp haemocytes. *Journal of General Virology* (2014) 95 1126–1134.
- Sanchez Campos, L.N.; Herrera, F.D.; Araujo, A.D.R.; Sanchez, R.A.G.; Partida, M.L.L.; Ruiz, M.D.A. and Navarro, A.F.L. (2014). *Litopenaeus vannamei* immunestimulated with *Macrocystis pyrifera* extract: improving the immune response against *Vibrio campbellii*. *Journal of Coastal Life Medicine*, 2(8): 617-624.
- Sahtout AH1, Hassan MD, Shariff M. 2001. DNA fragmentation, an indicator of apoptosis, in cultured black tiger shrimp *Penaeus monodon* infected with white spot syndrome virus (WSSV). *Dis Aquat Organ*. 9;44 (2):155-9.
- Sahul-Hameed A.S., Anilkumar M., Raj M.L.S. & Jayaraman K. (1998) Studies on the pathogenicity of systemic ectodermal and mesodermal baculovirus and its detection in shrimp by immunological methods. *Aquaculture* 160, 31–45.
- Sanchez-Martinez J.G., Aguirre-Guzman, G., Mejia-Ruiz, H., 2007, White Spot Syndrome Virus in cultured shrimp: A review. *Aquaculture Research* 38, 1339 – 1354.
- Schuur, A; M., (2003). Evaluation of biosecurity applications for intensive shrimp farming. *Aquaculture Engineering*, 28, 3-20.
- Shiroma, R., KoniShi, T., Uechi, S., TaKo, M., 2008. Structural study of fucoidan from the brown seaweed *Hizikia fusiformis*. *Food science and technology research* 14, 176-182.
- Sirirustananun, N., Chen, J. C., Lin, Y. C., Yeh, S. T., Liou, C. H., Chen, L. L., Sim, S. S. & Chiew, S. 2011. Dietary administration of a *Gracilaria tenuistipitata* extract enhances the immune response and resistance against *Vibrio alginolyticus* and white spot syndrome virus in the white shrimp *Litopenaeus vannamei*. *Fish and Shellfish Immunology* . 31, 848–855.
- Smith, V. J. & Soderhall, K. 1983. B-1,3-glucan activation of crustacean hemocytes in vitro and in vivo. *Biol Bull (Woods Hole)* 164, 299–314.
- Smolko, E.E and Lombardo, J.H, 2005. Virus inactivation studies using ion beams, electron and gamma irradiation. *Nuclear Instruments and Methods in Physics Research B* 236, 249-253.
- Sun, C. B., Wang, G. & Chan, S. F. 2015. Effects of artificial infection of *Litopenaeus vannamei* by *Micrococcus lysodeikticus* and WSSV on the activity of immunity related enzymes. *Fish and Shellfish Immunology* 46, 778-786.
- Sutthangkul, J., Amparyup, P., Charoensapsri, W., Senapin, S., Phiwsaiya, K. & Tassanakajon, A. 2015. Suppression of shrimp melanization during white spot syndrome virus infection. *Journal of Biological Chemistry*, 290 6470-6481.
- Takahashi, Y., Kondo, M., Itami, T., Honda, T., Inagawa, H., Nishizawa, T., Soma, G-I. Yokomizo, Y., (2000). Enhancement of disease resistance against penaeid acute viraemia and induction of virus-inactivating activity in haemolymph of kuruma shrimp, *Penaeus japonicus*, by oral administration of *Pantoea agglomerans* lipopolysaccharide (LPS). *Fish and Shellfish Immunology*, 10, 555-558.
- Tang, K.F.J., Durand, S.V., White, B.L., Redman, R.M., Mohney, L.L., Lightner, D.V., (2003). Induced resistance to white spot syndrome virus infection in *Penaeus stylostris* through pre-infection with infectious hypodermal and hematopoietic necrosis virus – a preliminary study. *Aquaculture*, 216, 19-29.

- Tsai J.M., Wang H.C., Leu J.H., Wang A.H.J., Zhuang Y., Walker P.J., Kou G.H. & Lo C.F. (2006) Identification of the nucleocapsid, tegument and envelope proteins of the shrimp white spot syndrome virus virion. *Journal of Virology* 80,3021–3029.
- Valderrama, D. & Anderson, J. L. 2011. Shrimp production review. Food and Resource Economics Department, University of Florida, USA. Santiago, Chile, November 6-9.
- Van De Braak, C. B. T. 2002. Haemocytic defence in black tiger shrimp (*Penaeus monodon*). PhD thesis, Wageningen University, Wageningen Institute of Animal Sciences. PO Box 338, 6700 AH Wageningen, The Netherlands., Pp.168.
- Van Hulten, MC. W., M. F. Tsai, C. A. Schipper, C. F. Lo, G. H. Kou and J. M. Valk, 2000, Analysis of a genomic segment of white spot syndrome virus of shrimp containing ribonucleotide reductase genes and repeat regions, *J. Gen. Virol.*, 81, 307-316.
- Venegas C.A., Nonaka L., Mushiake K., Nishizawa T. & Muroga K. (2000) Quasi-immune response of *Penaeus japonicus* to penaeid rod-shaped DNA virus (PRDV). *Diseases of Aquatic Organisms* 42, 83–89.
- Verbruggen, B., Bickley, L. K., Van Aerle, R., Bateman, K. S., Stentiford, G. D., Santos, E. M. & Tyler, C. R. 2016. Molecular Mechanisms of White Spot Syndrome Virus Infection and Perspectives on Treatments. *Viruses* 8, 23, 1-29.
- Wang C.H., Lo C.F., Leu J.H., Chou C.M., Yeh P.Y., Chou H.Y., Tung M.C., IotC.F., Su M.S. & Kou G.H. (1995) Purification and genomic analysis of baculovirus associated with white spot syndrome (WSBV) of *Penaeus monodon*. *Diseases of Aquatic Organisms* 23, 239–242.
- Wang H.C., Wang H.C., Leu J.H., Kou G.H., Wang A.H.J. & Lo C.F. (2007) Protein expression profiling of the shrimp cellular response to white spot syndrome virus infection. *Developmental and Comparative Immunology*, 31, 672–686.
- Wang Q., White B.L., Redman R.M. & Lightner D.V. (1999b) Per os challenge of *Litopenaeus vannamei* postlarvae and *Farfantepenaeus duorarum* juveniles with six geographic isolates of white spot syndrome virus. *Aquaculture* 170, 179–194.
- Wang Y.G., Hassan M.D., Shariff M., Zamri S.M. & Chen X. (1999a) Histopathology and cytopathology of white spot syndrome virus (WSSV) in cultured *Penaeus monodon* from peninsular Malaysia with emphasis on pathogenesis and the mechanism of white spot formation. *Diseases of Aquatic Organisms* 39, 1–11.
- Wang, D. L., Zuo, D., Wang, L. M., Sun, T., Wang, Q. & Zhao, Y. L. 2012. Effects of white spot syndrome virus infection on immuno-enzyme activities and ultrastructure in gills of *Cherax quadricarinatus*. *Fish and Shellfish Immunology* 32, 645-650.
- Wang, F. I. & Chen, J. C. 2006. Effect of salinity on the immune response of tiger shrimp *Penaeus monodon* and its susceptibility to *Photobacterium damsela* subsp. *damsela*. *Fish Shellfish Immunol.*, 20, 671-81.
- Wang, Q., Nunan, L.M. & Lightner, D.V. (2000). Identification of genomic variations among geographic isolates of white spot syndrome virus using restriction analysis and Southern blot hybridization. *Diseases in Aquatic Organisms* 43, 175-181.
- Wang, X. W. & Wang, J. X. 2013. Pattern recognition receptors acting in innate immune system of shrimp against pathogen infections. *Fish & Shellfish Immunology* 34, 981-989.
- Wen-Ying, S., Hui-Jun, Y., Hui-Feng, K. E. & Lan, Q. I. 2007. Effect of β -glucan on Enzyme Activity of Immunity in Pacific White Leg Shrimp *Litopenaeus vannamei*. *Fisheries Science*, 2007-07.
- Witteveldt, J. Vlak, J.M. and van Hulten, M.C., (2006). Increased tolerance of *Litopenaeus vannamei* to white spot syndrome virus (WSSV) infection after oral application of the viral envelope protein VP28. *Diseases of Aquatic Organisms*, 70:167-170.
- Witteveldt, J., Vermeesch, A.M., Langenhof, M., de Lang, A., Vlak, J.M., and van Hulten, M.C. 2005. Nucleocapsid protein VP15 is the basic DNA binding protein of white spot syndrome virus of shrimp. *Arch. Virol.* 150(6): 1121–1133.
- Witvrouw, M. and De Clercq, E., (1997). Sulfated polysaccharides extracted from sea algae as potential antiviral drugs. *General Pharmacology*. 29, 497-511.
- Wongprasert, K., Rudtanatip, T. & Praiboon, J. 2014. Immunostimulatory activity of sulfated galactans isolated from the red seaweed *Gracilaria fisheri* and development of resistance against white spot syndrome virus (WSSV) in shrimp. *Fish & Shellfish Immunology*, 36, 52-60.
- Wongteerasupaya C., Vickers J.E., Sriurairatana S., Nash G.L., Akarajamorn A., Boonsaeng V., Panyim S., Tassanakajon A., Withyachumarnkul B. & Flegel T.W. (1995) A non-occluded, systemic baculovirus that occurs in cells of ectodermal and mesodermal origin and causes high mortality in the black tiger prawn *Penaeus monodon*. *Diseases of Aquatic Organisms* 21, 69–77.

- Wu J.L., Nishioka T., Mori K., Nishizawa T., Muroga K., 2002, A time-course study on the resistance of *Penaeus japonicus* induced by artificial infection with white spot syndrome virus, Fish Shellfish Immunol, 13, 391–403.
- Wu, J. L. and K. Muroga., 2004. "Apoptosis does not play an important role in the resistance of 'immune' *Penaeus japonicus* against white spot syndrome virus." Journal of Fish Diseases 27(1): 15-21.
- Wu, J.L., Namikoshi, A., Nishizawa, T., Mushiake, K., Teruya, K. & Muroga, K. (2001). Effects of shrimp density on transmission of penaeid acute viremia in *Penaeus japonicus* by cannibalism and the waterborne route. Diseases in Aquatic Organisms 47, 129–135.
- Xu J., Han F. & Zhang X. (2007) Silencing shrimp white spot syndrome virus (WSSV) genes by siRNA. Antiviral Research 73, 126–131.
- Yan, X., Jie, A., Jing-Qiu, S., Ya-Dong, Y. & Jun-Qiang, Y. 2010. Cytochemical location of superoxide dismutase and peroxidase In different tissues of *Litopenaeus vannamei*. Acta Hydrobiologica Sinica, 34,2, 402-409.
- Yi, G., Qian, J., Wang, Z., Qi, Y., (2003). A phage-displayed peptide can inhibit infection by white spot syndrome virus of shrimp. Journal of General Virology, 84, 2545-2553.
- Yoganandhan, K., S., S., Murugan, V., Narayanan, R. B. & Sahul Hameed, A. S. 2003b. Screening the organs for early detection of white spot syndrome virus in *Penaeus indicus* by histopathology and PCR techniques. Aquaculture 215, 21-29.
- Zhan W.B., Wang Y.H., Fryer J.L., Yu K.K., Fukuda H. & Meng Q.X. (1998) White spot syndrome virus infection of cultured shrimp in China. Journal of Aquatic Animal Health 10, 405–410.
- Zhang X., Huang C., Tang X., Zhuang Y. & Hew C.L. (2004) Indentification of structural proteins from shrimp white spot syndrome virus (WSSV) by 2DE-MS. Proteins: Structure, Function and Bioinformatics 55, 229–235.

Abstract:

White spot disease (WSD) is one of the shrimp deadliest viral diseases that causes heavy losses on all shrimp of Penaeid family. Most invertebrates are lacking adaptive immune system and its defense is the innate immune system that is as cellular and humoral, but a like immune system against white spot virus in shrimp was been detected.

In this research, control and prevention of white spot disease in shrimp using algae *Gracilaria corticata*, investigated. About 300 *vannamei* shrimp were divided to 4 groups and fed by normal pellet and algae extract in 14 days. At the end of the fourteenth day half of the shrimp were challenged with acute white spot virus. After the fourteenth day in the days 0, 3, 9, 18 and 25 sampling were done from the hemolymph of survived shrimps and survival and immune factors were evaluated.

Based on results, in the challenge test, shrimps that fed with algae extract has a significant survival rate than shrimp fed with commercial diet. Increased the Immune Factors from day one to day 25 observed during the test. Greatest amount of Immune Factors THC, TPP, SOD, POD and PO in T1 group were observed in day 25 of tests. This situation was also true for group2 (T2), but its rate significantly was less than group 1(T1).

Ministry of Jihad – e – Agriculture
AGRICULTURAL RESEARCH, EDUCATION & EXTENSION ORGANIZATION
Iranian Fisheries Science Research Institute – Aquaculture Research Center- South of
Iran

Project Title : Evaluation of the immunity factors (THC, TPP, PO, SOD, POD) of shrimp fed with the algae *Gracilaria corticata* compared to shrimp fed without algae and exposed to white spot virus

Approved Number: 14-74-12-9451-94001

Author: Hossein Houshmand

Project Researcher : Hossein Houshmand

Collaborator(s): M. Ahangarzadeh, S. Reza S. Mortezaei, M. Afsharnasab, L. Mohseni nejad, M. Mohammadi doust, R. Banaderakhshan

Advisor(s): -

Supervisor: -

Location of execution: Khouzestan province

Date of Beginning : 2015

Period of execution : 1 Year & 4 Months

Publisher: Iranian Fisheries Science Research Institute

Date of publishing : 2017

All Right Reserved. No Part of this Publication May be Reproduced or Transmitted without indicating the Original Reference

**MINISTRY OF JIHAD - E - AGRICULTURE
AGRICULTURAL RESEARCH, EDUCATION & EXTENSION ORGANIZATION
Iranian Fisheries Science Research Institute -Aquaculture Research Center- South of
Iran**

Project Title:

Evaluation of the immunity factors (THC, TPP, PO, SOD, POD) of shrimp fed with the algae *Gracilaria corticata* compared to shrimp fed without algae and exposed to white spot virus

Project Researcher :

Hossein Houshmand

**Register NO.
51739**